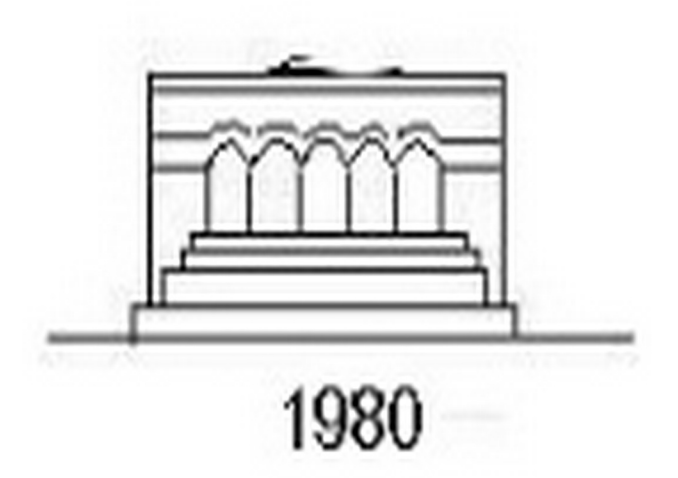
ՄԵԽԱՆԻԿԱ

МЕХАНИКА

MECHANICS



Мехапика

В. Н. АКОПЯН

О КОНТАКТЕ КРУГОВОГО ДИСКА С ДВУМЯ ПРЯМОУГОЛЬНИКАМИ ПРИ ТЕМПЕРАТУРНЫХ ВОЗДЕЙСТВИЯХ

Исследуется контактная задача о сжатии упругого кругового диска двумя неодинаковыми упругими же прямоугольниками с учетом температурных воздействии. Эти воздействия обусловлены наличием стационарного температурного поля, когда имеют место обычные условия теплового контакта.

Указанная задача при отсутствии температурного поля, когда сжичающие прямоугольники абсолютно жесткие, притом в зонах контакта действуют только нормальные напряжения, рассмотрена в [5].

В настоящей работе ата ладача в общей постановке, когда прямоугольники имеют различные геометрические и упругие параметры, а в песимметрических зопах контакта паряду с нормальными действуют также
тангенциальные контактиые напряжения, обсуждается, по-видимому, впервые. Решение задачи сведено х совместному решению бесконечных систем
линейных уравнений и сингулярных интегральных уравнений с ядрами,
представимыми суммой своей сингулярной части в виде ядра Коши и некоторых регулярных ядер. На основе аппарата многочленов Якоби и Чебышева последние уравнения сведены к эквивалентным регулярным бесконечным системам.

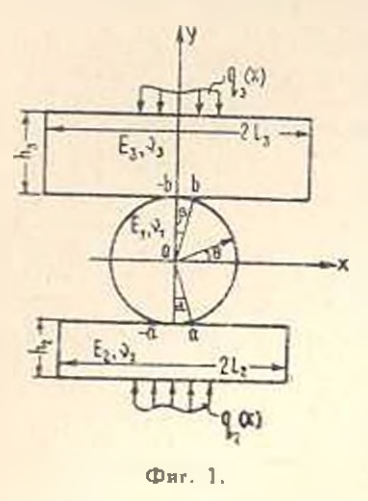
Проведено достаточно полное исследование задачи и при помощи численного анализа выяснены закономерности изменения важных мехонических характеристик: длины зоны контакта, меры сближения прямоугольников, а также контактных напряжении.

1. Пусть упругий круглый диск единичного радиуса сжимается двумя упругими неодинаковыми прямоугольниками, изготовленными из различных материалов и находящимися под действием симметричных о носительно оси оу нормальных нагрузок соответственно интенсивностей $q_*(x)$ (фиг. 1). Кроме того, система диск-прямоугольники подвержена также температурным воздействиям, находясь в стационарном температурном поле. При этом полагается, как в [3], что температурные режимы в диске и в прямоугольниках в зонах контакта удовлетворяют условиям обычного теплового контакта, на неконтактирующих частях границы диска и внутренних сторонах прямоугольников имеет место теплообмен с внеш-

Работа доложена на Всесоющой конференции по теории упругости п г. Едеване
 1979 г.

ней средой по закону Ньютона, а на наружных частях границы прямоугольников поддерживается нулевая температура.

Предположим, что диск входит в контакт с прямоугольниками по дугам единичной окружности $a \cdot b_1(a_1 = -ie^{-i})$ и $a_2 \cdot b_2(a_2 = -ie^{-i})$ и $a_2 \cdot b_3(a_2 = -ie^{-i})$



= ie^- , $b_a=ie^-$), которым на сторонах прямоугольников соответствуют интервалы (-a,a) и (-b,b). Далее предположим, что в зонах контакта действуют как нормальные, так и тангенциальные напряжения.

Нужно определить контактные напряжения, меру сближения прямоугольников относительно диска и с., то есть жесткость системы диск-прямоугольники, а также полудлину зоп контакта а и b.

Предварительно приведем решения вспомогательных задач об определении компонентов смещений граничных точек диска и прямоугольников, находящихся под действием произвольных внешних сил.

В первой задаче пусть круговой диск на участках своей границы $-\frac{\pi}{2} = \frac{\pi}{2} - \alpha$, $\frac{\pi}{2} = \frac{\pi}{2} - \alpha$ соответствующих контактным зонам, загружен силами $[\tau_1(\theta), p_1(\theta)]$ и $[\tau_2(\theta), -p_2(\theta)]$ соответственно, где $\tau_i(\theta)$ (i=1,2)— дейстнуют вдоль оси ox, а $p_i(\theta)$ (i=1,2)— вдоль оси oy.

Тогда, пользуясь известными результатами [2], непосредственно можем записать

$$2u_{1}u^{(1)}(\theta) = \frac{1}{2\pi} \int_{\frac{\pi}{2}-\pi}^{-\pi} \ln \frac{1}{2\sin \frac{1-\xi}{2}} \frac{1}{1+\frac{1}{2\pi}} \frac{1}{2\pi} \int_{\frac{\pi}{2}-\pi}^{-\pi} \ln \frac{1}{2\sin \frac{1-\xi}{2}} \frac{1}{1+\frac{1}{2\pi}} \frac{1}{2\pi} \int_{\frac{\pi}{2}-\pi}^{-\pi} \frac{1}{2\pi} \frac{$$

гле $x_1 = \frac{r_1 - 3\mu}{r_2 + \mu_1}$ — постоянная Мусхелишвили, $u^{(1)}(\theta)$ и $v^{(1)}(\theta)$ — соответственно горизонтальные и вертикальные смещения граничных точек диска, а

$$a_{1} = \frac{\frac{\epsilon}{2} + 3}{1 - \frac{1}{4} - 3} \left[-p_{2}(\xi) \sin \xi + \frac{\epsilon}{2}(\xi) \cos \xi \right] d\xi + \frac{1}{4} - \frac{1}{4} - \frac{1}{4} \left[p_{1}(\xi) \sin \xi + \frac{\epsilon}{2}(\xi) \cos \xi \right] d\xi$$

$$(1.2)$$

Во второй яспомогательной задаче определим смещение граничных точек прямоугольника $0 \le y \le h$: — $l \le x \le l^4$, на границе которого действуют нагрузки следующего типа:

где q(x), p(x) и $\tau(x)$ — наперед заданные функции, выражающие интен-

сивность приложенных к прямоугольнику нормальных и тангенциальных сил.

Решение этой задачи построим при помощи функции напряжения Эри F(x, y), связанной с напряженнями и перемещениями при помощи известных формул и представляемой формулой [1]

$$F(x, y) = \sum_{k} \cos \alpha_{k} x \left[A_{k} \cosh \alpha_{k} y + B_{k} \sinh \alpha_{k} y + B_{k} \sinh \alpha_{k} y + D_{k} \sinh \alpha_{k} y \right] +$$

$$+ \sum_{k} E_{k} \sin \beta_{k} y \left[-\sum_{k} \sinh \beta_{k} x - \beta_{k} l \cosh \beta_{k} x \right]$$

$$= \frac{(2k-1)}{h}, \quad \beta_{k} = \frac{2k}{h}$$

$$(1.4)$$

Здесь коэффициенты A_k , B_k , C_k D_k и E_k (k=1,2,...) — неизвестны и подлежат определению. Удовлетворяя граничным условиям (1.3), для определения неизвестных коэффициентов $E_k(k=1,2,...)$ получим бескопечную систему алгебранческих урапнений

$$Y_p = \sum_{k=0}^{\infty} A_{p,k} Y_k + N_p \quad (p = 1, 2, ...)$$
 (1.5)

где введены следующие обозначения:

$$Y_{p} = \beta_{p}^{2} \operatorname{ch} \qquad y_{p} = hx_{p}$$

$$A_{p,k} = \frac{16 \beta_{p}^{2}}{h \phi_{p}^{(1)}} \sum_{n=1}^{\infty} \frac{\beta_{k} x_{n}^{2} \left[\frac{1 + (-1)^{k + p + 1} \operatorname{th} v_{n} \right] - \phi_{n}^{(3)} \left((-1)^{k} + (-1)^{p + 1} \right) \right]}{(x_{n}^{2} + \beta_{k}^{2})^{2} (x_{n}^{2} + \beta_{p}^{2})^{2}}$$

$$N_{p} = \frac{4 \beta_{p}}{h \gamma_{p}^{(1)}} \sum_{n=1}^{\infty} \frac{(-1)^{n-1} \sigma_{k}}{(x^{2} - \beta_{p}^{2})} \qquad + \frac{1}{2 \beta_{p}^{2}}$$

$$+ \left(\phi_{n}^{(4)} - (-1)^{p+1} \phi_{n}^{(4)} - \frac{(-1)^{p+1} \phi_{n}^{(4)} - \phi_{n}^{(2)} \right) a_{n} \right]$$

$$+ \left(\phi_{n}^{(4)} - (-1)^{p+1} \phi_{n}^{(4)} - \frac{(-1)^{p+1} \phi_{n}^{(4)} - \phi_{n}^{(2)} \right) a_{n} \right]$$

$$+ \left(\phi_{n}^{(4)} - (-1)^{p+1} \phi_{n}^{(4)} - \frac{(-1)^{p+1} \phi_{n}^{(4)} - \phi_{n}^{(2)} \right) a_{n} \right]$$

$$+ \left(\phi_{n}^{(4)} - (-1)^{p+1} \phi_{n}^{(4)} - \frac{(-1)^{p+1} \phi_{n}^{(4)} - \phi_{n}^{(2)} \right) a_{n} \right]$$

$$+ \left(\phi_{n}^{(4)} - (-1)^{p+1} \phi_{n}^{(4)} - \frac{(-1)^{p+1} \phi_{n}^{(4)} - \phi_{n}^{(2)} \right) a_{n} \right]$$

$$+ \left(\phi_{n}^{(4)} - (-1)^{p+1} \phi_{n}^{(4)} - \frac{(-1)^{p+1} \phi_{n}^{(4)} - \phi_{n}^{(2)} \right) a_{n} \right]$$

$$+ \left(\phi_{n}^{(4)} - (-1)^{p+1} \phi_{n}^{(4)} - \frac{(-1)^{p+1} \phi_{n}^{(4)} - \phi_{n}^{(2)} \right) a_{n} \right]$$

$$+ \left(\phi_{n}^{(4)} - (-1)^{p+1} \phi_{n}^{(4)} - \frac{(-1)^{p+1} \phi_{n}^{(4)} - \phi_{n}^{(2)} \right) a_{n} \right]$$

$$+ \left(\phi_{n}^{(4)} - (-1)^{p+1} \phi_{n}^{(4)} - \frac{(-1)^{p+1} \phi_{n}^{(4)} - \phi_{n}^{(2)} \right) a_{n} \right]$$

$$+ \left(\phi_{n}^{(4)} - (-1)^{p+1} \phi_{n}^{(4)} - \frac{(-1)^{p+1} \phi_{n}^{(4)} - \phi_{n}^{(4)} \right) a_{n} \right]$$

$$+ \left(\phi_{n}^{(4)} - (-1)^{p+1} \phi_{n}^{(4)} - \frac{(-1)^{p+1} \phi_{n}^{(4)} - \phi_{n}^{(4)} \right) a_{n} \right]$$

$$+ \left(\phi_{n}^{(4)} - (-1)^{p+1} \phi_{n}^{(4)} - \frac{(-1)^{p+1} \phi_{n}^{(4)} - \phi_{n}^{(4)} - \phi_{n}^{(4)} \right) a_{n} \right]$$

$$+ \left(\phi_{n}^{(4)} - (-1)^{p+1} \phi_{n}^{(4)} - \frac{(-1)^{p+1} \phi_{n}^{(4)} - \phi_$$

Остальные коэффициенты, входящие в разложение $F(\mathbf{x}, \mathbf{y})$, выражаются через \mathbf{y}_{κ} , a_{κ} , b_{κ} и d_{κ} при помощи простых формул.

Положив

$$p(x) = \begin{vmatrix} p_1(x) & \text{при} & -a \leqslant x \leqslant a \\ 0 & \text{при} & l > |x| > a \end{vmatrix} \qquad \tau(x) = \begin{vmatrix} \tau_1(x) & \text{при} & -a \leqslant x \leqslant a \\ 0 & \text{при} & l > |x| > a \end{vmatrix}$$

для смещений граничных точек прямоугольника получим

$$u^{(2)}(x, 0) = -\frac{(1+v_1)(1-2v_2)}{E} \int_{-a}^{a} R_{11}(x, \xi) p_1(\xi) d\xi + \frac{2(1-v_2^2)}{E_a} \int_{-a}^{a} R_{12}(x, \xi) z_1(\xi) d\xi + r_2(x)$$

$$v^{(2)}(x, 0) = \frac{2(1-v_2^2)}{E_3} \int_{-a}^{a} R_{21}(x, \xi) p_1(\xi) d\xi - \frac{(1+v_2)(1-2v_2)}{E_3} \int_{-a}^{a} R_{22}(x, \xi) z_1(\xi) d\xi + r_2(x)$$

$$(1.6)$$

Здесь

$$R_{11}(x,\xi) = \frac{1}{2}\operatorname{sign}(x-z) + \frac{2(1-\sum_{i=1}^{\infty}\sum_{k=1}^{2}\frac{v_{ik}^{2}}{\operatorname{sh}^{2}v_{ik}^{2}-v_{ik}^{2}}}{\frac{1}{2}\operatorname{sin}\alpha_{k}x\cos\alpha_{k}^{2}}$$

$$R_{11}(x,\xi) = \frac{1}{2}\ln\left|\operatorname{ctg}\frac{-(x-1)}{4l}\right| + \frac{1}{2}\sum_{k=1}^{\infty}\left|\operatorname{cos}\alpha_{k}x\sin\alpha_{k}^{2}\right|$$

$$R_{22}(x,\xi) = \frac{1}{2}\ln\left|\operatorname{ctg}\frac{-(x-1)}{4l}\right| + \frac{1}{l}\sum_{k=1}^{\infty}\left|\operatorname{cos}\alpha_{k}x\cos\alpha_{k}^{2}\right|$$

$$R_{22}(x,\xi) = -\frac{1}{2}\operatorname{sign}(x-\xi) + \frac{2(1-v_{2})}{l(1-2v_{2})}\sum_{k=1}^{\infty}\frac{k}{\operatorname{sh}^{2}v_{k}-v_{k}^{2}} \times \frac{\cos\alpha_{k}x\sin\alpha_{k}x}{\frac{1}{2}}$$

$$r_{1}(x) = \frac{8(1-\frac{1}{2})}{2}\sum_{k=1}^{\infty}\sum_{k=1}^{\infty}\sum_{k=1}^{\infty}\frac{(1-\frac{1}{2})^{2}}{(2k+\frac{1}{2})^{2}}(-1)^{k}\alpha_{k}\sin\alpha_{k}x + \frac{2(1-v_{2})}{2}\sum_{k=1}^{\infty}\sum_{k=1}^{\infty}\sum_{k=1}^{\infty}\frac{\varphi_{k}^{(5)} + (-1)^{n}\varphi_{k}^{(4)}}{(\alpha_{k}^{2}+\frac{1}{2})^{2}}(-1)^{k+1}\alpha_{k}\cos\alpha_{k}x - \frac{1}{2}\sum_{k=1}^{\infty}\sum_{k=1}^{\infty}\sum_{k=1}^{\infty}\sum_{k=1}^{\infty}\frac{\varphi_{k}^{(5)} + (-1)^{n}\varphi_{k}^{(4)}}{(\alpha_{k}^{2}+\frac{1}{2})^{2}}(-1)^{k+1}\alpha_{k}\cos\alpha_{k}x - \frac{1}{2}\sum_{k=1}^{\infty}\sum_{k=1}^{\infty}\sum_{k=1}^{\infty}\sum_{k=1}^{\infty}\frac{\varphi_{k}^{(5)} + (-1)^{n}\varphi_{k}^{(4)}}{(\alpha_{k}^{2}+\frac{1}{2})^{2}}(-1)^{k+1}\alpha_{k}\cos\alpha_{k}x - \frac{1}{2}\sum_{k=1}^{\infty}\sum_{$$

$$\frac{2(1-v_2^2)}{E_2} \sum_{k=1}^{\infty} \frac{y_k^{(2)}b_k \cos x_k}{x_k} \\
= \frac{(1+v_2)}{E_2} \sum_{k=1}^{\infty} \frac{Y_k [\beta_k x \sinh \beta_k x + \sinh v_k \cosh \beta_k^2 x]}{\beta_k \cosh v_k} \\
= \frac{2(1-v_2^2)}{E_2} \sum_{k=1}^{\infty} \frac{\cosh \beta_k x}{\beta_k \cosh v_k} Y_k \\
= \frac{\sinh v_k \cosh v_k + v_k}{\sinh^2 v_k + v_k^2}; \qquad \frac{\sinh \beta_k x}{\sinh^2 v_k + v_k \cosh v_k} \\
= \frac{\sinh v_k \cosh v_k + v_k}{\sinh^2 v_k + v_k^2}; \qquad \frac{\sinh v_k + v_k \cosh v_k}{\sinh^2 v_k + v_k \cosh v_k}$$

Следует отметить, что в выражениях ядер R_i , (i,j=1,2) выделены их главные и регулярные части, притом последние представляются в виде довольно быстро сходящихся рядов.

2. Перейдем к решению основной задачи. Заменяя действие верхнего прямоугольника на диск неизвестными контактными напряжениями, придем к контактной задаче для диска и прямоугольника, условия контакта которой имеют вид [9]

$$v_1 + v_2 = f_1(\theta); \quad u_1 + u_2 = 0$$
 (2.1)

где (v_1, u_1) и (v_2, u_1) — пары вертикальных и горизонтальных перемещений граничных точек соответственно диска и прямоугольника в зонах контакта, δ_1 — мера сближения этих тел. $\mathfrak{p}_1(\theta) = 1 + \sin\theta$ — функция, описывающая форму границы диска.

Для определения перемещении будем пользоваться аддитивными уравнениями термоупругости

$$v_i = v^{(T)} + v^{(Y)}, \quad u_i = u_i^{(T)} + u_i^{(Y)} \quad (i = 1, 2)$$
 (2.2)

Эдесь верхними индексами «7» и «У» обозначены соответственно тепловые и упругие перемещения контактирующих тел. Выше мы получили формулы (1.1) и (1.6) для упругих перемещении диска и прямоугольника, выраженных через неизвестные контактиме напряжения, то есть

$$v^{(i)} = v^{(i)}; \quad u^{(i)} = u^{(i)} \quad (i = 1, 2)$$

После гого, как известна температура в диске $T_1(r,\theta)$ и в прямоугольнике $T_1(x,y)$, легко можно записать выражения тепловых перемещений [3]

$$u_1^{(r)} = k_1 \sum_{n=0}^{\infty} a_n \frac{\cos((n+1)\theta)}{n+1}, \qquad v_1^{(r)} = k_1 \sum_{n=0}^{\infty} a_n \frac{\sin((n+1)\theta)}{n+1}$$

$$u_2^{(r)} = k_2 \sum_{n=1}^{\infty} \frac{B_n}{a_n} (1 + th z_n (1+h)) \cos z_n x$$

$$v_2^{(r)} = k_2 \sum_{n=1}^{\infty} \frac{B_n}{a_n} (1 + th z_n (1+h)) \cos z_n x$$

гае $\kappa_i = \frac{2\sigma_1(1-v)}{E_i}$, $\sigma_2(i=1,2)$ — коэффициенты теплового расширения диска и прямоугольника соответственно, а σ_n и B_n (n=1,2,...) определяются из бесконечной системы (2.2).

Далее, ввиду малости размеров контактных зон по сравнению с характерными размерами тел и того, что при их сжатии дуговые и прямолинейные отрезки сливаются в единый контактный интервал, в зонах контакта примем $x=1\cdot 0$. На основе последнего дуговые отрезки зоны контакта диска a_1 b_1 и a_2 b_2 отождествляем с прямолинейными зонами контакта (-a,a) и (-b,b).

Подставляя значения упругих перемещений из (1.1) и (1.6) в условие контакта (2.1) и учитывая только что сказанное, получим следующую систему уравнений:

$$\int_{-a}^{a} Q_{11}(x, \xi) p_{1}(\xi) d\xi + \int_{-a}^{a} Q_{12}(x, \xi) \tau_{1}(\xi) d\xi + \int_{-b}^{b} Q_{13}(x, \xi) p_{1}(\xi) d\xi + \int_{-b}^{b} Q_{14}(x, \xi) \tau_{1}(\xi) d\xi + \int_{-b}^{b} Q_{21}(x, \xi) p_{1}(\xi) d\xi + \int_{-a}^{b} Q_{22}(x, \xi) \tau_{1}(\xi) d\xi + \int_{-a}^{b} Q_{23}(x, \xi) p_{2}^{*}(\xi) d\xi + \int_{-b}^{b} Q_{24}(x, \xi) d\xi + \int_{-b}^{b} Q_{24}(x, \xi)$$

Аналогично, из условия контакта диска с верхним прямоугольником получим еще одну бесконечную систему алгебранческих уравнений и систему функциональных уравнений, подобных системам (1.5) и (2.3). В случае, когда прямоугольники одинаковые, последние сястемы полностью совпадают с (1.5) и (2.3).

Для простоты далее рассмотрим именно этот случай, то есть в (2.3) примем $p_1(x) = p_1^*(x) = p_2(x-\pi); \ \tau_1(x) = -\tau^*(x) = -\tau_0(x-\pi);$ $q_2(x) = q_3(x) = q(x); = \lambda$ и a = b. Тогда система функциональных уравнений (2.3) вырождается в следующую систему интегральных уравнений:

$$- i \int_{1}^{a} \left[sign(x - z) + L_{11}(x, \xi) \right] p_{1}(\xi) d\xi +$$

$$+ i \int_{2}^{a} \left[ln \frac{1}{|x - \xi|} + L_{12}(x, \xi) \right] z_{1}(\xi) d\xi = F_{1}(x)$$
(2.4)

$$\lambda_{2} \int_{-a}^{a} \left[\ln \frac{1}{|x - \xi|} + L_{21}(x, \xi) \right] p_{1}(\xi) d\xi +$$

$$+ \lambda_{1} \int_{-a}^{a} \left[\operatorname{sign}(x - \xi) + L_{22}(x, \xi) \right] \tau_{1}(\xi) d\xi = F_{2}(x) \quad (-a < x < a)$$

CAC

$$L_{12}(t) + \theta_{2}^{(1)}; \qquad \theta_{1}^{(1)} = \frac{2(1-t)}{\pi E_{1}}; \qquad \theta_{1}^{(2)} = \frac{1+(1-2v_{1})}{2E_{1}} \qquad (i=1,2)$$

$$L_{12}(x,\xi) = \frac{\pi \theta_{2}^{(1)}}{h_{2}} \sum_{k=1}^{\infty} (\varphi_{k}^{(5)} - 1) \frac{\sin z_{k} x \cos z_{k} \xi}{z_{k}} - f_{2}(x,\xi)$$

$$L_{12}(x,\xi) = \frac{\pi \theta_{2}^{(1)}}{h_{2}} \sum_{k=1}^{\infty} (\varphi_{k}^{(2)} - 1) \frac{\sin z_{k} x \sin z_{k} \xi}{z_{k}} - f_{3}(x,\xi)$$

$$L_{21}(x,\xi) = \frac{-\theta_{2}^{(1)}}{h_{2}} \sum_{k=1}^{\infty} (\varphi_{k}^{(5)} - 1) \frac{\cos z_{k} x \cos z_{k} \xi}{z_{k}} + (x,\xi)$$

$$f_{2}(x,\xi) = \frac{\theta_{1}^{(1)}}{\pi h_{2}} [x - \xi - (\xi - |x - \xi - \xi|) \operatorname{sign}(x - \xi - \xi)]$$

$$f_{3}(x,\xi) = \frac{\theta_{1}^{(2)}}{\pi h_{2}} [x - \xi - (\xi - |x - \xi - \xi|) \operatorname{sign}(x - \xi - \xi)]$$

$$F_{1}(x) = -u_{1}^{(T)} - u_{2}^{(T)} - 2\pi \theta_{1}^{(1)} z_{1} \sin x - r_{1}(x)$$

$$F_{2}(x) = \delta - v_{1}^{(T)} - v_{2}^{(T)} + 2\pi \theta_{1}^{(1)} z_{1} \cos x - r_{2}(x) - f_{1}(x - \frac{\pi}{2})$$

Таким образом, для определения неизвестных контактных напряжений $p_1(x)$ и $\tau_1(x)$ нужно решить систему интегральных уравнений (2.4) совместно с бесконечной системой алгебраических уравнений (1.5).

Перейдем к решению этих уравнений. Умножая первое из уравнений (2.4) на мнимую единицу! и складывая со вторым, относительно $p(x) = p_1(x) + i\tau_1(x)$ получим интегральное уравнение. Далее, дифференцируя это уравнение по x, получим следующее сингулярное интегральное уравнение:

$$-i\pi \operatorname{th} \operatorname{pr} p(x) + \int \left[\frac{1}{\varepsilon - x} - A(x, \varepsilon) \middle| p(\varepsilon) d\varepsilon + \int_{-a}^{a} B(x, \varepsilon) \overline{p(\varepsilon)} d\varepsilon = h(x) \quad (-a < x < a)$$

$$(2.5)$$

Здесь

$$A(\mathbf{x}, \mathbf{t}) = \frac{1}{2} \left[\frac{\partial L_{21}(\mathbf{x}, \mathbf{t})}{\partial \mathbf{x}} - \frac{\lambda_1}{\lambda_2} \frac{\partial L_{22}(\mathbf{x}, \mathbf{t})}{\partial \mathbf{x}} + \frac{i \left(\frac{\partial L_{12}(\mathbf{x}, \mathbf{t})}{\partial \mathbf{x}} - \frac{\partial L_{11}(\mathbf{x}, \mathbf{t})}{\partial \mathbf{x}} \right) \right]$$

$$B(\mathbf{x}, \mathbf{t}) = \frac{1}{2} \left[\frac{\partial L_{21}(\mathbf{x}, \mathbf{t})}{\partial \mathbf{x}} - \frac{\lambda_1}{\lambda_2} \frac{\partial L_{22}(\mathbf{x}, \mathbf{t})}{\partial \mathbf{x}} - \frac{\lambda_2}{\lambda_2} \frac{\partial L_{22}(\mathbf{x}, \mathbf{t})}{\partial \mathbf{x}} - \frac{\lambda_2}{\lambda_2} \frac{\partial L_{22}(\mathbf{x}, \mathbf{t})}{\partial \mathbf{x}} \right]$$

$$- \left[\left(\frac{\partial L_{12}(\mathbf{x}, \mathbf{t})}{\partial \mathbf{x}} - \frac{\lambda_2}{\lambda_2} \frac{\partial L_{11}(\mathbf{x}, \mathbf{t})}{\partial \mathbf{x}} \right) \right]$$

$$h(\mathbf{x}) = \frac{1}{\lambda_2} \left[F_2(\mathbf{x}) + i F_1(\mathbf{x}) \right]$$

а и определяется из грансцепдентного уравнения

$$\pi \text{ th pc} = (\theta_1^{(2)} + \theta_2^{(3)})/(\theta_2^{(1)} + \theta_2^{(1)})$$

Функция p(x) должна удовлетворять условию равновесия

$$p(x) dx = p_0 (2.6)$$

где Ра — равнодействующая внешних сид.

Введем безразмерные переменные

$$t = \frac{x}{a}$$
; $s = \frac{\xi}{a}$; $\frac{ap(at)}{p_n} = \lambda(t)$

После элементарных выкладок уравнение (2.5) перепишем в форме

$$- i = \operatorname{th} \operatorname{pr} \lambda(t) + \int_{-1}^{1} \left| \frac{1}{s-t} + A^{*}(t, s) \right| \lambda(s) ds + \int_{-1}^{1} B^{*}(t, s) \overline{\lambda(s)} ds = h^{*}(t)$$

$$(2.7)$$

FJE

$$A^*(t, s) = aA(at, as); B^*(t, s) = aB(at, as); h^*(t) = \frac{ah(at)}{p_0}$$

При этом уравнение равновесия примет вид

$$\int_{-1}^{1} 7(s) ds = 1 \tag{2.8}$$

Далее, исходя из результатов работ [4—7], решение уравнения (2.7) представим в виде

$$Z(t) = \sum_{n=0}^{\infty} \frac{Z_n p_n^{(n-1)}(t)}{\omega(t)}; \qquad z = -\frac{1}{2} - i\mu; \qquad \omega(t) = (1-t)^{-1}(1+t)^{-1} \quad (2.9)$$

Здесь $p^{(a)}$ (t) (n=0, 1, ...) — многочлены Якоби, ортогональные на интервале (-1, 1) с весом $m^{-1}(t)$, а Z (n=0, 1, ...) — неизвестные комплексные коэффициенты, подлежащие определению.

Для дальнейшего нам понадобится соотношение [8]

$$-i\pi \text{ th } \mu = \frac{p_n^{(\alpha,\beta)}(t)}{\omega(t)} + \int_{-1}^{1} \frac{p_n^{(\alpha,\beta)}(s)}{(s-t)\,\omega(s)} \, ds = \frac{2}{\pi \cosh \mu \pi} p_n^{(\alpha,\beta)}(t) \quad (2.10)$$

Подставляя в выражение N_p из (1.5) и в (2.7) выражение $\chi(t)$ из (2.9), используя соотношение (2.10) и условие ортогональности многочленов Якоби, после элементарных выкладок по известной процедуре относительно коэффициентов Y_m и Z_m (m=1,2...) получим следующую систему бесконечных алгебранческих уравнений:

$$Z_{m} = h_{m} \left[\sum_{n=1}^{\infty} \frac{A_{m,n}^{(1,1)}}{n} Z + \sum_{n=1}^{\infty} \frac{A_{m}^{(1,2)}}{n} Z + \sum_{n=1}^{\infty} A_{m,n}^{(1,3)} Y_{n} + C^{(1)} \right]$$

$$Y_{m} = \sum_{n=1}^{\infty} A_{m,n}^{(2,1)} Z_{n} + \sum_{n=1}^{\infty} A_{m,n}^{(2,3)} Y_{n} + C_{m}^{(2)}$$

$$(2.11)$$

Здесь внедены обозначения

$$A_{m,n}^{(1,1)} = -\int_{-1}^{1} (t) w(t) dt \int_{-1}^{\infty} \frac{\partial A_{n}(t,s)}{\partial s} \times (1+s)^{n-1} (1-s)^{n-1} ds$$

$$\times (1+s)^{n-1} (1-s)^{n-1} \int_{-1}^{\infty} \frac{\partial B_{n}(t,s)}{\partial s} \times (1+s)^{n-1} (1-s)^{n-1} \int_{-1}^{\infty} (s) ds$$

$$\times (1+s)^{n-1} \int_{-1}^{\infty} \frac{\partial B_{n}(t,s)}{\partial s} \times (1+s)^{n-1} \int_{-1}^{\infty} (s) ds$$

$$= -\frac{8(1-v_{2}^{2})\beta_{n}}{E_{2}} \sum_{k=1}^{\infty} \left[(-1)^{k-1} \frac{(\varphi_{k}^{(5)} + (-1)^{n} \varphi_{k}^{(4)})}{(\alpha_{k}^{2} + \beta_{n}^{2})^{2}} + \frac{(-1)^{n} \varphi_{k}^{(4)}}{(\alpha_{k}^{2} + \beta_{n}^{2})^{2}} \right]$$

$$= -\frac{(-1)^{n}}{(\alpha_{k}^{2} + \beta_{n}^{2})^{2}} \int_{-1}^{\infty} \frac{\cos \alpha_{k} (t,s)}{(\alpha_{k}^{2} + \beta_{n}^{2})^{2}} dx + \frac{(-1)^{n} \varphi_{k}^{(4)}}{(\alpha_{k}^{2} + \beta_{n}^{2})^{2}} dx$$

$$+\frac{1}{E_{2}}\int_{-1}^{1} \frac{\left[\left(\beta_{n}xa - \mathbf{p}_{n} \operatorname{th} \mathbf{p}_{n}\right) \operatorname{ch} \beta_{n}xa - \left(1 - 2\mathbf{v}_{2}\right) \operatorname{sh} \beta_{n}xa\right]}{\operatorname{ch} \mathbf{p}_{n}} \frac{p_{m}^{(-\alpha, -\beta)}\left(x\right)}{\omega^{-1}\left(x\right)} dx$$

$$= \frac{2\beta_{m}p_{0}}{lh_{m}^{-1}}\sum_{i=1}^{\infty} \frac{\left(-1\right)^{k-1}a_{k}}{a_{k}^{2} + \beta_{m}^{2}} \left[\left(-\varphi_{k}^{(5)} + \left(-1\right)^{m+1}\varphi_{k}^{(4)} - \frac{1}{2\beta_{m}^{2}}\right)\int_{-1}^{1} \frac{\cos a_{k}axp_{n}^{(3, -\beta)}\left(x\right)}{\omega\left(x\right)} dx - \frac{1}{2\beta_{m}^{2}}\int_{-1}^{1} \frac{\sin a_{k}axp_{n}^{(3, -\beta)}\left(x\right)}{\omega\left(x\right)} dx \right]$$

$$= \frac{1}{2\pi}\int_{-1}^{1} \left[\left(-1\right)^{m+1}\left(-1\right) \operatorname{ch} \frac{1}{2\pi}\int_{-1}^{1} \left(-1\right) \operatorname{ch} \frac{1}$$

Астко видеть, что подставляя в (2.8) выражение функции $\chi(t)$ из (2.9), из условия ортогональности сразу находим $Z_{i} = \text{сh}_{i}\pi/\pi$.

Теперь, следун работам [4—7], систему (2.11) исследуем на регулярность. С этой целью обозначим

$$Z_m = X_m^{(1)} m^{(1-\epsilon)}, \quad Y_m = X_m^{(2)} \ (m-1, \, 2, ...)$$
 rae $0 < \epsilon < rac{1}{2}.$

Тогда система (2.11) примет вид

$$X_{m}^{(1)} = \frac{h_{m}}{m} m^{\epsilon} \left[\sum_{n=1}^{\infty} \frac{A_{m,n}^{(1)}}{n} X_{n}^{(1)} + \sum_{n=1}^{\infty} \frac{A_{m,n}^{(1,2)}}{n} X_{n}^{(1)} + \sum_{n=1}^{\infty} A_{m,n}^{(1,2)} X_{n}^{(2)} + C^{(1)} \right]$$

$$X_{m}^{(2)} = \sum_{n=1}^{\infty} A_{m,n}^{(1)} n^{1-\epsilon} X_{n}^{(1)} + \sum_{n=1}^{\infty} A_{m,n}^{(2,2)} n^{1-\epsilon} X_{n}^{(1)} + \sum_{n=1}^{\infty} A_{m,n}^{(2,3)} X_{n}^{(2)} + C^{(2)}$$

$$(2.12)$$

 ${f T}$ ак как $\partial A^*(t,s)/\partial s;\;\partial B^*(t,s)/\partial s\in L_s(-1,1),\;$ и при больших k

$$\int_{-1}^{1} e^{i\alpha_k x} \frac{p_{ni-1}^{(-\alpha_k - \beta)}}{\omega(x)} dx \sim o(\alpha_k^{-3/2})$$

то используя асимптотические представления и $p^{(a)}$ (x) для больших m, легко доказать, что при больших m имеют место следующие соотношения:

$$\frac{h_{m}}{m} m^{-1} \left[\sum_{n=1}^{\infty} \frac{|A_{m,n}^{(1,1)}|}{n} - \sum_{n=1}^{\infty} \frac{|A_{m,n}^{(1,2)}|}{n^{-1}} - \sum_{n=1}^{\infty} |A^{(1,3)}| \right] - o(m^{-1})$$

$$\sum \left[A^{(2,1)} | n^{-1} - \sum_{n=1}^{\infty} |A^{(2,3)}| - o(m^{-1/2+\epsilon}) \right]$$

то есть система (2.12) квазивнолие регулярна.

Для определения размера контактной зоны будем пользоваться условнем испрерывности контактных напряжений в концах этой зоны, то есть уравнением

$$Re[X(=1)] = 0$$

- 3. Рассмотрим некоторые частные случан обсуждаемой задачи.
- а) Сначала бесконечно увеличим длину прямоугольников. Тогда на системы (1.5) будем иметь $Y_n = 0$ (n = 1,2,...), а из интегрального уравнения (2.7) получим уравнение, соотнетствующее термоупругой контактной задаче для кругового диска, сжатого двумя одинаковыми упругими полосами. Далее, устремляя h и Годновременно к бесконечности и считая тангенциальные напряжения отсутствующими в зонах контакта, приходим к следующему интегральному уравнению:

$$\int_{-1}^{1} \ln \frac{1}{|t-s|} \chi(s) ds + \int_{1}^{1} K(t-s) \chi(s) ds = h(t) \quad (-1 < t < 1) \quad (3.1)$$

где

$$K(t) = ap_1(at); \quad K(t) = \frac{a(1)}{L_2} a \ln|at \cot at \cot at = 0$$

$$h(t) = \frac{a}{L_2} \left[-v_1^{(T)} - v_2^{(T)} + 2 - \theta_1^{(1)} a_1 \cos at - f_1(at - \pi/2) \right]$$

Представляя решение уравнения (3.1) в виде

$$Z(t) = \sum_{n=0}^{\infty} \frac{X_n T_{2n}(t)}{1 - t^2} \quad (-1 < t < 1)$$

гле $T_n(t)$ (n=0,1,...) — многочлены Чебышева первого рода, по известной процедуре приходим к вполне регулярной бесконечной системе

$$X_{m} = \sum_{n=0}^{\infty} A_{m,n} X_{n} + M_{m} \quad (m = 1, 2,...)$$
 (3.2)

где

$$A_{0,n} = -\frac{1}{\pi^2 \ln 2} \int_{-1}^{1} \frac{dt}{\sqrt{1 - t^2}} \int_{-1}^{1} K(t - s) \frac{T_{2n}(s)}{\sqrt{1 - s^2}} ds$$

$$M_0 = \frac{1}{\pi^2 \ln 2} \int_{-1}^{1} \frac{h(t)}{\sqrt{1 - t^2}} dt$$

$$A_{m,n} = -\frac{4m}{\pi} \int_{-1}^{1} \frac{T_{2n}(t)}{\sqrt{1 - t^2}} dt \int_{-1}^{1} K(t - s) \frac{T_{2n}(s)}{\sqrt{1 - s^2}} ds$$

$$M_m = \frac{4m}{\pi} \int_{-1}^{1} \frac{h(t) T_{2n}(t)}{\sqrt{1 - t^2}} dt \qquad (n = 0, 1, ..., m = 1, 2, ...)$$

Бесконечная система (3.2) вполне регулярна при условия

$$\frac{\theta_1^{(1)}}{(\theta_1^{(1)} + \theta_2^{(1)})} \left(\frac{a^2 \cos 2a}{\sin^2 2a} - \frac{1}{4} \right) < \frac{\pi}{2}$$

в противном случае квазивполне регулярна.

6) Рассмотрим еще один частный случай, когда упругий диск сжимается двумя одинаковыми упругими балками, являющимися предельными случаями прямоугольников, находящихся под действием распределенмой нагрузки интенсивности 4(x), симметричной относительно оси оу.

Под действием контактного давления $p_1(x)$ и нагрузки q(x) точки вейтральной оси балки получают перемещения

$$v_{\mathfrak{g}}(x) = \frac{1}{D} \int_{-a}^{a} G(x,\,\overline{\epsilon}) \, p_{\mathfrak{g}}(\overline{\epsilon}) \, d\overline{\epsilon} - \frac{1}{D} \int_{-a}^{a} G(x,\,\overline{\epsilon}) \, q(\overline{\epsilon}) \, d\overline{\epsilon}$$
 (3.3)

где D — жесткость балки на изгиб, 2! — данна балки и

$$G(x, z) = \frac{|x - z|^3}{12} \quad (-a \leqslant x, z \leqslant a)$$
 (3.4)

Нужно отметить, что при получении (3.4) было использовано уравнение нагиба балки без учета влияния поперечных сдвигов и нормальных напряжений между волокнами. Интегральное уравнение задачи в обсуждаемом случае примет вид

$$\int_{a}^{a} \left[\ln \frac{1}{\left| 2 \sin \frac{\theta - \varphi}{2} \right|} + K(\theta, \varphi) \right| p_{k}(\varphi) d\varphi - f(\theta) \quad (-a < \theta < a) \quad (3.5)$$

110

$$K(\theta, \varphi) = \ln \cos \frac{\theta - \varphi}{2} - \sin \theta \cos \varphi + \frac{G(\theta, \varphi)}{\theta_1^{(1)}D}$$

$$f(\theta) = \frac{1}{\theta_1^{(1)}} \left[\delta - 1 + \cos \theta + \frac{1}{D} \int_{-1}^{1} G(\theta, \varphi) \, q(\varphi) \, d\varphi \right]$$

Решение (3.5) ищем в виде разложения

$$P_1(\theta) = \frac{\cos \theta/2}{|2(\cos \theta - \cos z)|} \sum_{n=0}^{\infty} X_n T_{2n} \left(\frac{\sin \theta/2}{\sin \alpha/2}\right) \quad (-\alpha < \theta < z) \quad (3.6)$$

Учитывая условия равновесия

$$\int_{-1}^{1} p_1(z) d\varphi = \int_{-1}^{1} q(z) dz - p_0$$

из (3.6) найдем $X_1 = p_{al}\pi$

Подставляя выражение $p_1(0)$ на (3.6) в (3.5), после алементарных преобразований опять-таки приходим к регулярной бесконечной системе типа

$$\bar{X}_m = \sum_{m=1}^{\infty} B_{m_m} = \frac{X_m}{2n} + C_m \qquad (m = 1, 2, ...)$$
 (3.7)

Условие полное регулярности системы (3.7) имеет вид

$$\frac{2}{3\cos^2 a/2} \left(\sin a \cos a + \frac{1}{4\cos^2 a} + \frac{a}{610D} \right) < \frac{a}{4}$$

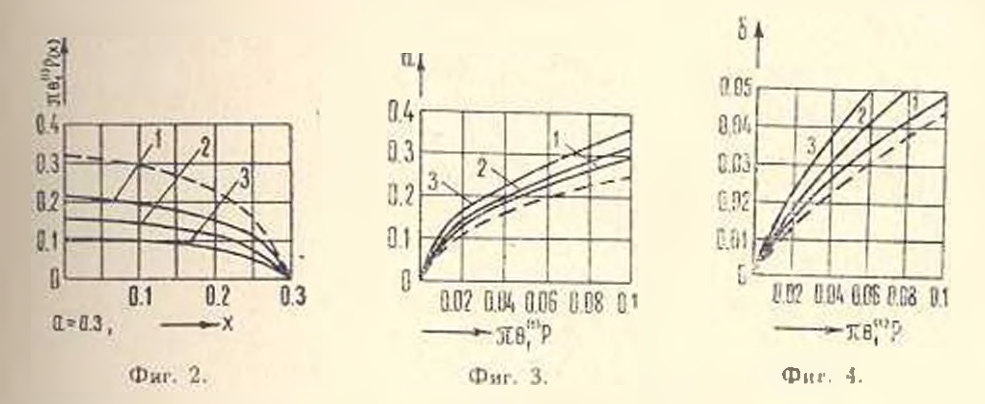
При остальных значениях параметров система квазивполие регулярна.

В случае прямоугольников достаточно больших размеров, а именном когда $1=.=8\pi$, числовые расчеты приведены для различных значений полудлины контактной зоны, притом прямоугольники нагружены равномерно распеределенными силами интенсивности ρ . При этом для упругих и тепловых характеристик были приняты следующие значения: $E_1: E_2=-0.5; 1; 2;$ $e_2=0.3; e_3=26\cdot 10^{-6}1/oC;$ $e_2=17\cdot 10^{-6}1/oC.$

Результаты вычислений, проведенных на ЭВМ «Наири-2», приведены в виде графиков (фиг. 2, 3, 4) и табл. 1, где через δ_i и p_i (i=0,1) обозначены взаимное сближение контактирующих тел и приведенные вдавливающие силы соответственно при нулевой температуре и при 100 С внешней среды. Анализ результатов таблицы показывает, что температура, вообще говори, незначительно влияет на распределение контактных напряжений и на другие характеристики контакта.

Исследованы также зависимости распределения контактных напряжений (фиг. 2), полудлины контактной зоны а (фиг. 3) и меры взаимного сближения δ (фиг. 4) от приложенных сил ρ , которые представлены в виде графиков. На этих графиках пунктирные линии соответствуют абсо-

лютно жестким прямоугольникам. Как явствует из графика контактных напряжений (фиг. 2) по мере уменьшения отношения $E_i:E_i$ в одной и той же точке контактные напряжения увеличиваются. А на остальных двух



графиках (фиг. 3, 4) наблюдается в некотором смысле обратный аффект, а именно, при увеличении отношения $E_1:E_2$ при одной и той же силе ρ величины δ и a также увеличиваются.

Таблица 1

$E_1 E_2 = 1$; $p_i = 2b_i^{(1)} p_i$ (i. 0, 1)						
а	0.05	0.1	0.15	0.2	0.25	0.3
2,	0.002616 0.002614 0.037290 0.037243	0.010450 0.010441 0.011426 0.011417	0.032549 0.023532 0.021213 0.021179	0.041866 0.011831 0.031946 0.031916	0.065417 0.065376 0.042942 0.042911	0.094196 0.094134 0.053657 0.053591

В конце считаю своим приятным долгом вырязить благодарность С. М. Мхятаряну за постановку задачи и за ценные советы.

Ивститут механики АН Армянской ССР

Поступила 28 XII 1979

Վ Ն. ՀԱԿՈԲՅԱՆ

ՋԵՐՄԱՅԻՆ ԱԶԳԵՑՈՒԹՅՈՒՆՆԵՐԻ ԱՌԿԱՅՈՒԹՅԱՄԸ ՇՐՋԱՆԱՅԻՆ ՍԿԱՎԱՌԱԿԻ ԵՎ ԵՐԿՈՒ ՈՒՂՂԱՆԿՅՈՒՆՆԵՐԻ ԿՈՆՏԱԿՏԻ ՄԱՍԻՆ

Rughngeniu

Ուսումնասիրված է հրկու տարբիր առաձգական ուղղանկյուններով առաձգական շրջանային սկավառակի սեղժման կոնտակտային իւնդիրը ջերմային աղդեցությունների հաշվառումով. Այդ ազդեցությունները սյալմանավորված են ստացիռնար ջերմային դաչառվ, երբ տեղի ունեն ջերմային կո<mark>նտակաի</mark> սովորական տայմանները։

խնդրի լուծումը Ցակոբիի և Չևթիչևի բաղմանդամների ապարատի հիման վրա բերված է ռեդուլյար անվերջ համակարդերի։ Իվային անալիղի օգնությամբ ի հայտ են բերված կարևոր մեխանիկական բնութագրիչների փոփոխման օրինաչափությունները։

ON A CONTACT OF A CIRCULAR DISK WITH TWO RECTANGLES UNDER TEMPERATURE EFFECTS

V A AKOPIAN

Summary

A contact problem for a compression of a circular disk by two dissimilar elastic rectangles, considering temperature effects, is investigated. These effects result from the presence of a stationary temperature field under ordinary conditions of thermal contact.

The solution to the problem on the basis of the Yakoby and Chebishev polynomials is reduced to regular infinite systems. A numerical analysis is used to find out the regularities of variation in essential mechanical characteristics.

ЛИТЕРАТУРА

- 1. Абрамян Б. Л. К плоской зядаче теории упругости для прямоугольника ПММ, 1957. т. 21, пап. 1.
- 2. Мускелишвили Н. И. Некоторые основные задачи математической теории упругости. М., Ияд. «Наука», 1973.
- 3. Аколян В. И. К одной задаче о теплоном контакте кругового диска с прямоугольными пластицами. Докл. АН Арм. ССР. 1978, т. 64, № 5.
- Arutunian N. Ch., Mkhiturian S. M. Trands in elasticity and thermoelasticity. Witold Nowacki Anniversary Volume. Wolters-Noordnoff Publishing, p. 3-20, 1971.
- 5. Sternberg Tureltaub M. J. Compression of an Elastic Roller Botween Two Rigid Plates. Механика силошной среды и родственные проблемы впализа. М. Изд. "Наука", 1972.
- Аругонян Н. Х., Мхитарян С. М. Некоторые контактные задачи для полуплоскости с частично скрепленными упругими накладками. Известия АН Арм. ССР, Механика, 1972, т. 25, вып. 2.
- Гулян К. Г. Передача вагрузки от стрингера консчной длины к двум кливовидным иластинам. Дока. АН Арм. ССР, 1974, т. 59, № 4.
- 8. Полов Г. Я. Плоская контактная задача теории упругости с учетом сил сцепления или трения. ГІММ, 1966. т. 30, вып. 3.
- 9. Штаермин И. Я. Контактная задача теории упругости. М., Гостехтеоретиздат 1949.

м. А. БУРЫШКИН

ОБ ИЗГИБЕ СИММЕТРИЧНОЙ ГУСТОПЕРФОРИРОВАННОЙ ОРТОТРОПНОЙ ПЛАСТИНКИ

1. В данной работе изучается рациональный подход к расчету несимистричного напряженно-деформированного состояния изогнутой густоперформированного состояния изогнутой густоперформированной область Ω илоскости $\mathfrak{10}_{H}$ и обладающей группон G симметрин $\{1\}$. Для компактности формул предполагается, что в влементарной ячейке пластинки расположено лишь одно (основное) отперстие или ядро с контуром Γ ($t \in \Gamma$ гочка этого контура). Приняты такие обозначения: $a \in G$ элемент симметрии, C_m (m = 0, 1) поворот вокруг начала координат на угол m = 0 — отражение относительно оси x_1 — $(m_1, m_2, 0, \pm 1, \ldots)$ — трансляция (сдниг) на вектор m_1a_1 — m_2a_2 , a_1 и a_2 — основные векторы $(a_1 = a_1) + ia_{12}$, $a_2 = a_{21}$ — соответствующие комплексиме числа), p_1 (f = 1

= 1, 2) — комплексные параметры С. Г. Лехницкого, $\mu_* = -\mu_1$,

$$z = x + iy, \quad z_j = x - p y \tag{1.1}$$

2. и Γ_J (j=1,2) — область и контур, получающиеся из — и Γ_J -м аффинным преобразованием координат, которое отвечает переходу. (1.1) от точки z к точка z_J , t_L Γ_J точка контура Γ_J .

Известно, что напряженно-деформированное состояние изогнутой пластинки описывается комплексными потенциалами С. Г. Лехинцкого, то есть функциями то (т. 1, 2), аналитическими в 2 (2, 3]. В частности, прогиб ортотропной пластинки в точке г вычисляется по формуле

$$w(z) = 2 \operatorname{Re} \left[w_1(z_1) + w_2(z_2) \right] \quad z \in \Omega$$
 (1.2)

Комплексные потенциалы $w_j(z_i)$ определяются из системы уравнений, состоящей из граничных условий на всех n контурах пластинки (нообще гоноря, число n может быть и бесконечно большим). Если $(s=1,2,\ldots,n)$ — контур с номером s_i а t^{-1} — его точка, то такая система имеет нид

$$\operatorname{Re} \sum_{j=1}^{n} r_{jp}^{(n)} w_{j}^{j} (t_{j}^{(n)}) = f_{j}^{(n)} (t_{j}^{(n)}) \quad (p = 1, 2; s = 1, 2, ..., n) \quad (1.3)$$

где 🕬 некоторые коэффициенты, зависящие от типа граничных

условий на контуре $\Gamma^{(n)}$ и от параметров $I = f_{\rho}^{(n)} \{l^{(n)}\}$ — функции, которые определены на этом контуре и с заранее известным произволом вычисляются по заданной нагрузке.

Так как порядок разрешающей системы (1.3) и сложность структуры искомых функций увеличиваются с ростом числа и, то для достаточно большого п решение поставленной задачи оказывается весьма затрудинтельным. Исключением из этого являются симметричные задачи, в которых нагрузка пластинки обладает теми же симметричными свойствамы, что и упруго-геометрические характеристики.

Подход, предлагаемый в данной работе и опирающийся на результаты прикладной теории представлений групп [4—6], позволяет после определенного обобщения обычных симметричных задач применять эффевтивные методы их решения [2] и для нагрузок достаточно общего вида, которые не обладают указанными симметрическими свойствами.

2. Пусть — нещественное неприводимое m_k — мерное представление группы G (k индекс знезды представления, v — номер представления со звездой $\{k\}$) [1]; $\neg_{kv}(g)$ матрица этого представления, отвечающая элементу g (се порядок равен m_{kv}), $\neg_{kvv}(g)$ ($v, v = 1, 2, \ldots, m_{kv}$) — v ый элемент матрицы $\neg_{kv}(g)$. Тогда будем говорить, что набор, который состоит из m_k , функций $F_{kv}(g) = 1, 2, \ldots, m_k$), определенных на \square и записанных в инвариантной системе отсчета [6], преобразуется по неприводимому представлению \neg_{kv} если

$$F_{k,\mu}(gz) = \sum_{g=1}^{m_{k_1}} \tau_{k_{m_1}}(g) F_{k_{m_2}}(z) \quad \forall g \in G, \quad \forall z \in \Omega \ (\mu = 1, 2, ..., m_{k_n})$$
(2.1)

Задачу расчета напряженно-деформированного состояния симметричной пластинки при нагрузке изазовем обобщенной симметричной задачей изгиба. Ее важной особенностью является то, что набор, составленный из одноименных компонент тех состояний, которые отвечают нагрузкам Q_k , $(\gamma=1,2,\ldots,m_k)$, также преобразуется по неприводимому представлению т. [6]. В частности, прогибы и $(\rho=1,2,\ldots,m_k)$, возникающие при нагрузках Q_k обладают свойствами (2.1), то есть

$$w_{k \rightarrow p}(gz) = \sum_{z=1}^{m_{k+1}} z_{k \rightarrow p}(g) w_{k \rightarrow p}(z)$$
 (2.2)

Указанное обстоятельство накладывает на соответствующие комплексные потенциалы $w_{\infty}(z_i)$ (j=1,2) серьезные ограничения. Действительно, для любого элемента z симметрии пластинки в любой точке z=2 потенциалы $w_{\infty}(z_j)$ ($\alpha=1,2,\ldots,m_k$) должны удовлетворять равенствам, получающимся из (2.2) и (1.2)

$$\operatorname{Re} \left[w_{1k-1} [(gz)_1] + w_{2k\gamma_1} [(gz)_1] \right] = \\
= \sum_{n=1}^{m_{k\gamma}} \tau_{k\gamma_1 n}(g) \operatorname{Re} \left[w_{1k\gamma_1 n}(z_1) - w_{2k\gamma_1 n}(z_2) \right] \tag{2.3}$$

Найдем необходимые для этого свойства функций w_{ik} (2) (j=1, 2).

Предположим, что $z^{(0)}$ — некоторая внутренняя точка области Ω , — круг радиуса R с центром и точке $z^{(0)}$, δ_j (j=1,2) — эллипс, в который j-е аффинное преобразование переводит круг — За счет выбора достаточно малого R добыемся, чтобы окружность, описаниая нокруг эллипса δ_i , целиком лежала в области — Тогда для функции (z_j) имеет место разложение:

$$w_{j+1}(z_j) = \sum_{n=0}^{\infty} a_{jn}^{(n)} [z_j - (z^{(0)})_j]^n \qquad z \in \hat{\mathfrak{o}}$$
 (2.4)

В силу симметрии пластинки очевидно, что аналогичные рассуждения можно провести и для точки $g e^{i01}$ ($g \in G$), то есть

$$w_{jk+n}[(gz)_j] = \sum_{n=0}^{\infty} b_{jn}^{(n)}[(gz)_j - (gz^{(0)})_j]^n \quad z \in \mathcal{S}$$
 (2.5)

В формулах (2.4) и (2.5) под $a_{jn}^{(\mu)}$ и $b_{jn}^{(\mu)}$ понимаются скалярные коэффициенты, которые связываются между собой условиями (2.3). В самом деле, подставляя разложения (2.4) и (2.5) в (2.3), получаем

$$\sum_{n=0}^{\infty} \sum_{j=1}^{2} \{b_{jn}^{(n)} [(gz)_{j} - (gz^{(0)})]^{2} + \overline{b_{jn}^{(n)}} [(gz)_{j} - (gz^{(0)})]^{n}\}$$

$$= \sum_{n=0}^{\infty} \sum_{j=1}^{2} \sum_{k_{mio}} \tau_{k_{mio}}(g) \{a_{jn}^{(p)} [z_{j} - (z^{(0)})_{j}]^{n} + \overline{a_{jn}^{(n)}} [z_{j} - (z^{(0)})_{j}]^{n}\}$$
(2.6)

Перебирая всевозможные влементы симметрии и устанавливая взаимоснязь между коэффициентами a_{μ} и b_{μ} , нетрудно выяснить специальные свойства комплексных потенциалов обобщенных симметричных задач. Подробно разберем соответствующую процедуру на примере $g=\theta$. Из равенств (1.1) вытекает, что

$$(\theta z)_{j} = (\bar{z})_{j} = \bar{z}_{2-j} \tag{2.7}$$

и, следовательно, выражение (2.6) имеет вид

$$\sum_{i=1}^{\infty} \sum_{j=1}^{n} \{b_{jn}^{(\mu)} [\overline{z}] - \overline{(z^{(0)})_{3-j}} \}^n + \overline{b_{jn}^{(\mu)}} \{z_{3-j} - (z^{(0)})_{3-j} \}^n \} =$$

$$= \sum_{n=0}^{\infty} \sum_{j=1}^{n} \sum_{p=1}^{n_{k_p}} [z_j - (z^{(0)})_j]^n + \overline{a_{jn}^{(p)}} [\overline{z}] - \overline{(z^{(0)})_j} \}^n \}$$

Приравнивая коэффициенты при одинаковых степенях двучлена $z_1 = (z^{-1})$, или $z_2 = (z^{-1})$ из разных частей равенства, найдем, что

$$b_{jn}^{(\mu)} = \sum_{n=1}^{\infty} c_n$$
 (6) a_{n-n} (j=1, 2; μ =1, 2, ..., m_k ; $n = 0, 1, 2,...$) (2.8)

Используя соотношения (2.7) и (2.8), преобразуем формулу (2.5)

$$\omega_{jk \cdot n} [(\theta z)_{j}] = \sum_{n=0}^{\infty} \sum_{p=1}^{m_{z}} [z_{n-1} (\theta) \overline{\alpha_{\theta-j,n}^{(p)}} [z_{n-1} - \overline{(z^{(\theta)})_{3-j}}]^{n} = \sum_{p=1}^{m_{k}} [z_{n-1} (\theta) \overline{\sum_{n=0}^{\infty} \alpha_{n-j,n}^{(n)}} [z_{n-1} - \overline{(z^{(\theta)})_{3-j}}]^{n}]$$

Выражение, заключенное в фигурные скобки, и правая часть равенства (2.4), записанного для и — р. равны. Поэтому

$$w_{jkrs}[(\theta z)_j] = \sum_{i=1}^{m_{kr}} \tau_{krss}(\theta) \overline{w_{3-j, 4rs}(z_{3-j})}$$

Аналогичным образом находятся свойства комплексных потенциалов для элементов симметрии более общего вида, а именно

$$w_{jk,-}[(T_{m,m}, C_{m}z)] = \sum_{g=1}^{m_{k_{j}}} z_{k,j,g} (T_{m,m}, C_{m}) w_{jk,-}(z_{j})$$

$$w_{jk,-}[(T_{m,m}, C_{m}z)] = \sum_{g=1}^{m_{k_{j}}} z_{k,j,g} (T_{m,m}, C_{m}z) \overline{w_{3-j,k+g}(z_{3-j}z_{j})}$$
(2.9)

 $\forall z \in \Omega \quad (m = 0, 1; m_1, m_2 = 0, \pm 1, 2, ...; \mu = 1, 2, ..., m_k)$

Остановимся тенерь на частном, но несьма важном случае, при котером комплексные потенциалы голоморфны в \mathcal{L}_{I} . Тогда для их записы удобно использовать интегралы Коши. Так как границы областей Ω и Ω_{I} , предстанляют собой соответственно множества контурон $T_{m_1m_1}h\Gamma$ и $\Gamma_{m_1m_2}=(T_{m_1m_2}h\Gamma)_{I}$, где h— один из элементов подгруппы $H=\{C_{in}, C_{I}, C_{I}\}_{I}^{I}$, то

$$= \lim_{N \to \infty} \sum_{m_1 = -N}^{N} \sum_{m_2 = -N}^{N} \sum_{m_3 = -N}^{1} \left[I_{----}^{(C_{--})}(z_1) + I_{---m_{3--}}^{(C_{--})}(z_2) \right]$$
 (2.10)

$$I_{j_1,m_1m_2}^{(h)}(z_j) = \frac{1}{2\pi t} \frac{w_{jk+1}(t_{m_1m_2}^{(h)}) dt_{m_1m_2}^{(h)}}{\Gamma_{m_1m_2}^{(h)} - z}$$
(2.11)

Заметим, что $t_m^{(h)} = (T_{m,m}, ht)$ — точка контура Γ — и что выражения (2.10) могут быть записаны в более строгой, но громоздкой форме, которая использовалась в работе [7], посвященной изучению обобщенных симметричных задач для изотропных пластинок. Опираясь на свойства (2.9) и очевидные соотношения типа

$$\begin{array}{lll}
\binom{\{C_{-1}\}}{t_{m_1m_2j}} = (-1) \ t_j + A_{m_1m_2j_1} & \binom{\{C_{-1}\}}{t_{m_1m_2}} = (-1) \ \overline{t_{3-j}} + A_{m_1m_2j} & (2.12) \\
A_{-1} = m_1 a_{11} + m_2 a_{21} + \mu_1 (m_1 a_{11} + m_2 a_{22})
\end{array}$$

преобразуем интегралы (2.11) следующим образом:

$$(C_{-1}) (z_{j}) = \sum_{p=1}^{m_{k_{1}}} (T_{m_{1}m_{1}} C_{m}) W_{j}^{(p)} [(-1)^{m} (z_{j} - A_{m_{1}m_{1}j})]$$

$$(C_{-0}) = \sum_{k_{1} \neq p}^{m} (T_{m_{1}m_{1}} C_{m}0) \overline{W_{3-j}^{(p)}} [(-1)^{m} (z_{j} - A_{m_{1}m_{1}j})]$$

$$(2.13)$$

где $W_{i}^{(i)}(z_{i})$ (р. 1, 2, ..., $m_{k_{i}}$) — функции, голоморфные на внешности контура Γ_{j} (j=1,2), а $\overline{W_{i}^{(i)}}(z_{j})$ — функции, комплексно-сопряженные им.

Поскольку многозначные составляющие комплексных потенциалов известны заранее, то с помощью непосредственной проверки можно убедиться в том, что и они представимы в пиде (2.10), (2.13), если пол понимать некоторые функции, аналитические на внешности контура Γ , (j=1,2).

Условимся, что для каждого контура Γ ($s=1,\ 2,\dots,\ n$) будет единственным образом зафиксирован элемент который переводит контур Γ в Γ . Тогда при записи комплексных потенциалов $w_{R-1}(z)$ в конкретной задаче следует сохранить только те слагаемые из выражения (2.10), которые отвечают элементам Γ ($s=1,2,\dots,n$). Данное замечание позволяет использовать выражение (2.10) для любой дискретной группы симметрии и для произвольного расположения основного контура.

3. Итак, пространство решений системы (1.3) в обобщенной симметричной задаче существенно ўже, чем в общем случае. Построение искомых комплексных потенциалов сводится к нахождению функций W (z) (z), z), аналитических на внешности контура Γ_f (z). Для этого достаточно воспользоваться системой, состоящей только из тех граничных условий, которые возникают на основном контуре при действии каждой из нагрузок $Q_{k,j}$.

$$\operatorname{Re} \sum_{j=1}^{2} r_{jj} w_{jk-1}(t_{j}) = f_{j0}(t) \quad (p = 1, 2; \ p = 1, 2, \dots, \ m_{kv})$$
 (3.1)

Граничные условия на остальных контурах удовлетворяются автоматически,

С математической точки эрения формулы (2.10) и (2.13) дают описание подпространства функций, инвариантного относительно оператора разрешающей системы (1.3), а выражения (3.1) являются эаписью сужения этого оператора в указанном инвариантном подпространстве.

Отметим два обстоятельства, характеризующие относительную простоту обобщенной симметричной задачи. Во-первых, порядок разрешищей системы (3.1), равный 2 два весьма мал. Во-вторых, ее решение можно осуществить любым методом, пригодным для обычной симметричного задачи.

Сказанное позволяет рекомендовать следующий подход к исследовники несимметричного напряженно-деформированного состояния ортограной пластинки с группой G симметрии. С помощью результатов приклачной теории представлений [4, 5] заданную песимметричную нагрузку следует разложить на составляющие, преобразующиеся по неприводими представлениям группы G, и, пользуясь принципом суперпозиции, перети от исходного исследования к конечному числу обобщенных симметричных задач. Для каждой из них нужно записать комплексные потенциали в форме (2.10) и найти искомые функции $W^{-1}(z_j)$ из системы (3.1). Эффективность предлагаемого полхода обусловлена высокой алгоритмичностью и простотой решения обобщенных симметричных задач.

Одесский инженерно-

Поступила 28 X1 1979

Մ. 📋 ընհանգնե

UPTESCHA LES ABRANCUSTRO OCENSONA URLE DIFITIA CRUPA

ll a din din i d

Աշխատանրում առաջարկվում է (լ սիմետրիայի դիսկրետ խմբով սայի լարվածային-դե որմացիոն վիճակի :ետազոտման Հերեկտիվ մոտեցում Ու սիմետրիկ բեռը բաշխվում է բաղադրիչների, որոնը ձևափոխվում են խմբի չբերվող ներկայացումներով։ Իա Թույլ է տալիս վերադրման Հիման վրա անցնել անկախ ըն անրացված սիմետրիկ իսնդիրների լուծման։

ծրանցից յուրաթահայուրի համար Ս. Գ. Լեխնիրկես ֆունկցիան գրվում է (2.10) տեսքով և (2.13) հավասարման օգնությամբ արտահայտվում են W (z_i) ֆունկցիայի միջոցով, որոնք անալիտիկ են հիմնական կոնտուրի արտաթին մասում, և որոշվում են (3.1) սիստեմով։

ON FLEXURE OF THE SYMMETRICAL DENSELY PERFORATED ORTHOTROPIC PLATE

M. BURISHKIN

Summary

A rational method for investigation of non-symmetrical stress-stralned state of the orthotropic plate with the group G symmetry is proposed. This method consists of using the applied representation theory and the principle of superposition for transition to solution of independent generalized symmetrical problems.

AHTEPATYPA

- 1. Любарский Г. Я. Теория групп и ее применение в физике. М., ГИФМА, 1958.
- 2. Космодамианский А. С. Напряженнию состояние авизотропных сред с отверстиями или полостями. К., Изд. «Вища школа», 1976.
- 3. Лехицикий С. Г. Анизотропные пластинки М., Гостехиздат, 1957.
- 4 Вурышкин М. Л. Разложения цектор-функции, определенных на области с консчном сруппой симметрии, в усеченном случае. Докл. АН Арм. ССР. 1976, т. 63. № 3.
- Бурышкин М. А. Розклад вектор-функції, визначеної в області з просторовою групою симетрії, в трансляційно-усіченому випадку. ДАН УССР, 1975, № 7.
- 6. Бурышкия М. А. О применении теории представлений дискретных групп в задачах равиовесия и малых колебаний упруго-линейных систем. Депоимрованная руко-иись, ВИНИТИ, № 208-75 от 21,01.1975 г.
- 7. Бурышкин М. Л. О функциях Колосова—Мусхелишвили в обобщенных сныметричных вадачах теории упругости. ДАН УССР, серия А, 1979, № 5.

Н Х. АРУТЮНЯН, В. Б. КОЛМАНОВСКИЕ

ОБ УСТОЙЧИВОСТИ НЕОДНОРОДНО ВЯЗКО-УПРУГИХ СТЕРЖНЕЙ

На конечном и бесконечном интервалах времени исследуется устойчивость стержней, свойства которых описываются уравнениями геории вязкоупругости неоднородно стареющих сред [1, 2]. Используя методразвитый в статье [3], устанавливаются условия устойчивости для стеряней, находящихся под действием распределенной продольной нагрузки. Примером такого вида нагрузки является собственный вес стержия.

Сформулированная ниже постановка задачи устойчивости на коненом интервале времени исходит на определений устойчивости днижения динамических систем, берущих свое начало с работы Н. Г. Четаева [4].

Отметим, что в [3] научались такие типы нагрузок и способы закренления концов стержны, когда в соответствующей упругой задаче дифференциальное уравнение для прогибов имело лишь второй порядок.

В настоящей работе условия устойчивости устанавливаются для ситуации, когда в соответствующей упругой задаче дифференциались уравнение для прогибов стержня имеет, вообще говоря, порядок выше второго. При этом условия устойчивости получаются в результате изучения счетной системы уравнении, определяющей коэффициенты Фурье в разложении прогиба в ряд по собственным функциям упругой задачи.

Обзор и библиография работ, посвященных проблеме устойчивости вязкоупругих стержней, имеются в [5—8].

§ 1. Устойчивость под деиствием собственного веса на бесконен от интервале времени. Рассмотрим неоднородно-стареющий стержень дляны l, расположенный в недеформированном состоянии вдоль оси ох. Нижний конец стержия (x=l) заделан, а верхинй свободей (фиг. 1). Обозначим через y(l,x) прогиб стержия в точке x в момент времени l отсчитываемый от оси ох. Начальную погибь при l=l — 0 обозначим через $y_0(x)$. Функция $y_0(x)$ задана и имеет три непрерывных производных при $x \in [0,l]$. Стержень называется устойчивым, если цыполнено условия

$$\sup_{t > t_0, \quad x \in [0, T]} |y(t, x)| < \infty$$

$$t > t_0, \quad x \in [0, T]$$
(1.1)

то есть прогиб равномерно ограничен.

Уравнение для прогиба у(1, x) стержия на неоднородно вязно-упругого материала имеет вид [3].

$$L_{x}(y, M) = \frac{\partial^{2}y(t, x)}{\partial x^{2}} + \frac{1}{Ef}M(t, x) - \frac{1}{\int} M(t, x) \frac{\partial}{\partial z} \left\{ \varphi\left(z + \varphi(x)\right) \left(1 - e^{-\eta(t-z)}\right) \right\} dz = \frac{d^{2}y_{0}(x)}{dx^{2}}$$

$$(1.2)$$

Здесь $M(\cdot, x)$ — изгибающий момент в сечении x; положительная непрерыпно дифференцируемая функция $q(\tau)$ определяет процесс старения материала Предполагается, что

$$\lim \varphi(\tau) = C_{e_{\tau}} \quad \lim \varphi(\tau) = 0$$

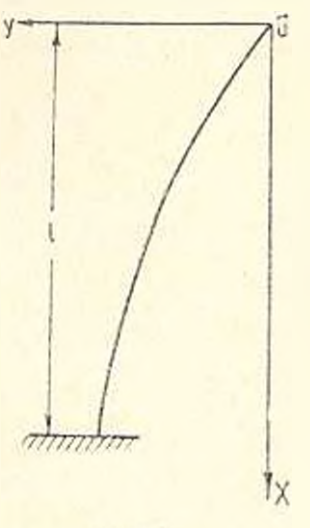
Постоянная $C_* > O$ характеризует меру ползучести материала стержия вего старом возрасте. Функция $\rho(x)$ называется функцией неодпородного старения. Она определяет закон изменения возраста материала по длине стержия. В этом параграфе считается, что функция $\rho(x)$ ограничена, кусочно непрерывно дифференцируема и имеет конечное число точек

разрына. Постоянная $\gamma > 0$ задана, E модуль упруго-мітоненной деформации, I момент инерции стержия относительно продольной оси. Поперечные сечения стержия одинаковы и одинаково ориентированы. Граничцые условия имеют нид

$$y(t, 0) = 0, \qquad \frac{\partial^{2}y(t, 0)}{\partial x^{2}} = 0$$

$$\frac{\partial y(t, l)}{\partial x} = 0$$
(1.3)

Пусть g — постоянная продольная нагрузка (в частности, собственный вес стержня на единицу его длины). Тогда изгибающий момент M(t, x) в сечении x равен



Фиг. 1.

$$M(t, x) = g \int_{t}^{\infty} (y(t, x) - y(t, z)) dz$$
 (1.4)

Ha (1.2) с помощью двукратного дифференцирования по 1 получим

$$L_{z}(y, M) = \frac{\partial^{3} y(t, x)}{\partial x^{2} \partial t^{2}} + \tau \frac{\partial^{3} y(t, x)}{\partial x^{2} \partial t} + \frac{1}{EJ} \frac{\partial^{2} M(t, x)}{\partial t^{2}} + \frac{\tau}{EJ} \frac{\partial M(t, x)}{\partial t^{2}} + \frac{\tau}{EJ} \frac{\partial M(t, x)}{\partial t} \left[1 + Ez(t + z(x))\right] = 0$$
(1.5)

Начальные условия (то есть прогиб $y\left(t_{0},\;x\right)$ и производная $\delta y\left(t,\;x\right)/\delta t$

при $t=t_0$) для уравнения (1.5) вытекают из (1.3), (1.4) и соотношений

$$\frac{\partial^{0} y(t_{0}, x)}{\partial x^{2}} + \frac{1}{Ef} M(t_{0}, x) = \frac{d^{2} y_{0}(x)}{dx^{2}}$$
 (1.6)

$$\frac{\partial^2 y\left(t_0, x\right)}{dx^2 \partial t} + \frac{1}{E J} \frac{\partial M\left(t_0, x\right)}{\partial t} = -\frac{\gamma}{J} \varphi\left(t_0 + \varphi\left(x\right)\right) M(t_0, x) \quad (1.7)$$

Обозначим через $\psi_n(x)$ последовательность собственных функций, а через — соответствующую последовательность собственных значений краевой задачи

$$\frac{d^2 \psi_n(x)}{dx^2} + i_n x \psi_n(x) = 0$$

$$\psi_n(l) = 0, \qquad \frac{d\psi_n(0)}{dx} = 0$$
(1.8)

Разложим производную $\frac{\partial y(t, x)}{\partial x}$ в абсолютно и равномерно сходящийся ряд по ортонормированным в обобщенном смысле [9] функциям $\phi_n(x)^n$

$$\frac{\partial y(t,x)}{\partial x} = \sum_{n=0}^{\infty} A_n(t) \quad (x)$$
 (1.9)

$$A_n(t) = \int \frac{\partial y(t, x)}{\partial x} \psi_n(x) x dx \qquad (1.10)$$

$$\int_{a}^{b} \psi_{n}(x) \psi_{m}(x) x dx = 0 \tag{1.11}$$

где ^пия — символ Кронекера.

Подставим (1.9) в (1.5), продифференцируем обе части полученного по x далее умножим на $\frac{1}{2}\pi(x)$ и проинтегрируем по x в пределах от нуля до l.

В результате получим следующую систему дифференциальных уравнений для определения коэффициентов $A_n(t)$ в разложении (1.9)

$$(\bar{A}_{n} + \gamma \bar{A}_{n}) u_{n} + E_{1}C_{n}A_{n} + \gamma E_{m=0}^{\infty} \bar{A}_{m}(t) \beta_{mn}(t) = 0$$

$$\mu_{n} = 1 - \frac{E_{1}}{g} t_{n}$$
(1.12)

Злесь положено

Возможность разложения (1.9) и правомерность почленного дифференцирования этого роза иструдно установить подобно [3].

$$\overline{\rho}_{mn} = \int x \dot{\gamma}_m(x) \dot{\gamma}_n(x) \phi(t + \rho(x)) dx + \frac{1}{2\pi} \left(x\right) \left[\int dz \int z_m(z) dz \right] dz + \frac{1}{2\pi} \left[\int dz \int z_m(z) dz \right] dz + \frac{1}{2\pi} \left[\int dz \int z_m(z) dz \right] dz$$

$$\beta_{mn} = \overline{\rho}_{mn} - C_0 \dot{\rho}_{mn}$$
(1.13)

Последний интеграл в (1.13) понимается в смысле Стильтьеса.

Запишем начальные условия для системы (1.12). Для этого продифференцируем (1.6) и (1.7) по х. подставим в долученное (1.9) и проинтетрируем в пределах от нуля до 1. С учетом (1.10) получаем

$$A_{n}(t_{0}) = -A_{n}^{0} t_{n} \frac{L}{g} u_{n}^{-1}$$

$$A_{n}^{0} = \int_{0}^{t} \frac{dy_{0}(x)}{dx} \dot{y}_{n}(x) x dx$$
(1.14)

$$A_{n}(t_{0}) = -E_{T}\mu_{n}^{-1}\sum_{m=0}^{\infty}A_{m}(t_{0})\overline{\beta}_{mn}(t_{0})$$
 (1.15)

Потребуем, чтобы было справедливо неравенство

$$g(1 + EC_0) \le E/r_0 \tag{1.16}$$

Здесь через λ_0 обозначено минимальное собственное значение краевой задачи (1.8), равное 7.8373 t — Собственное значение λ_n краевой задачи (1.8) определяется уравнением

$$J_{-1/3}\left(\frac{2}{3}V\overline{\kappa_n l^3}\right) = 0$$

тае $J_{-1/3}$ — функция Бесселя первого ряда порядка — 1.3 (см., например, [10] § 64).

Используя представление функции Бесселя для больших значений аргумента, заключаем, что имеет место асимптотическая формула

$$L_n = C_1 n^2, \quad n \to \infty \tag{1.17}$$

где С. — некоторая положительная постоянная.

Неравенство (1.16) будет выполнено, если длина вязко-упругого стержия / удовлетворяет условию

$$l < 1.9863 \sqrt{\frac{EJ}{g(1 + EC_0)}}$$
 (1.18)

Назовем данну 1, равную правой части (1.18), критической данной вязко-упругого стержия при дангельном действии собственного веса

$$I_{\rm sp} = 1.9863 \sqrt{\frac{Ef}{g(1 + EC_a)}}$$
 (1.19)

Методом, развитым в [3], можно показать, что из (1.16) или (1.18) следует (1.1), то есть устойчивость неоднородно вязко-упругого стержия под действием собственного веса на бесконечном интервале времени.

При этом неравенства (1.16) или (1.18) являются не только достаточными, но и необходимыми условиями устойчивости для таких стержней, то есть, если

1.9863
$$\left| \frac{EJ}{g(1+EC_0)} \right| < l < 1.9863 \left| \frac{EJ}{g} \right|$$
 (1.20)

то стержень неустойчив, так как неравенство (1.1) в этом случае нарушается.

Таким образом, для рассматриваемой здесь задачи критическая длина вязко-упругого стержня определяемая формулой (1.19), оказывается независящей от функции $\rho(x)$, характеризующей неоднородность старения материала в вязко-упругом стержие. Отметим, что это не имест места при рассмотрении устойчивости на конечном интервале. В этом случае условия устойчивости для вязко-упругого стержия существенно зависят от функции $\rho(x)$.

- § 2. Устой-иность под дейстнием собственного неса на конечном интервале времени.
- 1°. Возможны различные постановки задачи устойчивости на конечном интервале времени.

Одна из них состоит в определении ограничений на начальную погибы, при выполнении которых на заданном фиксированном интервале времения [T,T] прогиб не превосходит предельно допустимого значения y^{τ} , то есть справедлино неравенство

$$\max_{0 \leq x \leq t} \max_{t_1 \leq t} |u(t, x)| = y^*$$
 (2.1)

Приведем некоторые оценки, представляющие собой достаточные условия справедливости пераненства (2.1). Ясно, что для справедливости (2.1) достаточно наложить такие ограничения, при выполнении которых будет

$$\left| \int_{0}^{t} \frac{\partial y(t, s)}{\partial s} ds \right| \leq y^{\varepsilon}$$

$$(2.2)$$

Оценим подынтегральное пыражение в (2.2) через исходные данные задачи, то есть начальную погибь, нараметры T, l, упругие и реологические характеристики материала стержия.

Обозначим через G(x,z) функцию Грина задачи (1.8) при $\ell_n=g(\mathcal{E}/2)^{-1}$, существующую ввиду предположения (1.16). Продиффе

ренцируем далее обе части (1.2) по х. С учетом (1.4) убеждаемся в справедливости следующего представления для производной $\partial y(t,x)/\partial x$

$$\frac{\partial y(t, x)}{\partial x} = \int_{0}^{t} G(x, t) \frac{d^{3}y_{0}(\xi)}{dt} dt +$$

$$+ \frac{1}{J} \int_{0}^{t} G(x, \xi) dt \int_{t_{0}}^{t} M(z, \xi) \frac{\partial}{\partial z} \left[\phi(z + \rho(\xi)) \left(1 - e^{-(z-\xi)}\right) \right] dz =$$

$$= Q_{0}(x) + \frac{1}{J} Q_{1}(x, \xi) \qquad (2.3)$$

Исследуем далее подробно функцию $Q_1(x,t)$ в формуле (2.3). Заметим, что $M(\tau,0)=0$ в силу (1.4). Кроме того, ввиду самосоприженности краевой вадачи (1.8) функция Грина G симметрична, то есть $G(x,\xi)=G(\xi,x)$. Значит, G(x,t)=0. Поэтому, интегрируя по частям по ξ и τ , ямеем

Для оценки M(l-x) положим l=l-8 (2.3). На основании (1.3) имеем

$$y(t_0, \mathbf{x}) = \int_0^t \frac{dt_0}{dt_0} dt_0 = \int_0^t dt_0 \int_0^t G(t_0, t) \frac{d^3y_0(t)}{dt^3} dt$$
 (2.5)

Подставляя (2.5) в (1.4), получаем интересующее нас выражение для $M(t_0, x)$. Для оценки второго слагаемого в (2.4) введем в рассмотрение вналярную функцию V(t), равную

$$V(t) = \sum_{n=0}^{\infty} A_n^2(t)$$

Bauerum, 410

$$\frac{\partial M(z,z)}{\partial z} = \int_{0}^{z} \frac{\partial^{z} M(z,z)}{\partial z^{2}} dz = g \int_{0}^{z} \frac{\partial^{z} M(z,z)}{\partial z^{2}} dz$$

Поэтому, используя неравенство Коши—Буняковского и равенство Парсеваля, получаем

$$C_{2} \int_{t_{0}}^{t} dz \int_{0}^{t} z \left| \frac{\sigma^{2} y(z, z)}{\partial z \partial z} \right| dz \qquad \left| \int_{t_{0}}^{t} z \left| \frac{\sigma^{2} y(z, z)}{\partial z \partial z} \right| dz \right| = C_{4} \int_{0}^{t} V(z) dz \qquad (2.6)$$

В (2.6) положено

$$C_1 = g \max_{t, x} \varphi(t + \varphi(x)), \quad C_1 = \frac{1}{2} C_1 t^2$$

Далес, с учетом (1.12) имеем

$$\dot{V}(t) + 2\gamma (1 - EC_0) V(t) = -2\gamma E \sum_{n=0}^{\infty} A_n(t) p_n^{-1} \sum_{m=0}^{\infty} A_m(t) \beta_{mn}(t) = Q(t) (2.7)$$

Подобно выводу соотношения (1.19) из [3] можно показать, что

$$|Q(t)| \leqslant V(t) \left| \sum_{n=0}^{\infty} \sum_{n=0}^{\infty} \mu_n^{-2} \beta_{mn}^2(t) \right|^{1/4}$$
 (2.8)

Интегрируя по частям в (1.13), с учетом граничных условий (1.8), получаем, что

$$\beta_{mn}(t) = -\int_{0}^{\infty} \varphi(t - \varphi(x)) (d\varphi_{n}(x)) \int_{0}^{\infty} x_{1} \varphi_{m}(x_{1}) dx_{1} =$$

$$= -\int_{0}^{\infty} \varphi(t - \varphi(x)) (d\varphi_{n}(x)) \int_{0}^{\infty} x_{1} \varphi_{m}(x_{1}) dx_{1} =$$

Отсюда и из раненства Парсеваля вытекает неравенство

$$\sum_{m=0}^{\infty} \beta_{mn}^{2}(t) = \int_{0}^{t} x dx \left(\int_{x}^{2} \left(z \left(t + z \left(x_{1} \right) \right) - C_{0} \right) dz_{n} \left(x_{1} \right) \right)^{2} \leqslant$$

$$\leqslant C_{4} \int_{0}^{t} \left| \frac{dz_{n} \left(x \right)}{dx} \right|^{2} dx \tag{2.9}$$

$$\varphi_1(t) = \max_{0} |\varphi_1(t - \varphi(x)) - C_0|^2, \quad \frac{1}{2} = C_4$$

Али оценки интеграла в правон части (2.9) умножим обе части (1.8) на $\psi_n(x)$ и проинтегрируем по x и пределах от нуля до l. Имеем

$$\int_{0}^{1} dx (x) \frac{d^{2} - (x)}{dx} dx = i_{0}(x) \frac{d - (x)}{dx} \Big|_{0} - \int_{0}^{1} \left| \frac{d^{2} - (x)}{dx} \right|^{2} dx = i_{0}$$

Следовательно.

$$\int_{0}^{\infty} \left| \frac{d_{-n}(x)}{dx} \right|^{2} dx = 0 \tag{2.10}$$

Подставляя (2.9), (2.10) в (2.8), получаем

$$Q \leq V(t) \zeta(t), \qquad \zeta(t) = \left| C_{t+1}(t) \sum_{n=0}^{\infty} t_n e^{-t} \right|^{1/2}$$
 (2.11)

Отметим, что ряд в (2.11) сходится на основании асимптотической формулы (1.17) и требования (1.16)

Из (2.7), (2.11) вытекает, что

$$\hat{V}(t) \leqslant (-2\gamma(1+EC_0)+\zeta(t)) V(t) = \zeta_1(t) V(t)$$

Значит,

$$V(t) = V(t_0) \exp\left(\left| \zeta_1(s) ds \right| \right) \tag{2.12}$$

Оценим, накоонец, 1 (1.). Ввиду (1.14) и равенства Парсеваля имеем

$$\sum_{n=0}^{\infty} A_n^2(t_0) = \sum_{n=0}^{\infty} A_n^2(t_0) = \sum_{n=0}^{\infty} \left(A_n^0\right)^2 = C \int_0^t x \left(\frac{dy_0(x)}{dx}\right)^2 dx$$

Кроме того, на основании (2.9), (2.10) будет

$$\sum_{m=0}^{\infty} \overline{r_{\min}}(t_0) = C_n t_n \max_{l} |\varphi(t_0)| = c_{n+2}(t_0)$$

Следовательно,

$$V(t_{0}) = \sum_{n=0}^{\infty} A_{n}(t_{0})^{2} = E = \sum_{n=0}^{\infty} u_{n}^{-2} \sum_{n} A_{k}^{*}(t_{0}) \sum_{m=0}^{\infty} -(t_{0})$$

$$= C \int_{0}^{\infty} x \left(\frac{dy_{0}(x)}{dx} \right)^{2} dx$$
(2.13)

Оценка функции $Q_1(x, t)$ через исходные данные задачи установлена. Эта оценка дается выражением (2.4), в котором M(t, x) определяется соотношениями (1.4), (2.5), а функция V оценена с помощью (2.12), (2.13). Таким образом, ввиду (2.3) оценена через исходные данные задачи и производная $\partial u(t, x)/\partial x$, C учетом (2.2) окончательно заключаем, что если параметры задачи таковы, что

$$\left| Q_0(s) + \frac{1}{T} Q_1(s, t) \right| ds \leqslant y^*, \qquad \frac{t}{0} \leqslant \frac{T}{x + t}$$

то имеет место устойчивость вязко-упругого стержия на конечном интервале времени.

2. Другая постановка задачи устойчивости на конечном интервале состоит в определении первого момента времени (именуемого критическим), в который максимальное значение прогиба достигиет предельно допустимой величины и то есть

$$\max |y(t_1, x)| = y$$

Приведем одну оценку снизу величины t_i . Оболначим через $\varkappa_i(t)$ функцию

$$z_{1}(t) = \int_{0}^{T} \left[\left| \int_{0}^{t} G(x, \xi) \frac{d^{2}y_{0}(\xi)}{d\xi} d\xi \right| + \frac{1}{f} \int_{0}^{t} \left| M(t_{0}, \xi) \right| \times \right]$$

$$= \varphi(t_{0} + \varphi(\xi)) \left(1 - e^{-\gamma(t - t_{0})} \right) dz G(x, \xi) \left| dx \right|$$

Эдесь $M(t_a, x)$ дается выражениями (2.5), (1.4). Обозначим далее через $\varkappa_i(t)$ функцию

$$z_2(t) = C_3 \int_0^t dx \left\{ |d| G(x, s) |V(t_0)| \exp\left(\int_0^t \Phi_1(s) ds \right) \right\}$$

где $V(I_n)$ оценена в (2.13). Функции z_1 и z_2 монотонно не убывают. Кроме того,

$$|y(t, x)| \leqslant x_1(t) + x_2(t)$$

Поэтому, если существует при $l = l_{\rm s}$ корень $l_{\rm t}$ уравнения

$$x_1(t) + x_2(t) = y^*, \quad t = t$$

то критическое время l_1 удовлетворяет оценке $t_1 \geq t_1$. При этом на интервале времени $[t_0, t_1]$ прогиб не превосходит предельно допустимого значения y^{\pm} .

- § 3. Сформулируем в этом параграфе условия устойчивости вязкоупругих стержней для ниых ситуаций. Обоснование этих условий получается с помощью модификации рассуждений настоящей работы. По этой причине доказательства не приводятся, а дается лишь постановка задачи п результат. Устойчивость всюду понимается в смысле справедливости перавенства (1.1). Уравнение для прогибов имеет вид (1.2). В каждом поикретном случае меняются лишь граничные условия (в зависимости от вида закрепления концов стержня) и уравнения для изгибающего момента.
- 1) Рассмотрим подобно § 1 вязко-упругий стержень с защемленным вижним концом при подвижной заделке верхнего конца (см. | 10] стр. 282). Граничные условия для прогиба имеют вид

$$\frac{\partial y(t,0)}{\partial x} = 0, \quad \frac{\partial^2 y(t,0)}{\partial x^2} = 0, \quad \frac{\partial y(t,l)}{\partial x} = 0$$

Стержень находится под действием собственного веса с постоянной продольной нагрузкой g. Условие устойчивости имеет вид (1.16) при $t_0 = 18.90 \, l^{-3}$.

2) Вновь рассмотрим стержень под действием собственного веса при подвижной заделке верхнего конца и шарнирном опирании нижнего. Гравичные условия даются соотношениями

$$\frac{\partial y\left(t,0\right)}{\partial x}=0, \quad \frac{\partial^2 y\left(t,0\right)}{\partial x^2}=0, \quad \frac{\partial^2 y\left(t,l\right)}{\partial x^2}=0$$

эсловие устойчивости дается формулой (1.16) при до = 3.524 / ...

3) В рассмотренных выше ситуациях ноэмущение положения равновесия было вызвано начальной погибью стержия. Другим источником возмущении может служить боковая нагрузка. Однако, если боковая нагрузка стационарна (то есть не зависит от времени, а может зависеть ляшь от т), то условия устойчивости нетрудно получить из установленных ранее. Разъясним сказанное на примере стержия, изученного в § 1. Наряду с вредположениями из § 1 считается, что на стержень деиствует поперечная нагрузка q(x), где q(x) — ограниченная кусочно-непрерывная функция. Устойчивость, по-прежнему, понимается в смысле выполнения неравенства (1.1). Уравиение для прогиба имеет вид (1.2), в котором вместо M надлежит написать сумму M + M. Эдесь M дается формулой (1.4), а M, определяется соотношениями

$$\frac{\partial M_1(x)}{\partial x^2} = -q(x)$$

$$M_1(l) = -\int xq_1(x) dx, \quad \frac{\partial M_1(l)}{\partial x} = \int_{0}^{l} q(x) dx$$
(3.1)

Из формул (3.1), интегрируя по частям в (1.2), заключаем, что

$$L_{1}(y, M) = \frac{d^{2}v_{0}(x)}{dx^{2}} - \frac{1}{JE}M_{1}(x) - \frac{1}{JE}M_{1}(x) - \frac{1}{JE}M_{1}(x) + \frac{1}{JE}M_{1}(x) + \frac{1}{JE}M_{1}(x) + \frac{1}{JE}M_{1}(x) + \frac{1}{JE}M_{1}(x) - \frac{1}{JE}M_{1}(x) + \frac{1}{JE}$$

Здесь $L_i(y, M)$ определено уравнением (1.2). В результате двукратного дифференцирования по 4 обенх частей соотношения (3.2), подобно выводу (1.5), получим

$$L_{2}(y, M) = \frac{\tau^{2}}{I} M_{1}(x) \circ (t_{0} + \rho(x)) e^{-\tau(t-r_{0})}$$
(3.3)

Уравнение (3.3) отличается от (1.5) наличием правой части, стремящейся к нулю при 1— со. Используя этот факт, можно показать, что решение задачи (3.3), (1.6), (1.7) удовлетворяет оценке (1.1) при выполнении условия (1.16). Таким образом, и при наличии поперечной нагрузки требование (1.1) является достаточным условнем устойчивости.

Институт механики АН Арминской ССР Институт проблем механиям АН СССР

Поступила 22 XII 1979

Ն. L. ՀԱՐՈՒԹՅՈՒՆՅԱՆ, Վ. Բ. ԿՈԼՄԱՆՈՎՍԿԻ

ՈՉ ՀԱՄԱՍԵՌ ՄԱՑՈՒԾԻԿԱԱՌԱԶԳԱԿԱՆ ՉՈՂԵՐԻ ԿԱՏՈՒՆՈՒԹՅԱՆ ՄԱՍԻՆ

Ժամանակի վերջավոր և անվերջ միջակայքերի վրա ուսումնասիրվում է այնպիսի ձողերի կայունությունը, որոնց .ատկությունները նկարագրվում են ան:ամասեռ ձնրացող միջավայրերի մացուծիկաառաձղականության տևսության Հավասարումներով։

նրկայնական բաշխված բևոի ազդեցության տակ դտնվող ձողևրի համար որոշվում են կայունության սյայմանները։ Այդպիսի բեռի օրինակ է հանդիսանում ձողի սնփական կշիոր։

ON STABILITY OF HETEROGENEOUSLY VISCO-ELASTIC BARS

N. Ch. HARUTUNIAN, V. B. KOLMANOVSKY

Summary

The stability of bars, whose properties are described by equations in the theory of visco-elasticity of heterogeneously ageing media, is investigated over finite and infinite time intervals.

The conditions of stability are defined for the bars subjected to the action of a distributed longitudinal load. The bar's intrinsic weight is an example of a load of this kind.

ЛИТЕРАТУРА

- 1. Арутюнян Н. Х. Некоторые задачи теории польучести для неоднородно стареющих тел. Изв. АН СССР, МТТ, 1976, № 2.
- 2 Аругюнян Н. X. О теории полаучести для неоднородно наследственно стареющих сред. ДАН СССР, 1976, т. 229, № 3.
- 3 Арутюнян Н. Х., Колмановский В. Б. Об устойчивости неоднородно стареющих выволоруенх стержией. ПММ, 1979, т. 43, вып. 4.
- 4. Четося Н. Г. Об одной мысли Пудикарс. Сб. науч. тр. Казанского авнационного виститута, 1935, № 3.
- Работнов Ю. Н. Теория ползучести. В сб. «Механика в СССР за 50 лет». М., «Наука», 1972, т. 3.
- 6 Шестериков С. А. О критерии устойчивости при поляучести. ПММ, 1961, т. 25, амп. 4.
- 7. Кириши Л. М. Устойчивость при ползучести Нав. АН СССР, МТТ, 1978, № 3.
- 8. Ржиницын А. Р. Теория полаучести. М., Строинадат., 1968.
- 9. Коллоти А. Задачи на собственные значения. М., «Наука», 1968.
- 10 Ржаницын А. Р. Устойчивость равновесня упругых систем. М., «Гостехиздат», 1955.
- 11. Тихоков А. Н., Сомарский А. А. Ураннения математической физики. М., «Наука» 1977.

С. Г. АВАГЯН, А. Г. БАГДОЕВ

НЕКОТОРЫЕ ЗАДАЧИ ПРОНИКАНИЯ ТЕЛ В ВЕСОМУЮ ЖИДКОСТЬ

§ 1. Проникание тонкого тела в несжимаемую весомую жидкость

Рассматринается задача о пропиканни тонкого жесткого конуса и несжимаемую жидкость со спободной поверхностью при учете влияния ускорения силы тяжести. В отсутствие силы тяжести решение задач дапо для сжимаемой жидкости п [1—3]. Задача о проникании тел в грунты и металлы решалась в [2, 4].

Для потенциального движения жидкости имеет место уравнение

$$\frac{\partial^2 \varphi}{\partial r^2} + \frac{1}{r} \frac{\partial \varphi}{\partial r} + \frac{\partial^2 \varphi}{\partial z^2} = 0 \tag{1.1}$$

где $q=\phi(r,z,l)$ — потенциал скорости, начало координат выбрано в точке пересечения першины конуса с поверхностью жидкости, ось ℓ направлена по поверхности жидкости, ось ℓ — перпендикулярно к ней вниз. Имеем

следующее граничное условие на боковой поверхности тела:

$$r = r_k; \quad \frac{\partial \varphi}{\partial r} = -f'(t) \frac{\partial r_k}{\partial z}$$
$$0 < z < f(t) \tag{1.2}$$

где f(t) — закон движения тела, f'(t) — его скороеть. Начальные условия $\varphi = 0$; $\frac{dz}{dt} = 0$ при t = 0.

Ураннение Коши-Лагранжа примет лид

$$\frac{p}{r_0} = -\frac{\partial p}{\partial t} + gz + \frac{p_0}{p_0} - \frac{V^2}{2} \quad (1.3)$$

где

$$V^{z} = \left(\frac{\partial \varphi}{\partial r}\right)^{2} + \left(\frac{\partial \varphi}{\partial z}\right)^{2}$$

Если z = H(r, t) — уравнение свободной новерхности, то тогда на ней

$$\frac{\partial p}{\partial t} - gH + \frac{V^2}{2} = 0$$

Продифференцировав по f и считая, что V мало, получим при z=0

$$\frac{\partial^2 \varphi}{\partial t^2} - g \frac{\partial H}{\partial t} = 0$$

кроме того

$$v_z = \frac{\partial v}{\partial z} = \frac{\partial H}{\partial t}$$

поэтому

$$\frac{\partial z}{\partial t} - g \frac{\partial z}{\partial z} = 0 \text{ при } z = 0$$
 (1.4)

Решение задачи ищем методом источников в сочетании с интегральными преобразопаниями. В силу линейности задачи можно полегать

$$\varphi = \varphi_0 + \varphi_1 \tag{1.5}$$

где ϕ_0 соответствует решению о движении тела в безграничной среде — $\infty < z < \infty$, а ϕ_1 — отражению от свободной поверхности. Подобно [2], можно искать решение в виде источников, распределенных по оси тела

$$\tau_{0} = -\frac{1}{4\pi} \int_{0}^{f(z)} \frac{q(z_{1}, t) dz_{1}}{1 (z_{1} - z)^{2} + r^{2}}$$
 (1.6)

Учитывая соотношение для малых / [3]

$$\left(\frac{\partial z}{\partial r}\right)_{r=0} - \frac{1}{2^{-}} \frac{g\left(z,\,t\right)}{r} \tag{1.7}$$

можно по (1.2) получить

$$q(z, t) = -2\pi r_k f'(t) \frac{\partial r_k}{\partial z}$$
 (1.8)

причем для конуса

$$r_{\lambda} = \beta [f(t) - z] \tag{1.9}$$

где в — угол полураствора конуса. Тогда

$$\tau_0(r, z, t) = \frac{f'(t)}{2} \int_0^{R_0} r_k \frac{\partial r_k}{\partial z_1} \frac{dz_1}{\sqrt{(z_1 - z)^2 + r^2}}$$
(1.10)

Улобно рассматривать решение для отдельных источников ф. где

$$\bar{\tau} = \int \bar{\tau}^0 dz_1 \tag{1.11}$$

Тогда для зо получится

$$\varphi_0^0 = \frac{f'(t)}{2} r_k \frac{\partial r_k}{\partial z_1} \frac{1}{\sqrt{(z_1 - z)^2 + r^2}}$$
(1.12)

Для определения Ф. применяется метод интегральных преобразований. Согласно известному равенству

$$\int_{0}^{\infty} e^{-k(z_{1}-z)} f_{0}(kr) dk = \frac{1}{V(z_{1}-z)^{2} + r^{2}}$$
 (1.13)

можно полагать

$$\varphi_0^a = \frac{f'(t)}{2} r_k \frac{\partial r_k}{\partial z} \int_0^\infty e^{-k(r_k - t)} f_n(kr) dk \tag{1.14}$$

Отраженные возмущения 🧖 для задачи о точечных источниках можно искать в виде

$$\varphi_{\parallel}^{0} = \int_{1}^{\infty} e^{-k(\varepsilon_{1}+\varepsilon)} f_{0}(kr) A(k, t) dk \qquad (1.15)$$

Вводя преобразонание по Лапласу по t от φ_0^0 , φ_1^0 , можно записать (1.14), (1.15) в виде

$$\overline{f'(t)} = \frac{f'(t)}{2} r_k \frac{\partial r_k}{\partial z_1} \int e^{-k(z_1+z)} f_0(kr) dk$$

$$\overline{f'} = \int_0^\infty e^{-k(z_1+z)} f_0(kr) \overline{A(k,t)} dk$$
(1.16)

Применяя к (14) преобразование Лапласа, можно получить

$$s^2 p - \sigma \frac{\partial p}{\partial z} = 0; \quad z = 0 \tag{1.17}$$

причем указанное соотношение годится и для решения у задачи о точечных источниках. Полагая еще 🕫 📻 получим

$$\overline{A(k, t)} = \frac{gk - s^2}{gk + s^2} \frac{f'(t)}{2} r_k \frac{\partial r_k}{\partial z_1}$$
 (1.18)

Для од получим

$$\overline{\varphi}_{1}^{0} = \int_{0}^{\infty} e^{-k(z_{k}+z)} \int_{0}^{\infty} (kr) \frac{gk - s^{2}}{gk + s^{2}} \frac{\overline{f'(t)}}{2} r_{k} \frac{\partial r_{k}}{\partial z_{1}} dk$$
 (1.19)

Обозначим значение s_i^0 при g=0 через Φ_{ij}^0

$$\overline{\Phi}_{1}^{0} = -\int_{1}^{\infty} e^{-k(s_{1}+s)} \int_{0}^{\infty} (kr) \frac{f'(r)}{2} r_{s} \frac{\sigma r_{s}}{\sigma s_{1}} dk \qquad (1.207)$$

OTCHO AR

$$\Phi^{0} = -\frac{f'(t)}{2} r_{k} \frac{\partial r_{k}}{\partial z_{k}} \frac{1}{(z_{k} + z)^{2} + r^{2}}$$
(1.20):

Разложим дробь $\frac{2k}{gk+s}$ по степеням $\frac{sk}{s^2}$

$$\frac{gk-s^{\alpha}}{gk+s^{2}}-1-2\sum_{s}(-1)^{\alpha}\left(\frac{gk}{s^{2}}\right)^{\alpha}$$

Для малых t = 1, поэтому мы можем для них оставить толькопять часной

$$\frac{gk - s^2}{gk + s^2} = -1 + 2\frac{gk}{s^2} - 2\left(\frac{gk}{s^2}\right)^2 + 2\left(\frac{gk}{s^2}\right)^3 - 2\left(\frac{gk}{s^2}\right)^8$$

и полагать

$$\begin{split} \overline{\varphi}_{1}^{0} &= \int_{0}^{\infty} e^{-k(s+s_{1})} \int_{0} (kr) \frac{f'(t)}{2} r_{k} \frac{\partial r_{k}}{\partial z_{1}} \left[-1 + 2 \frac{gk}{s^{2}} - 2 \left(\frac{gk}{s^{2}} \right)^{2} + \right. \\ &\left. + 2 \left(\frac{gk}{s^{2}} \right)^{3} - 2 \left(\frac{gk}{s^{2}} \right)^{4} \right] dk = \overline{\varphi}_{1} + \frac{2\underline{\psi}}{s^{2}} \frac{\partial \overline{\varphi}_{1}}{\partial z} + \\ &\left. + 2 \frac{\overline{\varphi}_{1}}{s^{3}} \frac{\partial \overline{\varphi}_{1}}{\partial z^{2}} - 2 \frac{\underline{\psi}_{1} \overline{\psi}_{1}}{s^{6}} \frac{2\underline{g}^{4}}{\partial z} + \frac{2\underline{g}^{4}}{s^{6}} \frac{\partial \overline{\varphi}_{1}}{\partial z} \right]. \end{split}$$

Здесь воспользовались формулой (1.20) и тем, что дифференцирование по 2 интеграла соответствует умножению на (-k) подинтегрального выражения. Мы нашли изображение Φ_1^0 . Для нахождения Φ_1^0 с делаем обратиое преобразование Лапласа. Пользуемся теоремой о свертие. Тогда

$$\varphi_1^0 = \Phi_1^0 + 2\sum_{n=1}^{\infty} \frac{g^n}{(2n-1)!} \int_0^{t-\frac{x_1}{x_2}} (t')^{2n-1} \frac{\sigma^n \Phi_1(t-t', r, z)}{\sigma z} dt'$$

В дальнейшем для простоты рассматривая постоянную екорость $f'(t) = t_n$ имеем

$$r_{k} = 3 (v_{1}t - z_{1});$$
 $r_{k} \frac{\partial r_{k}}{\partial z_{1}} = -3! (v_{0}t - z_{1})$

и из (1.20')

$$\Phi_1^0(t-t', r, z) = \left(t-t'-\frac{z_1}{v_0}\right) \frac{\beta v_0^2}{2} \frac{1}{R_1}$$

Из (1.12) имеем

$$\varphi_0^0 = -\frac{\beta^2 v_0^2}{2} \left(t - \frac{z_1}{v_0}\right) \frac{1}{R_0}$$

Torga

$$\begin{split} \varphi^0 &= \varphi^0_0 + \varphi^0_1 = -\frac{\beta^2 v_0^2}{2} \bigg(t - \frac{z_1}{v_0} \bigg) \frac{1}{R_0} + \varphi^0_1 + \\ &+ 2g \int_0^{t-\frac{z_1}{v_0}} t' \left(t - t' - \frac{z_1}{v_0} \right) \frac{\beta^2 v_0^2}{2} \frac{\partial}{\partial z} \left(\frac{1}{R_1} \right) \partial t' + \\ &+ \frac{g^2}{3} \int_0^{t'^3} t'^3 \left(t - t' - \frac{z_1}{v_0} \right) \frac{\beta^2 v_0^2}{2} \frac{\partial^2}{\partial z^2} \bigg(\frac{1}{R_1} \bigg) dt' + \\ &+ \frac{g^3}{60} \int_0^{t'^5} t'^5 \bigg(t - t' - \frac{z_1}{v_0} \bigg) \frac{\beta^2 v_0^2}{2} \frac{\partial^3}{\partial z^3} \bigg(\frac{1}{R_1} \bigg) dt' + \\ &+ \frac{2g^4}{7!} \int_0^{t'^7} \bigg(t - t' - \frac{z_1}{v_0} \bigg) \frac{\beta^2 v_0^2}{2} \frac{\partial^3}{\partial z^4} \bigg(\frac{1}{R_1} \bigg) dt' \end{split}$$

Отсюда найдем

$$\begin{split} \frac{\partial \varphi^0}{\partial t} &= -\frac{v_0^2 \beta^2}{2} \frac{1}{R_0} + \frac{v_0^2 \beta^2}{2} \frac{1}{R_1} + \frac{g_1^{9^2} v_0^2}{2} \left(t - \frac{z_1}{v_0}\right)^2 \frac{\partial}{\partial z} \left(\frac{1}{R_1}\right) + \\ & \pm \frac{g^2 \beta^2 v_0^2}{24} \left(t - \frac{z_1}{v_0}\right)^4 \frac{\partial^2}{\partial z^3} \left(\frac{1}{R_1}\right) + \frac{g_1^{9^2} v_0^2}{6!} \left(t - \frac{z_1}{v_0}\right)^6 \frac{\partial^3}{\partial z^3} \left(\frac{1}{R_1}\right) + \\ & + \frac{g^4 \beta^2 v_0^2}{8!} \left(t - \frac{z_1}{v_0}\right)^6 \frac{\partial^4}{\partial z^4} \left(\frac{1}{R_1}\right) \end{split}$$

FAC-

$$R_0 = |(z_1 - z)^2 + r^2; R = |(z_1 - z)^2 + r^2$$

Имеем, что

$$\mathbf{c} = \int\limits_{0}^{\infty} \varphi^{0} dz_{1}$$

Следовательно,

$$\frac{\partial z}{\partial t} = \int_{0}^{\infty} \frac{\partial \phi}{\partial t} dz,$$

Вычисляя интегралы, получим — для произнольных r, z, t. При вычислении $\frac{\partial c}{\partial t}$ на геле при $r=r_k$ учитывается, что r_k мало и им можно пренебречь там, где это не приводит к особенностям. После втих упрощений для $\frac{\partial c}{\partial t}$ имеем

$$\frac{\sigma_{\overline{\varphi}}}{2} = \frac{4z}{2} \ln \frac{4z}{\overline{g}^{*}(v_{0}t - z)} \frac{g^{*}(z + v_{0}t)^{2}}{2} \ln \frac{v_{n}t + z}{z} + \frac{\beta^{2}v_{0}^{2}}{2} \ln \frac{v_{n}t + z}{z} + \frac{g^{2}(z + v_{0}t)^{2}}{3v_{0}^{6}} + \frac{(z + v_{0}t)^{3}}{3v_{0}^{6}} + \frac{g^{4}(z + v_{0}t)^{4}}{12v_{0}^{8}} \left[-\frac{2^{2}v_{0}^{2}}{2} \left[-\frac{1}{R} \left(\overline{s} - \frac{1}{3v_{0}} + \frac{1}{12v_{0}^{2}} + \frac{g^{4}t^{5}}{60v_{0}^{3}} \right) + \frac{1}{R^{3}} \left(\frac{z}{12} - \frac{1}{360} - \frac{g^{3}t^{2}z}{60v_{0}} - \frac{2g^{4}t^{7}}{7!v_{0}} + \frac{2zg^{4}t^{8}}{6!v_{0}^{2}} \right) - \frac{1}{R^{3}} \left(\frac{z}{120} - \frac{18\sigma^{4}t^{8}z}{8!} + \frac{48g^{4}z^{2}t^{7}}{8!v_{0}} \right) + \frac{30\sigma^{4}t^{8}z^{3}}{8!R^{7}} - \frac{2gt}{6!v_{0}^{3}} - \frac{z^{3}}{v_{0}^{3}} - \frac{2gt}{2v_{0}^{2}} - \frac{z^{3}}{2v_{0}^{2}} - \frac{2g^{4}}{2v_{0}^{2}} - \frac{z^{3}}{2v_{0}^{2}} - \frac{25g^{4}(v_{0}t + z)^{4}}{144v_{0}^{2}} + \frac{g^{4}z^{2}(v_{0}t + z)^{3}}{3v_{0}^{8}} - \frac{g^{4}z^{2}}{48v_{0}^{8}} - \frac{g^{4}z^{2}}{4v_{0}^{8}} + \frac{25g^{4}(v_{0}t + z)^{4}}{9v_{0}^{8}} \right]$$

$$= \frac{g^{4}z(v_{0}t - z)^{3}}{3v_{0}^{8}} - \frac{g^{4}z^{2}}{48v_{0}^{8}} - \frac{g^{4}z^{2}}{4v_{0}^{8}} + \frac{25g^{4}(v_{0}t + z)^{4}}{9v_{0}^{8}} \right]$$

$$= \frac{g^{4}z(v_{0}t - z)^{3}}{3v_{0}^{8}} - \frac{g^{4}z^{2}}{48v_{0}^{8}} - \frac{2g^{4}(v_{0}t + z)^{4}}{4v_{0}^{8}} + \frac{25g^{4}(v_{0}t + z)^{4}}{9v_{0}^{8}}$$

$$= \frac{g^{4}z(v_{0}t - z)^{3}}{3v_{0}^{8}} - \frac{g^{4}z^{2}}{48v_{0}^{8}} - \frac{2g^{4}(v_{0}t + z)^{4}}{4v_{0}^{8}} + \frac{25g^{4}(v_{0}t + z)^{4}}{9v_{0}^{8}}$$

$$= \frac{g^{4}z(v_{0}t - z)^{3}}{3v_{0}^{8}} - \frac{g^{4}z^{2}}{48v_{0}^{8}} - \frac{2g^{4}(v_{0}t + z)^{4}}{4v_{0}^{8}} - \frac{25g^{4}(v_{0}t + z)^{4}}{9v_{0}^{8}} + \frac{25g^{4}(v_$$

Давление вычисляется по формуле

$$\frac{p}{20} = -\frac{\partial z}{\partial t} + gz + \frac{p_0}{p_0} - \frac{V^2}{2}$$
 (1.22)

гле ро плотность жидкости.

Сила сопротивления через давление $P = p - p_0$ найдется по формуле

$$R = \int_{0}^{v_{0}t} P\beta 2\pi\beta \left(v_{0}t - z\right) dz = -2\pi\rho_{0}\beta^{2} \int_{0}^{v_{0}t} \left\{\frac{\partial \varphi}{\partial t} - g\left(1 - \frac{\rho'}{\rho_{0}}\right)z + \frac{\beta^{2}v_{0}^{2}}{2}\right\} \left(v_{0}t - z\right) dz$$

$$(1.23)$$

где р' -- плотность конуса.

Ввиду малости члена $\frac{1}{2}$ в нем оставлено только основное слагаемое $\frac{1}{2}=\frac{1}{2}$ на конусе. Вычисляя выражения в R, можно пайти

 $R = 2\pi\rho_0 \beta^2 J$, rae

$$\begin{split} f &= \frac{v_0^4 t^2 \beta^2}{4} \left(\ln 4 \beta^2 + 1 \right) - \frac{g v_0^3 t^4 \beta^3}{2} \left(\ln \frac{2}{\beta} - \frac{8}{\beta} \ln 2 - \frac{1}{\beta} \right) + \\ &+ \frac{g^2 \beta^2 v_0^2 t^4}{24} \left(\frac{1}{\beta} - 5 \ln \frac{2}{\beta} + 7.2 \right) + \frac{\beta^2 v_0 t^5 g^3}{6!} \left(\frac{6}{\beta} - 36 \ln \frac{2}{\beta} + 78 \right) + \\ &+ \frac{\beta^2 g^4 t^6}{8!} \left(- \frac{1}{\beta^3} + \frac{56}{\beta} - 392 \ln \frac{2}{\beta} - 300 \right) - g \left(1 - \frac{\rho'}{\rho_0} \right) \frac{v_0^3 t^3}{6} \end{split}$$

 $A_{\Lambda S} g = 0$ имеем

$$R = -2\pi \gamma_0 \beta^3 \frac{v^4 t^2}{4} (1 + \ln 4\beta^2)$$

Korga g - 00

$$\varphi_1^0 = -\frac{\beta^2 v_0^2}{2} \left(t - \frac{z_1}{v_0}\right) \frac{1}{V(z_1 + z)^2 + r^2}$$

и на конусе получим

$$\frac{\partial \varphi}{\partial t} = -\frac{\beta^2 v_0^2}{2} \left(\ln \frac{v_0 t - z + 1}{-z + \sqrt{z^2 + r^2}} + \frac{1}{2} + \frac{v_0 t + z + 1}{z + \sqrt{z^2 + r^2}} \right) = -\frac{4 v_0 t + z}{2} \ln \frac{4 (v_0 t + z)}{(v_0 t - z)}$$

При $\rho' > \rho_0$ $R \to -$, при $\rho' < \rho_0$ $R \to +\infty$, при $\rho' = \rho_0$

$$R = \approx_0 3^{1} v_0^{4/2} \left(\ln \frac{8}{3} - \frac{3}{2} \right)$$

Сравнение со значением при g=0 показывает, что при $\theta \to 0$ R получает одинаковые значения, а при $\rho=0.2$ значение R при $g\to \infty$ приблизительно в 6 раз больше R при g=0.

Для анализа полученных результатов построим графики зависимости давления от z по (1.21), (1.22). Обозначая $t=\frac{z}{v_0t}$, подучим, удерживая малые порядка

Результаты расчетов по формуле (1.24) для ρ_{0} в функции от $\epsilon=-\frac{1}{2}$ приведены на фиг. 2, где пунктирной линией дано решение при $\rho_{0}=0$ для $\rho_{0}=0$. При этом выбрано $\rho_{0}=0.2$; $\rho_{0}=0.2$. График чанисимости $\rho_{0}=0.2$ дан на фиг. 3. Во всех расчетах, которые были сделавы, предполагалось, что ряд для $\rho_{0}=0.2$ сходится. Докажем это. Замения $\rho_{0}=0.2$ для $\rho_{0}=0.2$ докажем это. Замения $\rho_{0}=0.2$ докажем это.

Фиг. 3.

Фиг. 2.

$$\frac{\partial z^{0}}{\partial t} = \frac{1}{z-r} - \frac{g\left(t-\frac{z_{1}}{z_{0}}\right)^{2}}{2!\left(z+r\right)^{2}} + \frac{2g^{1}\left(t-\frac{z_{1}}{z_{0}}\right)}{4!\left(z+r\right)} - \frac{3!g^{1}\left(t-\frac{z_{1}}{z_{0}}\right)^{4}}{6!\left(z+r\right)} \pm \dots$$

Тогда получится ряд

$$\sum_{n=0}^{\infty} \frac{(-1)^n \left((-1)^{2n} \cdot n!\right)^{2n} \cdot n!}{(2n)! (z-r)^n}$$

который представляет знакоперсменный ряд с убывающими членами, поатому по теореме Лейбница ряд сходится. По абсолютной величине члены этого ряда меньше членов ряда

$$\sum_{n=0}^{\infty} \frac{(-1)^n g^n \left(t - \frac{z_1}{v_0}\right)^{2n}}{n! \left(z + r\right)^{n+1}}$$

Донолнительный член этого ряда $|r_n| < \frac{g}{(n+1)!}$, что позволяет оценить точность.

Можно получить также точную формулу для решения в форме интеграла. Так как f'(t) = v и для конуса $r_k = v(v_0 t - z_1)$, то

$$\frac{f'(t)}{2}r_{\mu}\frac{\sigma r_{k}}{\hat{\sigma}_{2}} = -\frac{1}{2}\left(\left(t - \frac{1}{v_{0}}\right)e^{-t}dt - \frac{1}{2}e^{-t}\frac{1}{s^{2}}\right)$$

Тогда получится

$$\bar{f}_{1}^{0} = -\int_{0}^{\pi} e^{-k(s_{1}+z)} f_{0}(kr) \frac{\tilde{g}^{2} v_{0}^{2}}{2} e^{-i\frac{z}{s_{0}}} \frac{1}{s^{2}} \frac{gk - s^{2}}{gk + s^{2}} dk$$

Вычисление пычетов в точках $s=\pm i\mid gk$, s=0 дает решение и виде

$$\begin{aligned} \varphi_1 &= -\frac{\varepsilon v_0}{2} \left(t - \frac{z_1}{v_0} \right) \frac{1}{\sqrt{(z_1 + z)^2 + r^2}} \\ &+ \varepsilon v_0 \int_0^\infty e^{-t(z_1 + z)} \frac{\int_0 \left(kr \right)}{\sqrt{gk}} \sin \left(\frac{gk}{\sqrt{t}} \left(t - \frac{z_1}{v_0} \right) \right) dk \end{aligned}$$

Переходя по (1.11) к φ_{21} получим $\varphi_{22} = \frac{1}{6}$ откуда получим

$$\frac{\partial p_1}{\partial t} = -\frac{\hat{p}^2 v_0^2}{2} \ln \frac{v_0 t + z + 1 (v_0 t + z)^2 + r^2}{z + V z^2 + r^2}$$

$$+ \sum_{k=0}^{\infty} \frac{v_{k}e^{-k}(kr)}{k^{2}v_{0}^{2} + gk} \left[-kv_{0}e^{-kv_{0}} + kv_{0}\cos V_{0}kt + V_{0}gk\sin V_{0}gkt \right] dk$$

Используя асимптотическое представление функций Бесселя для больших кг. применяя метод стационарной фазы, учитывая, что первое слагаемое в скобке дает при большом / малую более высокого порядка и имея ввиду.

что $\phi = \phi_0 + \eta_0$, окончательно получим выражение для $\frac{\partial z}{\partial t}$ на свободной поверхности определяем по формуле $\frac{\partial z}{\partial t}$

$$\zeta = \frac{v_0 \beta^3 V 2}{g \left(\frac{v_0^2 t^3}{4r} + tr \right)} \left(v_0 t \cos \frac{at}{4r} - r \sin \frac{at}{4r} \right)$$

Как видно из получениых формул, по поверхности жидкости распространяются диспергирующие волны, причем можно учесть и нелинейную постановку задачи о волнах [5—7].

§ 2. Проникание тонкого тела в весомую жилкость, ограниченную мембранои

В предположении, что жидкость ограничена упругой мембраной, завимающей плоскость z=0, вместо (1.4) можно получить

$$-\rho \frac{\partial}{\partial z} \left(\frac{\partial^2 \varphi}{\partial t^2} \right) + T \left[\frac{\partial}{\partial z} \left(\frac{\partial^2 \varphi}{\partial r^2} \right) + \frac{1}{r} \frac{\partial}{\partial z} \left(\frac{\partial \varphi}{\partial r} \right) \right] +$$

$$+ \psi_0 \frac{\partial^2 \varphi}{\partial t^2} - \rho_0 g \frac{\partial \varphi}{\partial z} = 0 \text{ при } z = 0$$
 (2.1)

гле ρ — плотность, T — натяжение мембраны. При выводе (2.1) использовано уравнение колебаний мембраны

$$\rho \frac{\partial^2 u}{\partial t^2} = T \left(\frac{\partial^2 u}{\partial r^2} + \frac{1}{r} \frac{\partial u}{\partial r} \right) - (\mu - p_0) \qquad (2.2)$$

условие на поверхности жидкость-мембрана — = 1 уравнение (1.3).

При этом считается, что тонкое тело прошло сквозь мембрану. Предполагая, что до входа в мембрану скорость тела была v_o' и пользуясь формулами, дающими распределение напряжения на теле при проникании в упругую среду с образованием области течения материала вблизи тела [4], можно получить скорость v_o тела при входе в жидкость. Соответствующее

решение о движении в безграничной жидкости имеет снова вид (1.10). (1.12).

Отраженное возмущение ищется в виде (1.16), и вместо (1.18) получится

$$\overline{A} = \frac{7k^3 + 9_0 gk + 9s^2 k - 9_0 s^2}{7k^3 + 8gk + s^2 k + 9_0 s^2}$$
 (2.3)

Подставляя (2.3) в (1.16) и совершая обратное преобразование Λ апласа по l, после вычисления вычетов в точках s=0

$$s = -i \sqrt{\frac{Tk^3 + \rho_0 gk}{\rho k + \rho_0}}$$

получим

$$\frac{\partial \varphi_1^0}{\partial t} = -\frac{\xi^2 v_0^2}{2} \frac{1}{V(z_1 + z)^2 + r^2} + \varphi_0 + v_0 \int_0^z \frac{e^{-k(z_1 + z)} \int_0^z (kr)}{\psi k + \varphi_0} \cos b \left(t - \frac{z_1}{v_0} \right) dk \tag{2.4}$$

где

$$b = \sqrt{\frac{Tk^3 + \nu_0 gk}{\nu_0 k + \nu_0}}$$

Тогда получим

$$\frac{\partial v}{\partial t} = \frac{\beta^2 v_0^2}{2} \ln \frac{v_0 t - z + \sqrt{(v_0 t - z)^2 + r^2}}{z + \sqrt{(v_0 t + z)^2 + r^2}} - \frac{\beta^2 v_0^2}{2} \ln \frac{v_0 t + z - \sqrt{(v_0 t + z)^2 + r^2}}{z - \sqrt{z + r^2}} + \frac{v_0 t - z - \sqrt{v_0 t + z}}{z - \sqrt{z + r^2}}$$

$$+ \frac{1}{2} \left(\frac{v_0 e^{-kz} \int_0^z (kr)}{(pk - y_0) \left(k^2 v_0^2 + b^2 \right)} (kv_0 \cos bt - b \sin bt - kv_0 e^{-k\pi t}) dk \right)$$
 (2.5)

Сила сопротивления находится по (1.23) в виде

$$R = -2\pi \rho_0 \beta^2 \left\{ \frac{\beta^2 \psi_0^4 t^2}{4} \left(3 + \ln \frac{\beta^2}{64} \right) - g \left(1 - \frac{\beta'}{\rho_0} \right) \frac{\psi_0^3 t^3}{6} + \cdots \right\}$$

$$+ \nu_0 r^2 v_0^2 \int \frac{v_0(v_0 t k - \frac{1}{2} - 1)}{k^2 (\rho k + \rho_0) (k^2 v^2 + b^2)} k v_0 \cos bt + b \sin bt - \kappa v_0 e^{-k v_0 t} dk$$
 (2.6)

Найдем приближенное решение для малых значений параметров

$$\gamma_{i}$$
 $i = \frac{\rho}{\rho_{0}v_{0}t}$; $\alpha = \frac{T}{\gamma_{0}v_{0}^{3}t}$

Для этого записываем

$$A = 1 - 2\sum_{n=0}^{\infty} \left(-1\right)^{n} \left(\frac{Tk^{3} - \rho_{0}gk + \rho s^{2}k}{2}\right)$$

н оставляем слагаемые с n=0; 1: 2. При этом получим

$$\frac{\partial z_{1}^{0}}{\partial t} = \frac{\beta^{2} v_{0}^{2}}{2} \left[\frac{1}{R} + g \left(t - \frac{z_{1}}{v_{0}} \right)^{2} \frac{\partial}{\partial z} \left(\frac{1}{R} \right) + \frac{T}{v_{0}} \left(t - \frac{z_{1}}{v_{0}} \right)^{2} \frac{\partial^{3}}{\partial z^{3}} \left(\frac{1}{R} \right) + \frac{2 T^{2} \left(t - \frac{z_{1}}{v_{0}} \right)^{4}}{4! v_{0}^{2}} \frac{\partial^{6}}{\partial z^{6}} \left(\frac{1}{R} \right) + \frac{2 g^{2}}{4!} \left(t - \frac{z_{1}}{v_{0}} \right)^{4} \frac{\partial^{2}}{\partial z^{2}} \left(\frac{1}{R} \right) + 2 \frac{v^{2}}{v_{0}^{2}} \frac{\partial^{2}}{\partial z^{2}} \left(\frac{1}{R} \right) + \frac{2 T p}{v_{0}^{2}} \left(t - \frac{z_{1}}{v_{0}} \right)^{2} \frac{\partial^{4}}{\partial z^{4}} \left(\frac{1}{R} \right) + \frac{T g}{3! v_{0}} \left(t - \frac{z_{1}}{v_{0}} \right)^{4} \frac{\partial^{4}}{\partial z^{4}} \left(\frac{1}{R} \right) + \frac{2 v g}{v_{0}} \left(t - \frac{z_{1}}{v_{0}} \right)^{2} \frac{\partial^{2}}{\partial z^{2}} \left(\frac{1}{R} \right) \right] \qquad (2.7)$$

$$r \text{ as } R = V \left(\overline{z_{1} + z} \right)^{2} + r^{2}$$

причем $\frac{\partial x_1}{\partial t} = \int\limits_0^{\infty} \frac{dx_1}{\partial t} dx_1$. Сила сопротивления находится по формуле

(1.23) и имеет во втором порядке значение

$$\begin{split} \frac{R}{2\pi_{10}^{\alpha}\beta^{3}v_{0}^{4}\ell^{2}} &= -\frac{(1+\ln 4\beta^{2})}{4} + \frac{\eta}{6\beta^{2}}\left(1-\frac{\rho'}{\rho_{0}}\right) + \\ &+ \frac{\eta}{2}\left(\ln\frac{2}{\beta} - \frac{8}{3}\ln 2 - \frac{1}{3}\right) - \frac{\alpha}{2}\left(\frac{2}{\beta} + 4\ln\beta - 2\right) - i\ln 2\beta - \\ &- \frac{\alpha^{2}}{24}\left(\frac{9}{\beta^{3}} + \frac{24}{\beta^{3}} + \frac{80}{\beta^{3}} + \frac{48}{\beta^{2}} + \frac{168}{\beta}\right) - \frac{\eta^{2}}{24}\left(\frac{1}{\beta} - 5\ln\frac{2}{\beta} + 7, 2\right) - \\ &- 2i^{2}\left(\frac{1}{\beta} + \ln\beta\right) + \alpha\lambda\left(\frac{1}{\beta^{3}} - \frac{2}{\beta}\right) + \frac{\eta^{2}}{12}\left(\frac{1}{\beta^{3}} + \frac{4}{\beta^{2}} - \frac{12}{\beta} + 36\ln\frac{2}{\beta}\right) - \\ &- \lambda\eta\left(\frac{1}{8} - 3\ln\frac{2}{\beta} + 2\right) \end{split} \tag{2.8}$$

В первом порядке

$$\begin{split} \frac{R}{2\pi\rho_0\beta^4v_0^4t^2} &= -\frac{(1+\ln 4\frac{\beta^2}{\epsilon^2})}{4} + \frac{\eta}{6\beta^2}\Big(1-\frac{\rho'}{\rho_0}\Big) + \\ &+ \frac{\eta}{2}\Big(\ln\frac{2}{\beta} - \frac{8}{3}\ln 2 - \frac{1}{3}\Big) - \frac{\alpha}{2}\Big(\frac{2}{\beta} + 4\ln\beta - 2\Big) - \lambda\ln 2\beta \end{split}$$

Как видно из полученных формул, оставляя члены первого порядка по η , λ , α , получим, что увеличение η и λ увеличивает R, в то время как увеличение α уменьшает силу сопротивления, кроме того, члены второго по-

рядка имеют большие коэффициенты при $\beta \sim 0$. Поэтому сходимость рядов по η , λ , α вызывает сомнение, и (2.8) следует понимать лишь как асимптотическое разложение.

Институт межаники АН Армянской ССР Артикский индустриально-технологический техникум

Поступила 25 Х 1979

Ս. Գ. ԱՎԱԳԵԱՆ, Ա. Գ. ԲԱԳԳՈԵՎ

ԿՇԻՌ ՈՒՆԵՑՈՂ ՀԵՂՈՒԿԻ ՄԵՋ ՄԱՐՄԻՆՆԵՐԻ ԹԱԺԱՆՅՄԱՆ ՈՐՈՇ ԽՆԿԻՐՆԵՐ

Uldundensid

Դիտարկվում են բարակ պինդ մարմնի կշիռ ունեցող անահղմելի հեղուկի մեջ քատրանցնու վերաբերյալ իւնդիրներ։ Սկզբում լուծվել է իւնդիրը ազատ մակնրևույթով հեղուկի համար։ Գտնվել է Տնշման բաշխումը մարմնի վրա և դիմադրության ուժի արտահայտությունը ինտեղրայի տեսբով։ Վերածելով ըստ դ = — պարամետրի, որտեղ 1-ն ժամանակն է, «-ն ծանրության ուժի

արազացումն է, Ե-ն հերքափանցման արագությունն է, նչված մեծությունները ստացվել են մինչև դ^գ ճշտությամբ։

Լուժվել է նաև այն խնդիրը, հրը հեղուկը ծածկված է թաղանթով։

րացնում է դիմադրության ուժը։ Ցույց է տրված, որ ըստ դ, ռ, α պարամետրիր հացնում են, իսկ α-ն փորացնում է դիմադրության ուժը։

SOME PROBLEMS IN PENETRATION OF BODIES INTO HEAVY FLUID

S G. AVAGIAN, A. G. BAGDOEV

Summary

Some problems in penetration of a thin rigid body into heavy incompressible fluid are considered. Initially the problem for a fluid of free surface is solved. The pressure distribution over the body and the value of resistance force are found in a quadrature form. The expansion

into parameter v_0 where t is the time, g is the acceleration of

gravity. V is the penetration speed, allows to obtain the foregoing values to the accuracy of ... The problem of penetration into fluid bounded by an elastic membrane is also solved. It is shown that in the first order expansion into powers of 7, 1, 2, where parameter 1 characterizes the membrane's density, and .. is its tension, the presence of and 1 increases, and the presence of a decreases the resistance force.

ЛИТЕРАТУРА

- 1. Гризорян С. С. Некоторые задачи гидродинамики тонких тел. Канд. дисс., МГУ. 1956.
- 2. Свіононян А. Я. Прониканне М., Изд. МГУ, 1974
- 3. Багдаев А. Г. Пространственные нестационарные движения сплошной среды с ударными волнами. Ереван. Изд. АН Арм. ССР. 1961.
- 4. Богдосо А. Г., Мартиросян А. К., Саркисян Г. А. Решение некоторых пестационарных задач яванмодействия тел с упругими преградими. МТТ, 1978, № 3.
- 5. Уизем Дж. Б. Аннейные и нелинейные волны. М., «Мир», 1977.
- 6. Ваглося А. Г. Определение окрестности фронтов яоли в пространственной задаче. Изв. АН Арм. ССР, Механика, 1977, т. ХХХ, № 6.
- Карпман В. И. Нелинейные волны в диспергирующих средах. Новосибирск, Наука-1973.

If by Gillen

XXXIII, No. 4, 1980

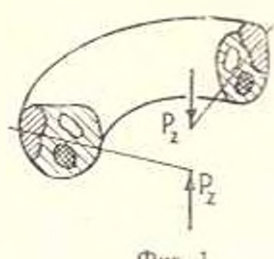
Механика

П. В. ГАЛПЧЯН

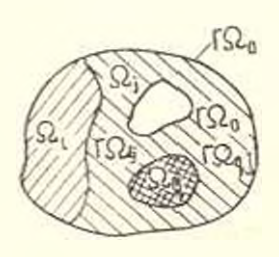
ПЛАСТИЧЕСКОЕ КРУЧЕНИЕ КРИВОГО СТЕРЖНЯ. СОСТАВЛЕННОГО ИЗ РАЗЛИЧНЫХ МАТЕРИАЛОВ

Рассматривается радача о пластическом кручении кривого стержия и виде сектора кругового кольца, составленного на раздичных материалов. Постоянное по длине меридиональное сечение составного стержия обраауется из областей -1 (l=1,2,...,N), соответствующих различным однородным, изотропным материалам (фиг. 2). Стержень скручивается противоположными силами Ра, действующими на ториевых сечениях по оси кольца (фиг. 1). Материалы соответствующих областен 🛂 подчиняются условию изотролного упрочисиия

Кручение призматических стержней, составленных из различных материалов, в линейно-упругой постановке было рассмотрено в [1-7]. Кручение однородных, изотропных кривых стержией ил упрочинющегоси матернала рассмотрено в [8, 9]. Достаточно полная библиография по атой области содержится в [8, 9, 12, 13].



Фиг. 1.



DHr. 2.

В настоящей работе исследованы случан, когда контур области обравуется на координатных линий. Обобщается теорема о циркуляции деформации савига. Предполагается, что каждый из материалов является упруго-пластическим, причем пластическая часть деформации обладает степенным упрочиением. Исследуются условия простого нагружения для этих материалов.

Рассматриваются две задачи. В первом случае стержень состоит из нескольких слоев. Эта задача рассмитривается в точнои постановке. В частном случае двухслойного стержия в явном виде выводится формула для функций напряжений.

Во втором случае рассмотрены двухслойный тонкостенный стержень намкнутого профиля. Для профиля в виде кольцевого сектора получены приближенные решения и приведен численный пример.

. Постановка задачи. Принимается сферическая система координат r. θ_1 связанная с прямоугольной системой x, y, z по формулам $x=r\sin\theta\cos\varphi$, $y=r\sin\theta\sin\varphi$, $z=r\cos\theta$. Ось z совнадает с осью вольца. Обозначим через $\Gamma\Omega_0$ границу области всего меридионального сечения стержия Ω_0 через $\Gamma\Omega_I$ —границу области Ω_I и через $\Gamma\Omega_I$ —янию раздела смежных областей Ω_I и Ω_I , причем $\Gamma\Omega_{II}$ либо целиком лежит внутри Ω_0 , либо пересекается с $\Gamma\Omega_0$ под углом, отличным от вуля. В общем случае полого составного стержия. $\Gamma\Omega_0$ состоит из вескольких замкнутых линий $\Gamma^{(k)}\Omega_0$ ($k=0,1,2,\ldots,m$) (фиг. 2).

Зависимости между компонентами тензоров деформаций и напряжений и Ω_I имеют вид

$$\mathbf{\epsilon}_{jk}^{(t)} = f_{l}\left(T_{l}\right)\left(\mathbf{s}_{jk}^{(t)} - \mathbf{s}^{(t)}\mathbf{s}_{jk}\right)/2G_{l}, \quad f_{l} \quad k = 1, 2, 3 \tag{1.1}$$

Здесь T_i интенсивность касательных папряжений, T_i функция, характеризующая упрочнение материала, среднее давление в точке, \hat{a}_{jk} — симнол Кронскера, G_i — модуль сдвига. $(T_i) = 1$ соответствует линейно-упругому материалу. Упругая часть составляющих полной деформации в (1.1) будет

$$s_{ik}^{*_I} = (s_{ik}^{(i)} - s_{ik}^{(i)} \delta_{ik})/2G_I$$

Предполагается, что все компоненты напряжения тождоственно равны нулю, за исключением и том которые не зависят от ф. Тогда, как и при кручении однородных круговых стержней [8], получаем следующие выражения для компонентов деформаций:

$$2\gamma_{\varphi r}^{(l)} = r \frac{\partial}{\partial r} \left(\frac{u_{\varphi 0}^{(l)}}{r} \right) + \frac{A}{r} \operatorname{ctg} \theta, \qquad 2\gamma_{\psi \varphi}^{(l)} = \sin \theta \frac{\partial}{\partial \theta} \left(\frac{u_{\varphi 0}^{(l)}}{r \sin \theta} \right) - \frac{A}{r}$$
 (1.2)

гле и — произвольная функция r и 0, A = const - крутка. Соотношения (1.2) справедливы в замкнутой области Ω_I .

Для перемещений будем иметь

$$u_{c}^{(l)} = u_{c} = A \cos \theta, \quad u_{c}^{(l)} = u_{b} = -A \phi \sin \theta, \quad u_{c}^{(l)} = u_{c0}^{(l)}(r, \theta) - Br \sin \theta$$

$$B = \frac{1}{r^{*}} u_{c0}^{(l)}(r^{*}, \pi) - \frac{\partial u_{c0}^{(l)}(r^{*}, \pi/2)}{\partial r}, \quad r^{*} \in [r_{1}, r_{2}]$$

гас / и — фиксированные значения соответствению / и l.

Из выражений (1.2) следует уравнение совместности деформаций

$$\frac{\partial \gamma_{\theta_{\varphi}}^{(l)}}{\partial r} - \sin \theta \frac{\partial}{\partial \theta} \left(\frac{\gamma_{\varphi r}^{(l)}}{r \sin \theta} \right) = \frac{A}{r^2 \sin^2 \theta}$$
 (1.3)

Вводя функцию напряжений Ф

$$= \frac{2AG_l}{r^3 \sin^2 \theta} \frac{\partial \Phi^{(l)}}{\partial \theta} \qquad \qquad e^{(l)}_{\gamma \theta} = \frac{2AG_l}{r^2 \sin^2 \theta} \frac{\partial \Phi^{(l)}}{\partial r} \tag{1.4}$$

яз (1.1) и (1.3) получим уравнения, которым должны удовлетворять функции $\Phi^{(r)}$

$$\frac{\partial}{\partial r} \left[\frac{f_{\lambda}(T)}{r^2 \sin^2 \theta} \frac{\partial \phi^{(l)}}{\partial r} \right] = \sin^2 \frac{\partial}{\partial \theta} \left[\frac{(T)}{r^4 \sin^2 \theta} \frac{\partial \phi^{(l)}}{\partial \theta} \right] = \frac{1}{r^2 \sin^2 \theta}$$
(1.5)

когда $(r, 0) \in \Omega_I - \Gamma \Omega_I$

$$T_{l} = \frac{2AG_{l}}{r^{2}\sin^{2}\theta} \sqrt{\left(\frac{\partial\Phi^{(l)}}{\partial r}\right)^{2} + \left(\frac{1}{r}\frac{\partial\Phi^{(l)}}{\partial\theta}\right)^{2}}$$

Здесь Ф представляет функцию напряжений Ф в области 21.

Рассматривая условия на боковой поверхности стержия, приходим к условию $\Phi = \cos t$ на $\Gamma \Omega_n$. В случае полого составного стержия с m полостями на каждом контуре $\Gamma^{-1}\Omega$, функция Φ принимает различные постоянные значения.

Из условия равновесия бесконечно малого элемента, находящегося в окрестности линии раздела $\Gamma\Omega_H$ смежных областен Ω_L и Γ_L имеем

$$G_i \Phi^{(i)} = G_i \Phi^{(j)} + c_{ij}, \text{ когда } (r, \theta) \in \Gamma^{(2)}, \tag{1.6}$$

гае с произвольная постоянная.

Подставив выражения $\gamma_{\rm cr}^{(l)}$ и \mathbb{R}^{l} из (1.1) в (1.2), получим

$$f_{t}(T_{l}) \frac{\tau_{\varphi r}^{(l)}}{G_{l}} = r \frac{\partial}{\partial r} \left(\frac{u_{\varphi 0}^{(l)}}{r} \right) + \frac{A}{r} \operatorname{ctg} \theta$$

$$f_{t}(T_{l}) \frac{\tau_{\theta \varphi}^{(l)}}{G_{t}} = \sin \theta \frac{\partial}{\partial \theta} \left(\frac{u_{\varphi 0}^{(l)}}{r \sin \theta} \right) - \frac{A}{r}$$
(1.7)

Дифференциальные соотношения (1.7) справедливы в Γ_{ij} Умчожав первое из них на cos (t, θ), второе на cos (t, r), вычитая результаты и используя (1.4), находим

$$= \frac{2Af_t(T_t)}{r^2 \sin^2 \theta} \frac{dt}{dt} - r \sin^4 \frac{\theta}{\theta s} \left(\frac{u}{r \sin \theta} \right) + A \left(\frac{\cot g \theta}{r} \frac{dr}{ds} - \frac{\theta \theta}{ds} \right) (1.8)$$

где f и · — нормаль и касательная к Г $\Omega_{4/4}$

Аналогичное (1.8) соотношение получаем, приближаясь к лишци раздела $\Gamma \Omega_D$ со стороны области Ω_D . Вычитая эти соотношения и прилимая но внимание пепрерывность перемещения u_{\perp} , находим условия

$$f_{r}(T_{l}) \frac{\partial \Phi^{(l)}}{\partial t} = f_{r}(T_{l}) \frac{\partial \Phi^{(l)}}{\partial t}, \quad \text{korma} \ (r, \theta) \in \Gamma \Omega_{l_{l}}$$
 (1.9)

В общем случае полого составного стержня можно принимать $\Phi=0$ на внешнем контуре $\Gamma^{(0)}$. Тогда произвольные постоянные c_{ij} в (1.6) также равны нулю. Что касается значений Φ на внутренних контурах

 $\Gamma^{(k)} \supseteq_0 (k=1,2,...,m)$, то они определяются из уравнения, являющегося обобщением теоремы о циркуляции сдвига при кручении.

Пусть $\Omega \subset \Omega_I$. Интегрируя обе части уравнения (1.5) по области Ω и переходя к криволинейному интегралу, получим

$$\oint_{\Gamma_{2}^{2}} \frac{1}{r^{\circ} \sin^{3}\theta} f_{i} \left(\frac{A}{r^{\circ} \sin^{2}\theta} | \operatorname{grad} \Phi^{(l)}| \right) \frac{d\Phi^{(l)}}{dt} ds = \oint_{\Gamma_{2}^{3}} \frac{d\theta}{r \sin^{3}\theta} \tag{1.10}$$

где t и s — внешняя пормаль и дуга $\Gamma\Omega$. Соотношение (1.10) было получено в предположении, что $\Gamma\Omega \subset \Omega_t$, но используя условие (1.9), его можно обобщить и в случае, когда $\Gamma\Omega \subset \Omega_s$.

Таким образом, задача сводится к определению функции Φ , удовлетворяющей в соответствующих областях $\Omega_I = \Gamma \Omega_I$ уравнению (1.5), граничному условию $\Phi = \text{const}$ на $\Gamma \Omega_a$ и условиям на линиях раздела $\Gamma \Omega_{IJ}$ (1.6), (1.9).

Для силы Р. пмеем следующее выражение:

$$P_{s} = 2A \sum_{l=1}^{N} G_{l} \iint_{\Gamma^{2}} \frac{\Phi^{(l)} d^{l}_{l}}{r \sin \theta} = \frac{\Phi^{(l)} \cos \theta dr}{r^{2} \sin^{2} \theta} + 2A \sum_{l=1}^{N} G_{l} \iint_{\Gamma^{2} \sin^{2} \theta} d\Omega_{r} (1.11)$$

В случае кручения сплошных составных стержней будем иметь

$$P_z = 2A \sum_{i=1}^{N} G_i \int \int \frac{dx^{(i)}}{r^2 \sin^2 x} dx^{(i)}$$
 (1.12)

2. Меридиональное ссчение в виде кольцевого сектора. Рассмотрим случай кручения сплошного составного стержия, когда контур области образуется из координатных линий. Эакон упрочнения материала

возьмем в виде $f_I(T_I) = 1 + \lambda_I (T_I/2G_I)^{*I}$, где λ_I и $*I_I$ положительные физические параметры. Такой эркон упрочиения следует из общих соотношений теории пластического течения в случае простого вагружения.

Действительно, если принять в качестве дополнительного соотношешия энергетическое условие изотропного упрочисния [11]

$$T = f_*(A_\rho)$$
 has $A_\rho = \Phi_*(T)$ (2.1)

гле $f_*(A_\rho)$ и $\Phi_*(T)$ — характерные для ланного материала функции, A — работа иластической деформации, то согласно этой теории полные вриращения компонентов тензора деформации будут

$$d\varepsilon_{jk} = d\varepsilon_{jk}^e + F_*(T) \, \varepsilon_{jk} dT \tag{2.2}$$

rate $F_{a}(T) = \Phi'(T)/2T^{2}$, $s_{ik} = s_{jk} - s_{ik}$

Известно, что функции f_- и Φ_* не зависят от лида напряженного состояния и могут быть определены, например, по кривой рас-

тяжения; тогда $T=z_1/1$ 3, а A_p является функцией пластического относительного удлинения

Примем степенную аппроксимацию

$$z_1 = A_1 (z_1^p)^{\mathsf{T}} \tag{2.3}$$

где $A_{ij} \times > 0$ — постоянные. Тогда

$$A_{p} = A_{1} \int_{0}^{p} (\varepsilon_{1}^{p})^{x} d\varepsilon_{1}^{p} = \frac{A_{1}}{x+1} (\varepsilon_{1}^{p})^{x+1}$$
 (2.4)

Исключая в из (2.3) и (2.4), получаем

$$\Phi_* (T) = \mathbb{Z}_* T^{**}, \quad F_* (T) = \frac{1}{2} \mathbb{Z}_{*} \mathbb{Z}^* T^{**-3}$$
 (2.5)

ГДĊ

$$X_{n} = \frac{3^{\frac{x+1}{12x}}}{(x-1)A_{1}^{+x}} \qquad n^{*} = \frac{x+1}{x}$$

Подставив (2.5) в (2.2), будем иметь

$$d\varepsilon_{jk} = d\varepsilon_{jk}^{\epsilon} + \frac{1}{2} \mathcal{I}_{ab} v^{a} T^{a^{k+1}} \varepsilon_{jk} dT \tag{2.6}$$

 ϵ_{jk} и ϵ_{ik} в (2.6) содержат некоторый параметр t, нулевое значение которого соответствует началу пропесса пагружения. Интегрируя (2.6) по t от 0 до t, имея в виду, что $\epsilon_{jk}=0$ и $\epsilon_{ik}=0$, когда t=0, получаем

$$s_{jk} = v_{jk}^s + \frac{\gamma_{ij}u^s}{2(u^o - 2)} \left(s_{jk}T^{\gamma^{s-2}} - \int_{-\infty}^{s} T^{\gamma^{s-2}} ds_{jk} \right)$$
 (2.7)

Долустим, что поверхностные нагрузки p приложенные к телу, как и напряжения ϵ_{11} возрастают пропорционально параметру t

$$p_j = tp_j, \quad z_{jk} - tz_{jk} \tag{2.8}$$

где p_j - заданные функции только координат точек поверхности тела, — функции только координат.

Подставив второе на (2.8) в (2.7), получим

$$\varepsilon_{jk} = \varepsilon_{jk}^e + \lambda \left(\frac{T}{2G}\right)^{\gamma} \frac{s_{jk}}{2G}$$
(2.9)

$$= \frac{\frac{7_{0} \mu^{0} (2G)}{2(\mu^{0} - 1)}}{2(\mu^{0} - 1)} = 2 - 2$$

Пусть при t=1 в теле будут напряжения $\mathbf{1}_{t}$ и деформации Эти пеличины, следовательно, удовлетворяют дифференциальным уравнениям равновесия при отсутствии массовых сил, условиям на поверхности, уравнениям (2.9) и уравнениям неразрывности деформаций, причем последним уравнениям μ и μ удовлетворяют в отдельности.

Если параметру сообщено некоторое значение t, то напряжения — и соответствующие им леформации $tz_{\perp}^{*} \cdot t_{\perp}^{*}$ определение по (2.9), также удонлетворяют нышеуказанным урлянениям.

Отметим, что доказанное справедливо и для сжимаемого и для несжимаемого материалон.

Таким образом, при малых деформациях и при энергетическом условии упрочисния (2.5) реализуется простое нагружение, когда внешние нагрузки р, возрастают пропорционально параметру l.

При довольно жестких ограничениях, когда материал несжимаемый и витенсивности деформаций сдвига Γ и касательных напряжений T связаны степенной зависимостью $\Gamma=2i.T$, условие простого нагружения чказано A. A. Ильюшиным [11].

В случае неоднороднего матернала с упрочнениями различных андов у, (2.9), простое нагружение осуществляется, когда у, различны, то простое нагружение имеет место только внутри областей в точках, достаточно отдаленных от поверхностей раздела смежных областей.

Решение $\Phi(r,\,0)$ при условии $\Phi=0$ на $\Gamma\Omega_{r}$ ищем в виде

$$\Phi^{(l)} = \underline{\Sigma} \tag{2.10}$$

Преобразуя (1.5), подставляя в него разложение (2.1) и вводя новую переменную $\omega = 0$ — л 2, приходим к системе рекуррентных граничных вадач

$$\frac{2 \sigma \Phi_n^{(l)}}{2} = \frac{3}{r} \frac{\sigma \Phi_n^{(l)}}{2} = \frac{1}{r^2} \frac{\sigma \Phi_n^{(l)}}{\sigma \omega^2} = \frac{1}{r^2} \frac{\sigma \Phi_n^{(l)$$

$$\frac{\partial \Phi_0^{(l)}}{\partial t} = \frac{\partial \Phi_0^{(l)}}{\partial t} \quad \text{kgraa} \quad (r; \ \omega) \in \Gamma\Omega_{Ij}$$

$$\lambda_I^{n+1} \left(\frac{\partial \Phi_{n+1}^{(l)}}{\partial t} + \Theta_n^{(l)} \right) = \lambda_j^{n+1} \left(\frac{\partial \Phi_{n+1}^{(l)}}{\partial t} + \Theta_n^{(l)} \right)$$

$$\text{kgraa} \quad (r, \ \omega) \in \Gamma\Omega_{Ij} \quad (n = 0, 1, 2, ...)$$

где $Q_a^{(l)}=-1$, а при $n\geqslant 1$

$$Q_n^{(l)} = \sum_{k=0}^{n-1} \operatorname{grad} F_k^{(l)} \operatorname{grad} \Phi_{n-k-1}^{(l)} - \sum_{k=0}^{n-1} F_k^{(l)}$$

 Π ри $v_{r} = 2$

$$F_n^{(l)} = \frac{A}{r^l \cos^l n} \sum_{k=0}^{\infty} \operatorname{grad} \Phi_k^{(l)} \operatorname{grad} \Phi_{n-k}^{(l)}$$

$$\Theta_n^{(l)} = \sum_{k=0}^{\infty} F_k^{(l)} - \frac{\partial \Phi_{n-k}}{\partial t}$$

Здесь Фо соответствует липейно-упругому решению.

Можно показать, что задача (2.11) имеет единственное решение в тождественно удовлетворяется условие разрешимости, а соответствующая однородная задача имеет только нулевое решение.

3 Многослойный стержень. Рассмотрим случай, когда 1 Ω_I образуется из координатных линий $r=r_1,\ r=r_2\,(r_1\leqslant r_2),\ m=2_{I-1}$ $\omega=z_I$. Решение задачи (2.11) ищем в виде ряда

$$\Phi_n^{(I)} = \sum_{k=1}^{\infty} \Psi_{nk}^{(I)}(\omega) R_k(r)$$
 (3.1)

гле

$$R_{k}(r) = \frac{12^{-r^{3/2}}}{(\ln r_{s}/r_{1})^{1/2}} \sin\left(s_{\kappa} \ln \frac{r}{r_{1}}\right), \qquad \frac{k\pi}{\ln r_{2}/r_{1}}$$

— собственные функции задачи (2.11). Тогла для коэффициентов Чат получаем уравнения

$$D\Psi_{nk}^{(l)} + 3 \lg \omega D\Psi_{nk}^{(l)} - \mu_k \Psi_{nk}^{(l)} = -Q_{nk}^{(l)}$$
 (3.2)

$$\mu_{k} = \frac{k^{2}r}{\ln^{2}r_{0}/r_{1}} + \frac{0}{4}, \qquad Q_{nk}^{(l)}(w) = \int \frac{1}{\xi^{n}} Q_{n}^{(l)}(\xi, w) R_{k}(\xi) d\xi$$

Общий интеграл уравнения (3.2) будет

$$V_{-k}^{\perp}(m) = E_{nk}^{\perp 1} \cos^2 \left(\sin w \right) - E_{nk} \cos^2 \left(\sin w \right) - \frac{1}{2} \left(\sin w \right$$

$$-\cos^{2}\omega Q_{u_{k}}(\sin\omega) \int_{a_{l-1}}^{Q_{nk}^{(l)}(\gamma)} \frac{P_{u_{k}}^{2}(\sin\gamma)}{\cos^{2}\beta U_{u_{k}}(\gamma)} d\beta +$$

$$+\cos^{2}\omega P^{-}(\sin\omega) \int_{a_{l-1}}^{Q_{nk}^{(l)}(\gamma)} \frac{Q_{nk}^{2}(\sin\gamma)}{\cos^{2}\beta U_{nk}(\gamma)} d\gamma \qquad (3.3)$$

Tặc

$$U_{\gamma}(\gamma) = P_{\gamma}(\sin \phi) Q_{\gamma j}^{\gamma}(\sin \phi) = Q_{\gamma j}^{\gamma}(\sin \phi) P_{\gamma}(\sin \phi)$$

 P_{i} , P_{k}^{i} , Q_{i}^{i} присоединенные сферические функции с инлексом $v_{i} = -\frac{1}{2} + k^{-i} \ln \frac{r_{i}}{r_{1}}$. Здесь i мнимая единица.

Разложим $H_{k}^{(r)}$ в ряд по $R_{k}(r)$

$$\Theta_n^{(l)} = \sum_{k=1}^{\infty} \Theta_{nk}^{(l)}(\omega) R_k(r), \qquad \Theta_{nk}^{(l)}(\omega) = \int_{r_0}^{r_0} \frac{1}{z_0} \Theta_n^{(l)}(\bar{z}, \omega) R_k(\bar{z}) d\bar{z}$$
(3.4)

Подставляя разложения (3.1) и (3.4) в граничные условия (2.11), получаем систему 2N уравнений для определения постоянных интегрирования $E_{ab}^{(l)}$ и $E_{ab}^{(l)}$

$$E_{nk}^{(1)} P_{\nu_k}^{(2)} (\sin z_0) + E_{-k}^{(1)} Q_{\nu_k}^{(1)} (\sin z_0) = 0$$

$$= (\sin z_0) + \frac{E_{nk}^{(N)} Q_{\nu_k}^2 (\sin z_0) - \frac{Q_{nk}^{(N)} (z_0) P_{\nu_k}^2 (\sin z_0)}{\cos^2 z_0 U_{\nu_k}(z_0)} dz_0 + \frac{Q_{nk}^{(N)} (z_0) Q_{\nu_k}^2 (\sin z_0)}{\cos^2 z_0 U_{\nu_k}(z_0)} dz_0 + \frac{Q_{nk}^{(N)} (z_0) Q_{\nu_k}^2 (\sin z_0)}{\cos^2 z_0 U_{\nu_k}(z_0)} dz_0 + \frac{Q_{nk}^{(N)} (z_0) Q_{\nu_k}^2 (\sin z_0)}{\cos^2 z_0 U_{\nu_k}(z_0)} dz_0 + \frac{Q_{nk}^{(N)} (z_0) P_{\nu_k}^2 (\sin z_0)}{\cos^2 z_0 U_{\nu_k}(z_0)} dz_0 + \frac{Q_{nk}^{(N)} (z_0) Q_{\nu_k}^2 (\sin z_0)}{\cos^2 z_0 U_{\nu_k}(z_0)} dz_0 + \frac{Q_{nk}^{(N)} (z_0) Q_{\nu_k}^2 (\sin z_0)}{\cos^2 z_0 U_{\nu_k}(z_0)} dz_0 + \frac{Q_{nk}^{(N)} (z_0) Q_{\nu_k}^2 (\sin z_0)}{\cos^2 z_0 U_{\nu_k}(z_0)} dz_0 + \frac{Q_{nk}^{(N)} (z_0) Q_{\nu_k}^2 (\sin z_0)}{\cos^2 z_0 U_{\nu_k}(z_0)} dz_0 + \frac{Q_{nk}^{(N)} (z_0) Q_{\nu_k}^2 (\sin z_0)}{\cos^2 z_0 U_{\nu_k}(z_0)} dz_0 + \frac{Q_{nk}^{(N)} (z_0) Q_{\nu_k}^2 (\sin z_0)}{\cos^2 z_0 U_{\nu_k}(z_0)} dz_0 + \frac{Q_{nk}^{(N)} (z_0) Q_{\nu_k}^2 (\sin z_0)}{\cos^2 z_0 U_{\nu_k}(z_0)} dz_0 + \frac{Q_{nk}^{(N)} (z_0) Q_{\nu_k}^2 (\sin z_0)}{\cos^2 z_0 U_{\nu_k}(z_0)} dz_0 + \frac{Q_{nk}^{(N)} (z_0) Q_{\nu_k}^2 (\sin z_0)}{\cos^2 z_0 U_{\nu_k}(z_0)} dz_0 + \frac{Q_{nk}^{(N)} (z_0) Q_{\nu_k}^2 (\sin z_0)}{\cos^2 z_0 U_{\nu_k}(z_0)} dz_0 + \frac{Q_{nk}^{(N)} (z_0) Q_{\nu_k}^2 (\sin z_0)}{\cos^2 z_0 U_{\nu_k}(z_0)} dz_0 + \frac{Q_{nk}^{(N)} (z_0) Q_{\nu_k}^2 (\sin z_0)}{\cos^2 z_0 U_{\nu_k}(z_0)} dz_0 + \frac{Q_{nk}^{(N)} (z_0) Q_{\nu_k}^2 (\sin z_0)}{\cos^2 z_0 U_{\nu_k}(z_0)} dz_0 + \frac{Q_{nk}^{(N)} (z_0) Q_{\nu_k}^2 (\sin z_0)}{\cos^2 z_0 U_{\nu_k}(z_0)} dz_0 + \frac{Q_{nk}^{(N)} (z_0) Q_{\nu_k}^2 (\sin z_0)}{\cos^2 z_0 U_{\nu_k}(z_0)} dz_0 + \frac{Q_{nk}^{(N)} (z_0) Q_{\nu_k}^2 (\sin z_0)}{\cos^2 z_0 U_{\nu_k}(z_0)} dz_0 + \frac{Q_{nk}^{(N)} (z_0) Q_{\nu_k}^2 (\sin z_0)}{\cos^2 z_0 U_{\nu_k}(z_0)} dz_0 + \frac{Q_{nk}^{(N)} (z_0) Q_{\nu_k}^2 (\sin z_0)}{\cos^2 z_0 U_{\nu_k}(z_0)} dz_0 + \frac{Q_{nk}^{(N)} (z_0) Q_{\nu_k}^2 (\sin z_0)}{\cos^2 z_0 U_{\nu_k}(z_0)} dz_0 + \frac{Q_{nk}^{(N)} (z_0) Q_{\nu_k}^2 (\sin z_0)}{\cos^2 z_0 U_{\nu_k}(z_0)} dz_0 + \frac{Q_{nk}^{(N)} (z_0) Q_{\nu_k}^2 (\sin z_0)}{\cos^2 z_0 U_{\nu_k}(z_0)} dz_0 + \frac{Q_{nk}^{(N)} (z_0) Q_{\nu_k}^2 (\sin z_0)}{\cos^2 z_0 U_{\nu_k}(z_0)} dz_0 + \frac{Q_{nk}^{(N)} (z_0) Q_{\nu_k}^2 (\sin z_0)}{\cos^2 z_0 U_{\nu_k}($$

$$\begin{split} E_{0k}^{(l)}P_{\gamma_{k}}^{*}(\alpha_{l}) + E_{0k}^{(l)} &= \left(\alpha_{l}\right) - E_{0k}^{(l+1)}P_{\gamma_{k}}^{*}(\alpha_{l}) - E_{0k}^{-1}Q_{\gamma_{k}}^{*}(\alpha_{l}) - E_{0k}^{*}Q_{\gamma_{k}}^{*}(\alpha_{l}) - E_{0k$$

Здесь

$$P_{v_k} = \frac{4 + 2 s_k [(-1)^k | V_{r_2} - 1 V_{r_1}]}{(\ln r_2 / r_1)^{1/2} (1 + 4 s_k)}$$

$$P_{v_k} = 2 \cos \alpha_i P_{v_k - 1} (\sin \alpha_i) - \sin 2\alpha_i P_{v_k} (\sin \alpha_i)$$

$$Q_{v_k} (\alpha_i) = 2 \cos \alpha_i Q_{v_k - 1}^2 (\sin \alpha_i) - \sin 2\alpha_i Q_{v_k}^2 (\sin \alpha_i)$$

4. Двухслоиный стержень. Рассмотрим пастный случай кручения двухслойного стержия, когда N=2, $P\Omega_1$, образуется из координатных линий $\omega=\alpha_0=-\alpha$, $\omega=\alpha_1=0$, а $P\Omega_2$ —из $\omega=\alpha_1=0$, $\omega=\alpha_2=2$ (фиг. 3).

Определив $E_n^{(i)}$ из (3.5), подставив и (3.3), а последнее в (3.1), после искоторых преобразований получим решение задачи (2.11) и пиде

$$\Phi_{0}^{(1)}(r, w) = G_{2}Q_{0k}^{(2)} \int_{0}^{\pi} G_{0}(\psi; r, w) dv + Q_{0k}^{(1)} \int_{0}^{\pi} G_{0}^{(1)}(\psi; r, w) dv$$

$$\Phi_{0}^{(1)}(r, w) = -G_{1}Q_{0k}^{(1)} \int_{0}^{\pi} G_{0}(\psi; r, w) d\psi - Q_{0k}^{(2)} \int_{0}^{\pi} G_{0}^{(2)}(\psi; r, w) d\psi$$

$$\Phi_{0}^{(1)}(r, w) = G_{2, 1} \left(\frac{1}{2} \int_{0}^{\pi} Q_{n-1}^{(2, 1)}(\tilde{z}, \psi) G^{*}(\tilde{z}, \psi; r, w) d\Omega_{2, 1} + \frac{1}{2} \int_{0}^{\pi} Q_{n-1}^{(2, 1)}(\tilde{z}, \psi) G^{*}(\tilde{z}, \psi; r, w) d\Omega_{2, 1} + \frac{1}{2} \int_{0}^{\pi} Q_{n}^{(2, 1)}(\tilde{z}, \psi) G^{*}(\tilde{z}, \psi; r, w) d\Omega_{2, 1} + \frac{1}{2} \int_{0}^{\pi} Q_{n}^{(2, 1)}(\tilde{z}, \psi) G^{*}(\tilde{z}, \psi; r, w) d\Omega_{2, 1} + \frac{1}{2} \int_{0}^{\pi} Q_{n}^{(2, 1)}(\tilde{z}, \psi) G^{*}(\tilde{z}, \psi; r, w) d\Omega_{2, 1} + \frac{1}{2} \int_{0}^{\pi} Q_{n}^{(2, 1)}(\tilde{z}, \psi) G^{*}(\tilde{z}, \psi; r, w) d\Omega_{2, 1} + \frac{1}{2} \int_{0}^{\pi} Q_{n}^{(2, 1)}(\tilde{z}, \psi) G^{*}(\tilde{z}, \psi; r, w) d\Omega_{2, 1} + \frac{1}{2} \int_{0}^{\pi} Q_{n}^{(2, 1)}(\tilde{z}, \psi) G^{*}(\tilde{z}, \psi; r, w) d\Omega_{2, 1} + \frac{1}{2} \int_{0}^{\pi} Q_{n}^{(2, 1)}(\tilde{z}, \psi) G^{*}(\tilde{z}, \psi; r, w) d\Omega_{2, 1} + \frac{1}{2} \int_{0}^{\pi} Q_{n}^{(2, 1)}(\tilde{z}, \psi) G^{*}(\tilde{z}, \psi; r, w) d\Omega_{2, 1} + \frac{1}{2} \int_{0}^{\pi} Q_{n}^{(2, 1)}(\tilde{z}, \psi) G^{*}(\tilde{z}, \psi; r, w) d\Omega_{2, 1} + \frac{1}{2} \int_{0}^{\pi} Q_{n}^{(2, 1)}(\tilde{z}, \psi) G^{*}(\tilde{z}, \psi; r, w) d\Omega_{2, 1} + \frac{1}{2} \int_{0}^{\pi} Q_{n}^{(2, 1)}(\tilde{z}, \psi) G^{*}(\tilde{z}, \psi; r, w) d\Omega_{2, 1} + \frac{1}{2} \int_{0}^{\pi} Q_{n}^{(2, 1)}(\tilde{z}, \psi) G^{*}(\tilde{z}, \psi; r, w) d\Omega_{2, 1} + \frac{1}{2} \int_{0}^{\pi} Q_{n}^{(2, 1)}(\tilde{z}, \psi; r, w) d\Omega_{2, 1} + \frac{1}{2} \int_{0}^{\pi} Q_{n}^{(2, 1)}(\tilde{z}, \psi; r, w) d\Omega_{2, 1} + \frac{1}{2} \int_{0}^{\pi} Q_{n}^{(2, 1)}(\tilde{z}, \psi; r, w) d\Omega_{2, 1} + \frac{1}{2} \int_{0}^{\pi} Q_{n}^{(2, 1)}(\tilde{z}, \psi; r, w) d\Omega_{2, 1} + \frac{1}{2} \int_{0}^{\pi} Q_{n}^{(2, 1)}(\tilde{z}, \psi; r, w) d\Omega_{2, 1} + \frac{1}{2} \int_{0}^{\pi} Q_{n}^{(2, 1)}(\tilde{z}, \psi; r, w) d\Omega_{2, 1} + \frac{1}{2} \int_{0}^{\pi} Q_{n}^{(2, 1)}(\tilde{z}, \psi; r, w) d\Omega_{2, 1} + \frac{1}{2} \int_{0}^{\pi} Q_{n}^{(2, 1)}(\tilde{z}, \psi; r, w) d\Omega_{2, 1} + \frac{1}{2} \int_{0}^{\pi} Q_{n}^{(2, 1)}(\tilde{z}, \psi; r, w) d\Omega_{2, 1} + \frac{1}{2} \int_{0}^{\pi} Q_{n}^{(2, 1)}(\tilde{z}, \psi; r, w) d\Omega_{2, 1} + \frac{1}{2} \int_{0}^{\pi} Q_{n}^{(2, 1)}(\tilde{z}, \psi; r, w) d\Omega_{2, 1} + \frac{1}{2} \int_{0}^{\pi} Q_{n}^{(2, 1)}(\tilde{z}, \psi; r, w) d\Omega_{2, 1} + \frac{1$$

$$+ \int_{\Omega_{n+1}}^{(1,2)} (\xi, \psi) G^{(1,2)}(\xi, \psi; r, \omega) d\Omega_{1,2} \pm$$

$$\pm G_{2,1} \left(\frac{\lambda_{2,1}}{\lambda_{1,2}}\right)^{n+1} \int_{\Omega_{n+1}}^{\Omega_{n+1}} (\xi, 0) L(\xi; r, \omega) d\xi =$$

$$= G_{2,1} \int_{\Omega_{n+1}}^{\Omega_{n+1}} (\xi, 0) L(\xi; r, \omega) d\xi$$

В последнем выражении для $\Phi_{n+1}^{(0)}$ следует взять первые индексы, а для $\Phi_{n+1}^{(0)}$ —вторые.

$$G_{0}\left(\psi; r, \omega\right) = \begin{vmatrix} \frac{\cos^{2}\omega}{\cos^{2}\psi} \sum_{k=1}^{\infty} \frac{I_{\omega_{k}}(\omega_{k})}{K_{\omega_{k}}U_{\omega_{k}}(\psi)} R_{k}(r), & \text{kopas } \psi \in [0, \pi] \\ \frac{\cos^{2}\omega}{\cos^{2}\psi} \sum_{k=1}^{\infty} \frac{I_{\omega_{k}}(\omega_{k})}{K_{\omega_{k}}U_{\omega_{k}}(\psi)} R_{k}(r), & \text{kopas } \psi \in [-2, 0], \end{vmatrix}$$

$$G_0^{(l)}(\psi; r, \omega) = \begin{cases} \frac{\cos^2 \omega}{\cos^2 \psi} \sum_{k=1}^{\infty} \frac{f_k^{(l)}(\omega, \psi)}{K_k(\psi, \omega)} R_k(r), & \text{korma} & \omega \\ \frac{\cos^2 \omega}{\cos^2 \psi} \sum_{k=1}^{\infty} \frac{f_k^{(l)}(\psi, \omega)}{K_k(\psi, \omega)} R_k(r), & \text{korma} & \psi \geqslant \omega \end{cases}$$

$$G^{*}(\xi,\psi;r,\omega) = \begin{cases} \frac{\cos^{2}\omega}{\xi^{3}\cos^{2}\psi} \sum_{k=1}^{\infty} \frac{L_{k}(\omega,\psi)}{K_{N}U_{k}(\xi)} R_{k}(\xi) R_{k}(r), & \text{kopaa}(\xi,\psi) \in \Omega_{2} \\ \frac{\cos^{2}\omega}{\xi^{3}\cos^{2}\psi} \sum_{k=1}^{\infty} \frac{L_{k}(\omega,\psi)}{K_{N}U_{k}(\psi)} R_{k}(\xi) R_{k}(r), & \text{kopaa}(\xi,\psi) \in \Omega_{2} \end{cases}$$

$$G^{(I)}(\xi, \psi; r, \omega) = \begin{cases} \frac{\cos^{2}\psi}{\xi^{3}\cos^{2}\psi} \sum_{k=1}^{\infty} \frac{\int_{\gamma_{k}}^{(I)}(\omega, \psi)}{K_{\gamma_{k}}U_{\gamma_{k}}(\psi)} R_{k}(\xi) R_{k}(r), \text{ Kopas } \psi \leqslant \omega \\ \frac{\cos^{2}\omega}{\xi^{3}\cos^{2}\psi} \sum_{k=1}^{\infty} \frac{\int_{\gamma_{k}}^{(I)}(\psi, \omega)}{K_{\gamma_{k}}U_{\gamma_{k}}(\psi)} R_{k}(\xi) R_{k}(r), \text{ Kopas } \psi \leqslant \omega \end{cases}$$

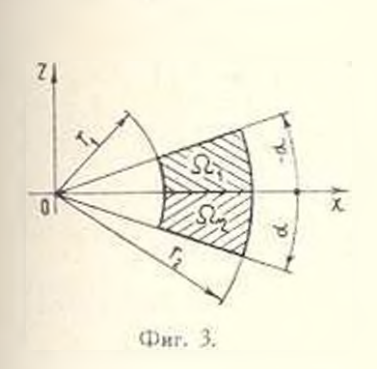
$$L (\exists r, \omega) := \begin{cases} \frac{\cos^2 \omega}{\xi^4} \sum_{k=1}^{\infty} \frac{Y_{v_k}(\omega; z)}{(v_k + 2)K_{v_k}} R_k (\exists) K_k (r), & \text{fot alg} (r, \omega) \in \Omega_1 \\ \frac{\cos^2 z}{\xi^4} \sum_{k=1}^{\infty} \frac{Y_{v_k}(\omega; -z)}{(v_k + 2)K_{v_k}} R_k (\exists) R_k (r), & \text{fot alg} (r, \omega) \in \Omega_2 \end{cases} \\ K_{i_k} = G_2 [Q_{i_k - 1}^2 (0) P_{v_k}^2 (-\sin z) - P_{v_k - 1}^2 (0) Q_{v_k}^2 (-\sin z)] \times \\ \times [Q_{v_k}^2 (0) P_{v_k}^2 (\sin z) - P_{v_k}^2 (0) Q_{v_k}^2 (-\sin z)] \times \\ \times [Q_{v_k}^2 (-\sin z) Q_{v_k}^2 (0) - P_{v_k}^2 (0) Q_{v_k}^2 (-\sin z)] \times \\ \times [P_{v_k - 1}^2 (0) Q_{v_k}^2 (\sin z) - Q_{v_k - 1}^2 (0) P_{v_k}^2 (\sin z)] \\ L_{i_k} (\omega, \dot{\varphi}) = [P_{v_k}^2 (0) Q_{v_k - 1}^2 (0) - P_{v_k - 1}^2 (0) Q_{v_k}^2 (\sin z)] \\ L_{i_k} (\omega, \dot{\varphi}) = [P_{v_k}^2 (0) Q_{v_k - 1}^2 (0) - P_{v_k - 1}^2 (0) Q_{v_k}^2 (\sin z)] \\ \times [Q_{v_k}^2 (-\sin z) P_{v_k}^2 (\sin \omega) - P_{v_k}^2 (-\sin z) Q_{v_k}^2 (\sin z) P_{v_k - 1}^2 (0)] \times \\ \times [Q_{v_k}^2 (-\sin z) P_{v_k}^2 (\sin \omega) - P_{v_k}^2 (\sin z) - Q_{v_k}^2 (\sin z) P_{v_k - 1}^2 (0)] \times \\ \times [Q_{v_k}^2 (0) P_{v_k}^2 (\sin \omega) - P_{v_k}^2 (0) Q_{v_k}^2 (\sin z) P_{v_k - 1}^2 (0)] \times \\ \times [Q_{v_k}^2 (0) P_{v_k}^2 (\sin \omega) - P_{v_k - 1}^2 (0) Q_{v_k}^2 (\sin \omega)] \times \\ \times [Q_{v_k}^2 (-\sin z) P_{v_k}^2 (\sin z) - P_{v_k - 1}^2 (0) Q_{v_k}^2 (\sin \omega)] \times \\ \times [Q_{v_k - 1}^2 (0) P_{v_k}^2 (\sin z) - P_{v_k - 1}^2 (0) Q_{v_k}^2 (\sin z)] \times \\ \times [Q_{v_k - 1}^2 (0) P_{v_k}^2 (\sin z) - P_{v_k - 1}^2 (0) Q_{v_k}^2 (\sin z)] - \\ - G_2[Q_{v_k - 1}^2 (0) P_{v_k}^2 (\sin z) - P_{v_k - 1}^2 (0) Q_{v_k}^2 (\sin z)] \times \\ \times [Q_{v_k - 1}^2 (0) P_{v_k}^2 (\sin z) - P_{v_k - 1}^2 (0) Q_{v_k}^2 (\sin z)] \times \\ \times [Q_{v_k - 1}^2 (0) P_{v_k - 1}^2 (\sin z) - Q_{v_k - 1}^2 (\sin z) P_{v_k - 1}^2 (\sin z)] \times \\ \times [Q_{v_k - 1}^2 (0) P_{v_k - 1}^2 (\sin z) - Q_{v_k - 1}^2 (\sin z) P_{v_k - 1}^2 (\sin z)] \times \\ \times [Q_{v_k - 1}^2 (0) P_{v_k - 1}^2 (\sin z) - Q_{v_k - 1}^2 (\sin z) P_{v_k - 1}^2 (\sin z)] \times \\ \times [Q_{v_k - 1}^2 (0) P_{v_k - 1}^2 (\sin z) - Q_{v_k - 1}^2 (\sin z) P_{v_k - 1}^2 (\sin z)] \times \\ \times [Q_{v_k - 1}^2 (0) P_{v_k - 1}^2 (\sin z) - P_{v_k - 1}^2 (\sin z) P_{v_k - 1}^2 (\sin z)]$$

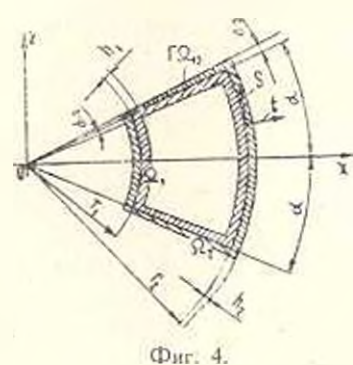
Рассматривая сходимость ряда (3.1), заметим, что первое уравнение (2.11) в области — является равномерно эллиптическим с коэффициентами, принадлежащими пространству C_{n^*} , $\alpha^* \in (0, 1)$. Следовательно, свраведливы априорные оценки Шаудера [10]. Область Ω_I и граничные значения Φ_n гладкие. При этих условиях $\Phi_0^{(1)} \in G_{2-\alpha^*}$, так как $Q_0^{(1)} \in C_{\alpha^*}$, и вообще, из выражения $Q_n^{(1)}$ (2.11) следует, что $Q_n^{(1)} \in C_{\alpha^*}$, охедовательно, $\Phi_0^{(1)} \in C_{\alpha^*}$,

Вводя норму в C_{a}

$$||X|| = \max_{M, V \in I} |X(M)| + \max_{M, V \in I} \frac{|X(M) - X(V)|}{MV^{\alpha^*}}$$

и применяя априорные оценки Шаудера $\|D^2\Phi_n^{(1)}\| \leqslant c^* \|Q_n^{(1)}\|$, где c^*- постоянная, зависящая от геометрии области, аналогично [9], показывается, что ряд (2.10) и ряды, составленные из производных $\sum_{k=0}^{n-1} D\Phi_k^{(l)}$, $\sum_{k=0}^{n-1} \lambda_l D^2\Phi_k^{(l)}$, сходятся абсолютно и равномерно с некоторым радиусом сходимости.





5. Тонкостенный стержень с замкнутым профилем. Рассмотрим кручение тонкостенного составного стержня с меридиональным сечением в виде двухсвязной области. Рассмотрим случай двухслойного сечения (N=2), когда $1 \Omega_1$ образуется из координатных линий (фиг. 4). Толщина стенки h_1+h_2 , ($\alpha_2r_2=h_1$, $\alpha_3r_4=h_2$). Переходя к координатной системе t_1 s_2 где направлено по внешней нормали, а s_2 — по касательной $\Gamma\Omega_{12}$, из (1.4) получим

$$e^{(l)} = \frac{2AG_l}{r^2 \sin^2 \theta} \frac{\partial \Phi^{(l)}}{\partial s} \qquad e^{(l)} = -\frac{2AG_l}{r^2 \sin^2 \theta} \frac{\partial \Phi^{(l)}}{\partial t}$$

Преобразуя уравнение (1.5) к координатной системе t, s и в виду малости толщины стенки пренебрегая компонентом напряжения $\frac{s(t)}{t}$, для рассматриваемого сечения приходим к уравнению

$$\frac{\partial}{\partial t} \left| f_t(T_t) \frac{\partial \Phi^{(t)}}{\partial t} \right| = 1, \quad T_t = \frac{2AG_t}{S(s)} \frac{\partial \Phi^{(t)}}{\partial t}$$
 (5.1)

где

$$S(s) = \begin{cases} (r_1 + s)^2 \cos^2 a & \text{при } r_1 = r_2, & h = \pi/2 + a \\ r_2^2 \sin^2 (\pi 2 + a - s/r_2) & \text{при } r = r_2, & \pi/2 - a \leqslant h \leqslant \pi/2 + a \\ (r_2 - s)^2 \cos^2 a & \text{при } r_1 \leqslant r \leqslant r_2, & h = \pi/2 - a \\ r_1^2 \sin^2 (\pi/2 - a + s/r_1) & \text{при } r = r_1, & \pi/2 - a \end{cases}$$

В случае линейной упругости из (5.1) получаем

$$\Phi^{(t)} = 1/2t^2 + K_1^{(t)}(s)t + K_2^{(t)}(s)$$
 (5.2)

Произвольные функции интегрирования $K_1^{(1)}$ и $K_2^{(2)}$ определяются из граничного условия и из условий (1.6), (1.9). Принимая $\Phi=0$ на $\Gamma^{(1)}\Omega_0$ и $\Phi=\Phi_1$ на $\Gamma^{(1)}\Omega_0$, получаем

$$K_1^{(i)} = \frac{b - 2G_1 \Phi_1}{2b_1}, \quad K_2^{(1,2)} = \frac{G_{1,1} h_2 (2\Phi_1 - h_1 h_2 - h_1)}{2b_1}$$
$$b = G_1 h_1^2 - G_2 h_2^2, \quad b_1 = G_1 h_1 + G_2 h_2$$

Согласно (1.11) и (5.2) будем иметь

$$\Phi_i = \frac{P_i - 2AH_i}{2AH_i} \tag{5.3}$$

Здесь

$$H = \frac{G_1 G_2 h_1 h_2 (h_1 + h_2)}{2b_1} \left| \frac{2 (a_2 + a_3) (r_1 - r_1)}{r_1 r_2 \cos^3 x} + \frac{H(r_1 - r_1) (h_1 - h_2)}{r_1 r_2} \right|$$

$$= \frac{b}{2b_1} \left| \frac{H b_1 (r_2 - r_1)}{r_1 r_2} + \frac{G_2 a_3^2 - G_1 a_2^2}{\cos^3 x} \ln \frac{r_2}{r_1} \right| + \frac{(r_1 - r_2) (G_1 a_3^2 + G_2 a_3^2)}{3 \cos^3 x} - 2H b_1$$

$$= \frac{2G_1 H (r_1 - r_2)}{r_1 r_2} + \frac{G_1 G_2 h_2}{b_1} \left| \frac{2 (a_2 + a_3) (r_2 - r_1)}{r_1 r_2 \cos^3 x} + \frac{H (r_1^2 + r_2^2) (h_1 - h_1)}{r_1 r_2} \right| - \frac{G_1}{b_1} \left| \frac{H b_1 (r_2 - r_1)}{r_1 r_2} + \frac{G_2 a_3^2 - G_1 a_2^2}{\cos^3 x} \ln \frac{r_2}{r_1} \right|$$

$$= \frac{\sin a}{\cos^2 x} + \frac{1}{2} \ln \frac{\operatorname{tg} 1/2 (\pi/2 - x)}{\operatorname{tg} 1/2 (\pi/2 - x)}$$

Полставив (5.3) в (5.2), а (5.2) в (1.10), определим A, а затем и напряжение $\tau^{(i)}$

$$A = P_{z}H^{*}, \qquad = \frac{2P_{z}G_{t}H^{*}}{r^{*}\sin^{2}\theta} \left[\frac{(1 + 2H^{*}H_{1})G_{1}}{2\pi^{*}H_{2}b_{1}} - \frac{b}{2b_{1}} \right]$$

$$= \frac{G_{1}(r_{1}^{2} + r_{2}^{2})}{(r_{1}^{2} + r_{2}^{2})(H_{1}b - 2G_{1}H_{1}) + 2H_{2}b_{1}r_{1}r_{2}(r_{1} - r_{2})}$$

Примем степенной закон упрочнения

$$f_{i}(T_{i}) = i_{i} T_{i}^{i_{I}-1}, \quad i_{i} = i_{i_{I}} G_{i}^{i_{I}-1}$$

Для простоты вычислений в случае степенного закона упрочнения, приближению можно взять в форме (5.2).

Принимая $\Phi = 0$ на $\Gamma^{(0)} \mathfrak{Q}_0$, $\Phi = \Phi_1$ на $\Gamma^{(1)} \mathfrak{Q}_0$ и использовав (1.6), (1.9), определим (s), $K_2^{(1)}(s)$.

В частности, если у, у, то

$$K_{1}^{(2)} = \frac{b - 2G_{1}\Phi_{1}}{2G_{2}[h_{1}(G_{1}) - G_{2}]^{3/2} + h_{2}]}, \quad K_{2}^{(2)} = -h_{2}\left(\frac{h_{2}}{2} + K_{1}^{(2)}\right)$$

$$K_{1}^{(1)} - \left(\frac{1}{h_{1}}\right)^{3} \left(\frac{G_{2}}{G_{1}}\right)^{3/2} + K_{1}^{(2)}, \quad K_{2}^{(1)} - \frac{G_{2}}{G_{1}}K_{1}^{(2)}$$
(5.4)

Отметим, что когда $v_1 = v_1$ то $K_1^{(1)}$ и $K_2^{(2)}$ будут записеть от s. Из-за малости толщины стенки, пренебрегая двойными интегралами, из (1.11) находим

$$\Phi_1 = \frac{P_{r_1 r_2}}{4AG_1H(r_2 - r_1)} \tag{5.5}$$

Согласно (5.4), (5.5), (5.2) и (1.10) получаем

$$P = \frac{2AHb (r_2 - r_1)}{r_1 r_2}$$

$$= \frac{4A^{1/2} G_2 H (r_2 - r_1)}{\left[h_1 \left(\frac{G_1 h_2}{G_2 h_1}\right)^{1/2} + h_2 \right] \left[\frac{H (r_2 - r_1)}{(2G_2)^{2-1} + r_1 r_2}\right]^{1/2}}$$

$$= \left(\int_{\Gamma_{2,12}} \frac{ds}{S^{2+1/2}(s)}, \qquad = -\frac{2AG_1}{r^2 \sin^2 \theta} (r + K^{-1})\right)$$
(5.6)

При v = 2 из (5.6) будем иметь

$$A = \frac{P_{z}r_{1}r_{2}}{2bH(r_{2} - r_{1})} + \frac{G_{z}Hc^{z}(r_{z} - r_{1})}{i_{2}r_{1}r_{2}b^{2}/2}$$

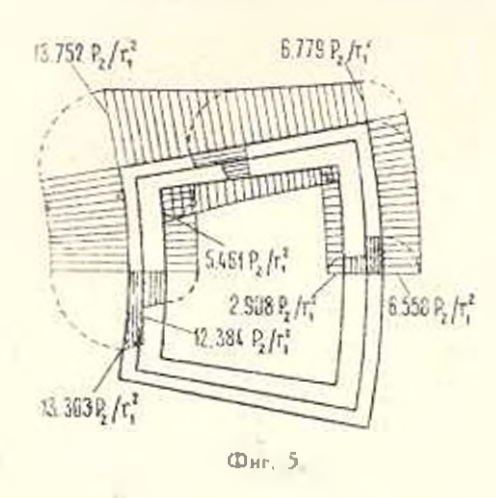
$$- \frac{c}{b^{z}} \iint_{0} P_{z} |b| r_{1}r_{z} + \frac{G_{z}Hc^{z}(r_{z} - r_{1})^{2}}{i_{2}r_{1}r_{2}/2} \left| \frac{G_{z}}{i_{2}r_{1}r_{2}/2} \right|^{1/2}$$

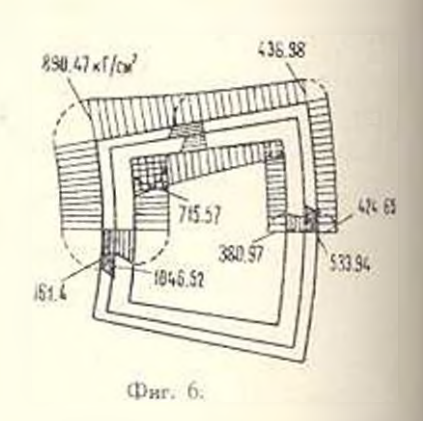
$$c = h_{1} \left(\frac{G_{1}r_{2}}{G_{z}i_{1}} \right)^{1/2} + h_{2}$$

$$I = \frac{1}{2\cos^{5}\alpha} \left(\frac{1}{r_{1}^{4}} - \frac{1}{r_{2}^{4}} \right) + \left(\frac{1}{r_{2}^{4}} + \frac{1}{r_{1}^{4}} \right) \left(\frac{\sin\alpha}{2\cos^{4}\alpha} - \frac{\sin\alpha}{4\cos^{2}\alpha} + H \right)$$

На фиг. 5 приведена этпора распределения напряжений в сечении в случае линейно-упругого материала. При этом принимается

$$r_2 = 1.4 r_1$$
, $h_1 = 0.02 r_1$, $h_2 = 0.01 r_1$, $\alpha = 10$ H $G_2 = 2G_1$.





Институт механики АН Армянской ССР

Hoerynmaa 22 V! 1970'l

a. d. aniazene

SUPERF BRIDGE THE STREET BRIDGE THE SUPERIOR OF THE SUPERIOR O

Udhadaci

Ուսումնասիրվում է շրջանային օղակի սեկտորի տեսթով բաղադրյալ կոր ձողի ոլորումը։ Ձողը ոլորվում է ծայրային կարվածբներում ազդող և օղակի առանցքով ուղղված շակադիր ուժերով։ Ձողի հրկարունյամբ շատատուն միջօրեականային կարվածքը կադմավորվում է տարբեր համասեռ և իզոարող նյուների համաստասխանող տիրույինի հուրաբանչյուր տիրույիում ձողը ենթարկվում է իղոարող ամբապնդման։ Ընտրված նյուների համար ցույց են արված պարդ բեռնավորման պայմանները։

անցյալներով ոլ դժային դիֆերենցիալ Հավասարժան։ Օղակային սեկտորի տեսը ունեցող կարվածթով բաղմաշերա Հոծ ձողի դեպքում Համապատասխան հղթային ընդում բաղմաշերա Հոծ ձողի դեպքում Համապատասխան երթային խնդրի լուժումը փնտրվում է աստիճանային շարթի ահարդի ըստ մի որոշ ֆիզիկական պարաժետրի և անգեցվում է ռեկուրենտ նդային

խնդիրների անվերջ Վամակարդի։ Կառուցվում են այդ խնդիրների լուծումները և ցուլց է տրվում լուծումը ներկայացնող շարբի դուղամիտությունը։

Դիտվում է ծաև փակ տրամատավորությամբ (պրոֆիլով) երկչերա բաթակապատ ձոգի ոլորման գեպքը։ Ստացված են լուծումներ օղակային սեկտորի տեսք ունեցող տրամատավորության բարակապատ երկչերա ձողի նամար։ Այդ դեպքի համար կառուցվել են կարվածքում լարումների բաշխման Լպյուրները։

THE PLASTIC TORSION OF A CURVED BAR, COMPOSED OF DIFFERENT MATERIALS

P. V. GALPCHIAN

Summary

The torsion of a curved, composite bar in the form of a circular ring sector is considered. The bar is twisted by the opposite forces acting on the end meridional section along the axis of the ring. The meridional section, constant along the length of the bar, is made of some domains, corresponding to different homogeneous isotropic materials. In each domain the material obeys the condition of isotropic strengthening. Simple loading condition's for the chosen materials are shown.

The problem is reduced to the nonlinear partial differential equation relative to the function of stress.

In case of a continuous many-layer bar with cross-section of a circular sector the solution of the boundary problem is sought in the form of a power series by certain physical parameter and is reduced to an infinite system of recurrent boundary problems. The solution of these problems are given and the series convergence is shown.

The case of torsion of a two-layer thinwalled har of closed profile is also considered. The solutions are given for a profile of circulare sector. For this case the epures of stress distribution in the cross-section are constructed.

ANTERATYRA

- 1 Мускельновили Н. И. Некоторые основные задачи математической теории упрусости. М., «Паука», 1966.
- Векуа И. Н., Рухадзе А. К. Кручение и нагиб поперечной силон бруса. од пленного на двух материалов, ограниченных конфокальными эллинсами. ПММ, 1933. т. 1, вып. 2.
- 3 Векуа И. Н., Рухадзе А. К. Задача кручения кругового цилиндра, армированного продольным круговым стержием. Изя. АН СССР, ОМЕН, 1933, № 3.
- Рухалзе А. К. Кручение и изгиб бруса, составленного из двух упругих материалов, ограниченных эпитрохондами. Тр. Тоилисского математического института, 1937.
 т. 1.
- Шерман Д. И. Кручение эллиптического цилиндра, армированного круговым стеранем. Инжен. с6., АН СССР, 1951. т. 10.

- Чобанян К. С. Применение функции напряжений в задаче о кручения призматических стержней, составленных из различных материалов. Изв. АН Арм. ССР, серия физ.-мат., сст. и техн. илув. 1955, т. 8, № 2.
- 7. Лехмицкий С. Г. Кручение многослойного стержия прямоугольного сечения. Инжекс6., АН СССР, 1956, т. 23.
- 8. Галичин П. В., Задови М. А. Пластическое кручение крусового стермия с поперечным сечением в виде кольцевого сектора. Изп. АН АрмССР, Механика. 1979, т. 32, № 1.
- 9. Задоян М. А. Пластическое кручение сектора кольца. Известия АН СССР. МТТ, 1977. № 1.
- 10. Куранг Р. Уравнения с частными производными М., «Мир», 1965.
- 11. Качанов Л. М. Основы теорин пластичности. М., «Наука», 1969.
- Freiberger W. The uniform torsion of a perfectly plastic circular ring. Commonwealth of Australia. Accommutical Research Laboratories, Report ARLSM 2B 1953.
- Wang A. J., Prager W. Plastic twisting of a circular ring sector. J. Mech. and, Phys. Solids, 1955, vol. 3, p. 169 175.

Р. М. КИРАКОСЯН

О ВЕРХНИХ ОЦЕНКАХ ПРОГИБОВ И НАПРЯЖЕНИЙ УПРУГО-ПЛАСТИЧЕСКИХ КОНСТРУКЦИЙ

Предлагается способ определения верхних оценок для максимальных прогибов и напряжений упруго-пластических конструкций, основанный на использовании упругих решений соответствующих краевых задач. Способ иллюстрируется на примере гибкой пластинки при линейном упрочнении материала.

Переходя к обобщенным величинам, что позволяет освободиться от влияния неоднородности напряженно-деформированного состояния по толщине, получены более точные перхине оценки при поперечном изгибе. На основе этих оценок получается единая инжияя оценка для несущей способности произвольных идеально-пластических пластин.

Приводятся примеры сравнения с точными решениями.

1. Рассмотрим некоторую конструкцию из линейно упрочияющегося материала. Связь между интенсивностями касательных напряжений о, и жеформаций сдвигов г примем в виде [1]

$$z_j = E t_j [1 - \omega(\epsilon_j)], \quad 0 < \omega < 1$$
 (1.1)

ГДС

$$\omega = \begin{cases} 0, & \varepsilon_{i} \ll \varepsilon_{s} \\ \lambda \left(1 - \frac{\varepsilon_{s}}{\varepsilon_{i}}\right), & \varepsilon_{i} \geqslant \varepsilon_{s} \end{cases}$$

$$\lambda = 1 - \frac{1}{E} \frac{d\varepsilon_{i}}{d\varepsilon_{i}} = \text{const}$$
(1.2)

E — модуль Юнга, ϵ_s — предел упругих деформаций, $0 \le \lambda \le 1$ — ковффициент упрочиения материала.

Известно [1], что упруго-пластически деформированное тело можно рассматривать как некоторое принеденное упругое тело с неоднородным модулем упругости $E_{\text{вр}}$. В случае линейного упрочнения и отсутствия разгрузки

$$E_{np} = \begin{cases} E, & \epsilon_i \leqslant \epsilon_s \\ E\left(1 - \lambda + \frac{\lambda \epsilon_s}{\epsilon_i}\right), & \epsilon_i \gg \epsilon_s \end{cases}$$
 (1.3)

За пределами упругости с возрастанием интенсипности деформаций ε_t модуль приведенного материала $E_{\rm np}$ монотонио убывает. Следовательно, наименьшее значение получится в гой точке конструкции, где τ_t принимает наибольшее значение, то есть

$$E_{np}^{min} = E\left(1 - \lambda + \frac{\lambda t_n}{t_n^{max}}\right) \qquad (1.4)$$

Так как

$$E = E(1-\lambda) \tag{1.5}$$

то, полагая

$$E_{\rm op}(0) = E(1 - \epsilon) \tag{1.6}$$

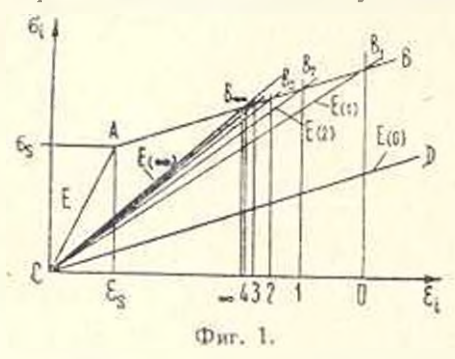
и решая задачу упругого деформирования рассмотренной конструкции при заданных нагрузках и граничных условиях, получим завышенные значения для деформаций. Максимальное значение интенсивности деформаций обозначим через «pax(0). Соответствующее значение интенсивности напряжений, подсчитанное по действительной зависимости

$$z^{\max}(0) = \sum_{i=1}^{n} (0) \left[1 - \lambda + \frac{\lambda z_i}{z_i^{\max}(0)} \right]$$
 (1.7)

будет превышать действительное максимальное значение. Таким образом, получены верхние оценки для интенсивностей деформаций и напряжений и нижняя оценка для приведенного модуля

$$\varepsilon_i^{\max}(0) > \varepsilon_i, \ \sigma_i^{\max}(0)_i > \sigma_i, \ E_{\min}^{\min}(0) < E_{\text{up}}$$
 (1.8)

Эти оценки очень грубы и не могут представлять практического интереса. Принимая их в качестве нулевого приближения, последующие приближе-



ния построим по реккурентным формулам

$$E_{np}^{\min}(n) = \frac{z_i^{\max}(n-1)}{z_i^{\max}(n-1)}$$

$$\sigma_i^{\max}(n-1) = (1.9)$$

$$\overline{\xi_i} = \mathcal{E}_{\varepsilon_i^{\max}}(n-1) \left[1 - \lambda + \frac{\lambda \varepsilon_s}{\varepsilon_i^{\max}(n-1)} \right]$$

где $\varepsilon_i^{\text{max}}$ (n-1) получается решением упругой задачи при $E_{\text{mp}} = (n-1)$

Смысл этого рекуррентного процесса можно наглядно представить графически (фиг. 1). На оси в числами 0, 1, 2, ..., ∞ обозначены значения соответствующих приближении максимальной интенсивности деформаций

срт (n). Причем, нулевое приближение этах (0) получается на упругого решения задачи, когда связь между з и з дается линией СД, параласаьной линин $AB(E^{a-n}(0)-E(1-r))$. Имея нулевое приближение $\varepsilon_r^{m+1}(0)$ по действительной диаграмме $\sigma_i \sim \varepsilon_i$ (доманая CAB) определяется пуленое приближение максимального значения интенсивности напряжения $\mathfrak{I}^{\text{max}}(0)$ — отревок OB_1 . Соединяя точку B_1 с началом координат C, находим первое приближение приведенного модуля $E^{(n)}(1) =$ ОВ1/СО. Далее, решая упругую задачу по диаграмме СВ1, определяем первое приближение максимального значения интенсивности деформаций зүш (1). Оно изображено цифрой "1" на оси з. Перное приближение 💯 🕕 получается путем пересечения с действительной днаграммой САВ линии 1Во, параллельной оси з. Аналогично строятся н последующие приближения. Так как последовательность минимяльных значений модуля $E^{-1}(n)$ монотонно растет и ограничена сперху значением действительного модуля Юнга матернала Е, то она сходится. Предельное значение E^{-1} (∞) = E характеризуется тем, что для него максимальные значения интенсивности напряжений эта (о) — подсчитанные по принеденной дваграмме (В. и по действительной диаграмме САВ, совпадают. На основе этого обстоятельства, значение Е* можно определить непосредственно, не связынаясь с описанным выше процессом последовательных приближений. Пусть решена задача упругого деформирования конструкции. Далее определяется максимальная интенсивность деформаций как функция от неизвестного модуля $\mathfrak{S}^{mn}(E)$. Приравнивая значения интенсинности напряжений, подсчитанные для $\varepsilon^{max}(\mathcal{E}^*)$ по соотношениям упругости с модулем Е и по соотношениям реального упруго-пластического тела (1.1), (1.2), получим

$$E^* - E \left[1 - 1 + \frac{A_{-}}{1 - 10} \right]$$
 (1.10)

Это и есть уравнение для определения E. Максимальное значение деформаций (перемещений) и напряжений упругой конструкции с однородным модулем E^* будет служить в качестве верхних оценок для действительных значений соответствующих величин реальной упруго-пластической конструкции.

Разумеется, что ати оценки намного дучше исходных (1.8). При однородном напряженно-деформированном состоянии, а также при отсутствии пластических свойств материала (л. = 0) эти оценки совпадают с точными значениями. По мере возрастания неоднородности напряженно-деформированного состояния и возрастания пластических свойств материала расхождение между оценками и точными значениями соответствующих величии увеличивается. Предлагаемые оценки могут быть успешно использованы особенно для конструкций типа гибких пластии и оболочек, неодзованы особенно для конструкций типа гибких пластии и оболочек, неодзованы особенно для конструкций типа гибких пластии и оболочек, неод-

нородность напряженно-деформированного состояния которых из-за мембранных усилии мала.

Важно заметить, что с ростом пластических деформаций материал приближается к несжимаемому и его коэффициент поперечной деформации стремится к половине. Предлагаемые оценки получены в предположении о неизменности коэффициента Пуассона. Это приводит к искусственному уменьшению жесткости конструкции, а следовательно, и к завышению деформаций. Оценки от этого становится несколько грубыми.

2. В качестве издюстрации предлагаемого способа нахождения верхних оценок рассмотрим задачу круглой гибкой пластинки, деформируемой под действием равномерно распределенной поперечной нагрузки. Для простоты будем пользоваться аппроженмирующими выражениями гочных формул максимальных значений прогибов и напряжений упругой пластинки [2]

$$x + Ax^3 = Bq^*, \quad z^* = x(3 + 2x)$$
 (2.1)

гле а, А. В. табличные постоянные,

$$x = \frac{1}{Eh^2}, \quad q^* = \frac{qu^4}{Eh^3}, \quad = \frac{3^{max}a^2}{Eh^3}$$
 (2.2)

— прогиб в центре, h — толщина, а — раднус, E — модуль Юнга материала, q — интенсивность поверхностной нагрузки пластинки.

Имея в виду (1.10) к (2.1), получим

$$m = \frac{E}{E^{\pi}} = \begin{cases} \frac{1, & x \leqslant x_{s}}{x (p + ax)}, & x > x \\ \frac{x (p + ax)}{p + (1 - h) x (\beta + ax)}, & x > x \end{cases}$$

$$\begin{cases} \frac{x (\beta - ax), & x = x_{s}}{1 - m (1 - h)}, & x > x_{s} \end{cases}$$

$$(2.3)$$

$$x = \frac{-\beta + \sqrt{\beta^{2} + 4xp}}{2a}, \quad q = \frac{x - Ax^{2}}{Bm}, \quad p = \frac{\epsilon_{s}a^{2}}{h^{2}}$$

где х. — предел упругих прогибов пластинки в центре. Соотношения (2.3) определяют зависимости между верхними оценками максимального прогиба х. максимальной интенсивности напряжений пластинки зама от нагрузки 4.

В случае жесткого защемления контура максимальное значение антенсивности напряжений σ^{max} получается на крайних верхних волокиах контурных сечений пластинки. Тогда коэффициенты α и β определяются формулами

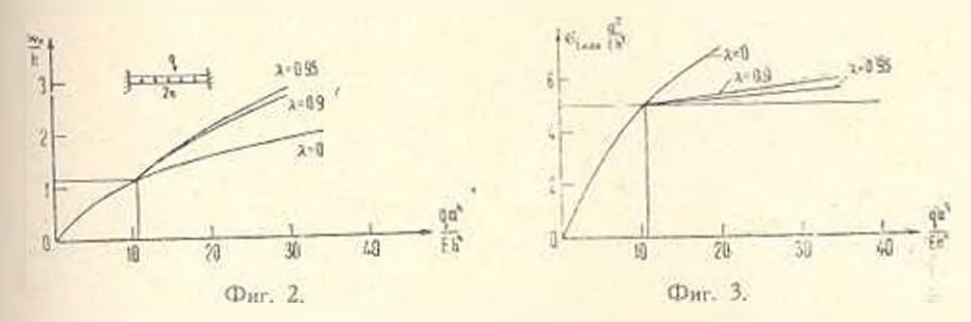
$$\beta = 1 \quad \beta_r^2 - \beta_r \beta_r + \beta_r^2 \tag{2.4}$$

где а, я, 3, 3, относятся к контуру пластипки. На основе [2] (стр. 456,

табл. 82) с учетом (2.4) при значении коэффициента Пуассона v = 0.3 находим

$$\alpha = 0.423, \quad \beta = 3.911, \quad A = 0.471, \quad B = 0.171$$
 (2.5)

На фиг. 2 и 3 приведены графики зависимости верхних оценок от нагрузки для рассмотренного случая при трех значениях д. Качественно аналогичными получаются эти графики и для остальных способов опирания пластинки.



3. Как отмечалось выше, предлагаемые оценки становятся грубыми при поперечном изгибе, особенно когда материал пластинки стремится к идеально пластическому. Ниже, путем перехода к обобщенным величинам, эти оценки существенно улучшаются при отсутствии мембранных сил. Используя соотношения между изгибающими моментами и кривизнами срединной плоскости в рамках теории поперечного изгиба пластин можно записать

$$m = D(1-2) \times, \qquad \frac{Fh}{12(1-v^2)}$$
 (3.1)

где D — цилиндрическая жесткость, m_i и x_i — аналоги интенсивностей напряжений и деформаций:

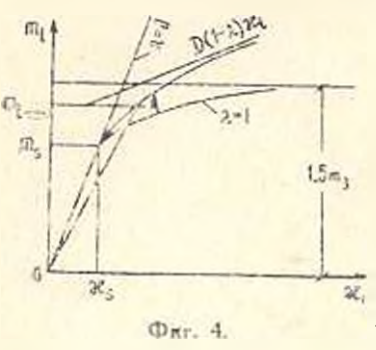
$$m_1 = \sqrt{M_1^2 - M_1 M_2 + M_2^2 - 3M_1^2}, \quad x = \frac{1}{2} \left[\frac{1}{1 + x_1 x_2 + \dots + x_{12}^2} \right]$$
 (3.2)

$$\Omega = \begin{cases} 0, & x_i \leq x_s = \frac{3\varepsilon_s}{2h} \\ i\left(1 - \frac{9\varepsilon_s}{4hx_s} - \frac{27}{16h^3x_s^3}\right), & x_i > x_s \end{cases}$$
 (3.3)

Здесь через собозначено значение интенсивности кривизи пластинки, после достижения которого появляются остаточные деформации. На фиг. 4 представлен график зависимости (3.1) для линейно упрочняющегося материала. В пределах упругости (х. x_a) этот график является прямой линией с угловым коэффициентом ω . Моменту появления пластических деформаций соотнетствуют значения m_a и x_a , которые служат аналогами пределов упругости σ_a и σ_a . С развитием областей пластических деформаций график $m_a \sim x_a$ отклоняется от прямой линии, непрерывно на-

клоняясь в сторону оси λ . График имеет асимптоту с угловым коэффициентом $(1-\lambda)D$. При идеально-пластическом материале $\lambda=1$ и асимптота становится параллельной оси. Предельное эначение интенсивности можентов $m_{\rm up}$, которое характеризует несущую способность сечения, оказывается в полтора раза больше предела упругости m

Поступая так, как в пункте 1, для нахождения нижней оценки приведенной жесткости упруго-пластически деформированной пластинки D^* получим следующее уравнение:



$$D^{*} = D \left\{ 1 - \left[1 - \frac{9\epsilon_{*}}{4\hbar\alpha_{*}(D^{*})} + \frac{27\epsilon^{3}}{16\hbar^{3}(\kappa_{*}^{*}(D^{*}))^{3}} \right] \right\}$$
(3.4)

где х (D*) — наибольшее значение интенж синности кривизи упругой пластинки при данных нагрузках и граничных условиях, определенное как функция от неизвестной

жесткости D^* . Максимальные значения прогиба и напряжений упругой пластинки с однородной жесткостью D^* будут служить в качестве верхних оценок этих величин. Они не зависят от неоднородности напряженно-деформированного состояния по толщине и могут быть полезными в случае поперечного изгиба пластин.

Так как в теории поперечного изгиба однородных упругих пластин как изгибающие моменты, так и их интенсивность и не зависят от жесткости пластинки, то инжнюю оценку минимальной жесткости D можно определить и следующим образом. Из упругого решения задачи определяется максимальное значение интенсивности моментов m^{max} , откладывается это значение вдоль оси m, и проводится линия, параллельная оси до пересечения с действительной днаграммой $m_t \sim \varkappa_t$ упруго-пластической пластинки в точке A (фиг. 4). Угловой коэффициент линии OA будет равияться искомому значению нижней оценки минимальной жесткости D^* .

Тот факт, что для однородных упругих иластин интенсивность изгибающих моментов прямо пропорциональна параметру нагрузки q, поканывает, что несущая способность произвольной идеально пластической пластинки ограничена спизу единым неравенством

$$q_{\rm np} = \frac{3}{2} q_{\rm a} \tag{3.5}$$

гле q_a то значение параметра нагрузки, при котором в какой-то точке (или точках) пластинки впервые достигается предел упругости материала. Например, в случае круглой защемленной по контуру пластинки, нагруженной равномерно распределенной нагрузкои, $q_{\rm пр} = 1.828 \, q_a$ [3] и нижняя оценка несущей способности (3.5) отличается от точной не более 18%.

Рассмотрим задачу определения верхней оценки для максимального прогиба шарнирно опертой по контуру круглой пластинки, изгибаемой под действием равномерно распределенион нагрузки. В случае значения параметра $\lambda=0.95$ и несжимаемости материала уравнение (3.4) принимает вид

$$\frac{D}{D} = \begin{vmatrix} 1, \overline{q} = \frac{qha^2}{2z_sD} \leqslant \overline{q}, = 3.429 \\ 0.05 + 4.886 \frac{1}{\overline{q}} - 19.144 \frac{1}{q^3} = \overline{q} = \overline{q}. \end{vmatrix}$$
(3.6)

В нижеприведенной таблице представлены результаты некоторых расчетов, выполненных с помощью (3.6). В последней строке припедены отношения верхних оценок и максимальных прогибов упруго-пластической пластинки к максимальным прогибам упругой пластинки и И точного решения задачи упруго-пластического изгиба, когда в центре пластинки пластическая зона деформаций достигает половины толщины, имеем ([1], стр. 222)

D^{\bullet}/D 1 0.972 0.874 0.776 0.692 0.623 $w^{\circ q}$ D 1 1.029 1.144 1.289 1.445 1.604
$\frac{w^{\text{eq}}}{w^{\text{e}}} = \frac{D}{D^*}$ 1 1.029 1.144 1.289 1.445 1.604

В данном случае верхняя оценка максимального прогиба $\frac{w^{eq}}{w'} = 1.144$ отличается от точного значения (3.7) менее 1.6%.

Институт механики АН Армянской ССР

Поступила 7 1 1980

Таблица 1

the or specialization

ԱԺԱՉԳԱ–ՊԼԱՍՏԻԿԱԿԱՆ ԿՈՇՍՏՐՈՒԿՑԻԱՆԵՐԻ ՃԿՎԱԾՔՆԵՐԻ Եվ ԼԱՔՈՒՄՆԵՐԻ ՎԵՐԻՆ ԳՆԱՀԱՏԱԿԱՆԵՐԻ ՄԱՍԻՆ

Առաջարկվում է առաձգա-պլաստիկական կոնստրուկցիանների մաբսիմալ ձկվածջների և լարումների վերին գնա:ատականների որոշման եղանակ, որը ձենված է համապատասխան եղրային խնդիրների առաձղական լուծումների օդտադործման վրա։ Եղանակը ցուցադրվում է հկուն սալերի <mark>օրինակի վրա՝</mark> Նյունի դծային ամրապնդման դեպբում։

Անցնելով ընդհանրացված մեծությունների, որը թույլ է տալիս ազատվելու ըստ Հաստության լարվածա-դեֆորմացիոն վիճակի անհամասհոռւթյան աղդեցությունից, ստացվում են տվելի ճշղրիտ վերին դնահատականներ լայնական ծոման դեպքում։ Այդ դնահատականների հիման վրա կամայական իդհալական առաձղական սալերի համար ստացվում է կրող ունակության միտանական ստորին դնահատական։

Բեթվում են ձշգրիտ լուծումների հետ համեմատության օրինակներ։

ON THE UPPER VALUES OF FLEXURE AND STRESS IN ELASTIC-PLASTIC STRUCTURES

R. M. KIRAKOSIAN

Summary

A method to define the upper values of maximum flexure and stress in elastic-plastic structures, based on elastic solutions for corresponding boundary problems, is proposed. A flexible plate with linear hardening of the material is used to Illustrate the method. A transition to generalized values, permitting to eliminate the heterogeneity of a stress-strain state across the thikness, provides more accurate upper values under cross-bending. On the basis of these values a common lower value for the carrying capacity of arbitrary perfectly-plastic plates is obtained.

Some examples of comparison with accurate solutions are presented.

AKTEPATYPA

- 1. Ильющиц А. А. Пластичность, М.—Л., Гостехиздат, 1948.
- 2. Тимошенко С. П., Войновский-Критер С. Пластянки и оболочки М., Физматгиз, 1963.
- 3. Ходж Ф. Пластический аналив конструкции, 1965.

в. в. дорогинин

О ПЛОСКОЙ ДЕФОРМАЦИИ БЕСКОНЕЧНОЙ ЦИЛИНДРИЧЕСКИ ОРТОТРОГІНОЙ ТРУБЫ

1. Рассмотрим равновесие упругой однородной цилиндрически ортотропной трубы, нагруженной заданными поверхностными усилиями. Пусть ось анизотропни совнадает с геометрической осью цилиндра. Для упрощения выкладок предположим, что массовые силы отсутствуют, а поверхностная нагрузка симметрична относительно некоторой плосмости, проходящей через ось трубы и, следовательно, представима неполными рядами Фурье по углу 0

$$\sigma_{rb}=\sum_{k=2,4}^{\infty}$$
 $\sigma_{rb}^{(b)}\sin kb$, $\sigma_{r}=\sum_{k=0,1}^{\infty}$ $\sigma_{rb}^{(b)}\cos kb$ при $r=b$ $\sigma_{rb}=\sum_{k=2,4}^{\infty}$ $\sin kb$, $\sigma_{r}=\sum_{k=0,2,4,\dots}^{\infty}$ $\sigma_{rb}^{(a)}\cos kb$ при $r=a$

Через a, b обозначены соответственно внутренний и внешний радиусы трубы.

Система уравнений липейной теории упругости в случае плоской деформации приводится к одному уравнению для функции напряжений $F\left[1\right]$

$$\frac{1}{r^{2}}F_{rrr}^{(1V)} + \frac{2\beta_{12} + \cdots}{r^{2}}F_{rrhh}^{(1V)} + \frac{\beta_{11}}{r^{3}}F_{she5}^{(1V)} + \frac{2\beta_{11}}{r}F_{rrr}^{(1V)} - \frac{\beta_{11}}{r^{3}}F_{she5}^{(1V)} + \frac{2\beta_{11}}{r}F_{rrr}^{(1V)} - \frac{\beta_{11}}{r^{3}}F_{rr}^{(1V)} = 0 \quad (1.1)$$

гас F — приведенные упругие постоянные. Напряжения выражаются через функцию F по формулам

$$\sigma_r = \frac{1}{r} F_{,r} + \frac{1}{r} F_{,\theta}; \qquad z_i = F_{,\sigma}; \qquad z_i = -\left(\frac{F_{,\sigma}}{r}\right)$$
 (1.2)

Деформации связаны с напряженнями обобщенным законом Гука

$$\mathbf{s}_{r} = \beta_{11}\mathbf{s}_{r} + \mathbf{s}_{12}\mathbf{s}_{6}, \quad \mathbf{s}_{6} = \beta_{12}\mathbf{s}_{1} - \beta_{22}\mathbf{s}_{6}, \quad \mathbf{t}_{r} = \beta_{66}\mathbf{s}_{r6}$$

Ищем решение уравнения (1.1) в виде

$$F = \sum_{k=0, 2, 4, \dots} f_k(r) \cos k^{t_j}$$

Получаем для / (/) уравнение Эйлера 4-го порядка. Его решение

$$f_{k}(r) = \sum_{i=1}^{k} c_{ki} r^{-ki}$$

где — кории характеристического уравнения. Предполагаем для определенности, что кратных или комплексных корпей нет.

$$\begin{aligned} a_{k1,2} &= 1 - 1 \ y_{k1} & a_{k3,4} &= 1 - 1 \ y_{k2} \\ y_{k1,2} &= \frac{1 + m^2 - 1}{2} \pm \frac{1}{2} \left[\frac{(1 + m^2 + k^2)^2 - 4m^2 (1 + k^2 (k^2 - 2))}{2} \right] \\ m^2 &= \frac{1^2 11}{9_{22}}, & \gamma &= \frac{1^2 11}{122} \end{aligned}$$

Формулы (1.2) для напряжений примут вид

$$z_{i} = \sum_{k=0, 7, 4, \dots}^{\infty} \sum_{i=1}^{4} c_{ki} (z_{ki} - k^{2}) r^{\frac{2}{ki} - 2} \cos k\theta$$

$$z_{i} = \sum_{k=0, 7, 4, \dots}^{\infty} \sum_{i=1}^{4} c_{ki} (z_{ki} - 1) r^{\frac{2}{ki} - 2} \cos k\theta$$

$$z_{i,0} = \sum_{k=7, 4, \dots}^{\infty} \sum_{i=1}^{4} c_{ki} (z_{ki} - 1) kr^{\frac{2}{ki} - 2} \sin k\theta$$

$$(1.3)$$

Произвольные постоянные c_{kl} определяем из граничных условий. Для каждого k=2,4,6,... имеем систему 4-х алгебраических линейных уравнений

$$\sum_{i=1}^{4} c_{k_i} d_{ii}^{(k)} = s_{k_i}, \quad j = 1, 2, 3, 4$$
 (1.4)

где

$$d_{i2}^{(k)} = b^{a_{ik}-2} \qquad a^{(k)} = a^{a_{ik}-2} \qquad a^{(k)} = b^{a_{ik}-2} \qquad a^{(k)} = b^{a_{ik}-2} \qquad a^{(k)} = b^{(k)} \qquad a^{(k)} = a^{(k)} \qquad$$

При k=0 используем известное решение задачи о плоской деформации трубы равномерными внутренним и внешним давлениями [1]

$$z_{i}^{(0)} = \frac{1}{(1-\hat{a}^{2m})} \left[(p\hat{a}^{m+1}-q)\hat{a}^{m+1} + (q\hat{a}^{m-1}-p)\hat{a}^{m+1}\hat{a}^{-m+1} \right] \\
z_{i}^{(0)} = \frac{1}{(1-\hat{a}^{2m})} \left[(p\hat{a}^{m+1}-q)\hat{a}^{m+1} - (q\hat{a}^{m+1}-p)\hat{a}^{m+1}\hat{a}^{-m+1} \right] \\
z_{i}^{(0)} = 0, \quad p = -z_{i0}, \quad q = -z_{i0}^{(b)}, \quad \hat{b} = \frac{a}{b}, \quad p = \frac{b}{b}$$

2. В качестве примера рассмотрим задачу о деформировании кольца нагрузкой

$$s_r = Q \cos 2\theta,$$
 = 0 npu $r = b$
 $s_r = -0$ npu $r = a$

Предположим, что между приведенными упругнми постоянными существует зависимость $2\beta_{12}$ - $\beta_{22}=2\beta_{11}$. Тогда

$$a_1 = 2$$
, $a_2 = 0$, $a_{3,1} = 1 = 3m$, $m = 1$

Решив систему 4-х уравнений (1.4) при k=2, находим $c_{2\ell}=c_{\ell^{\prime}}$

$$c_{1} = \frac{1}{1 - 3m} (1 - 3m) + \delta^{-3m} (1 - 3m) - 2\delta I$$

$$c_{2} = -\frac{Qm ab}{3b} \left[2 - (1 + 3m) \delta^{1 - 3m} - (1 - 3m) \delta^{1} \right]$$

$$c_{3} = \frac{2Qa^{1 + 3m}}{3b^{6m} \Delta} \left[\delta^{1 - 3m} (1 - 3m) - 3m \right]$$

$$c_{4} = -\frac{1}{1 - 3m} \left[6m + \delta^{1} - (1 - 3m) - 2^{m-1} (1 + 3m) \right]$$

TAC

$$\Delta = (1 - 3m)^2 (1 - \delta^1) - (1 + 3m)^2 (1 - \delta)^2$$

Напряжения в кольце определяем по формулам (1.3). Например.

$$z_0 = [2c_1 + 3mc_3(1+3m)r^{3m-1} - 3mc_4(1-3m)r^{-1-1}]\cos 20$$

Заметим, что если $m=\frac{1}{3}$, то корни a, кратиме и $\Delta=0$. Формулы для напряжений в этом случае получаются путем предельного перехода при $m\to\frac{1}{3}$.

Автор пользуется случаем выразить благодарность научному руководителю профессору Б. Е. Победре за постановку задачи и постоянное виимание к его работе.

Московский государственный университет им. М. В. Ломоносова

Поступила 14 XI 1979

ԱՆՎԵՐՋ ԳԼԱՆԱՅԻՆ ՕՐԹՈՏՐՈՊ ԽՈՂՈՎԱԿԻ ՀԱՐԹ ԳԵՋՈՐՄԱՑՍՎՅԻ ՄԵՍԻՆ

Ամվորավում

Ֆուրյեյի շարբերի տեսթով կառուցվել է օրիստրոպ խողովակի Հարի դեֆորմացիայի խնդրի ճշգրիտ լուծումը։ Բերվում է կոնկրետ բեռի Համար Հաշվարկի օրինակ։

ON PLANE STRAIN OF THE INFINITE CYLINDRICALLY ORTHOTROPIC TUBE

V. V. DOROGININ

Summary

The plane strain problem for infinite circular cylindrically orthotropic tube under symmetric loading is solved in the form of Fourier series. The example of computation is given.

ЛИТЕРАТУРА

1. Лехницкий С. Г. Теория упругости пинзотройного чела. М., «Наука», 1977, 416 с.